

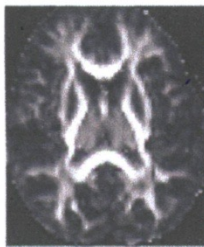
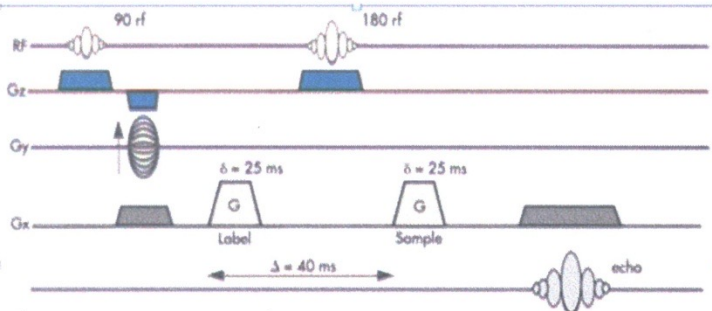
Supercomputer technologies ,dynamic models/molecular basis of intelligence

Sergey Varfolomeyev

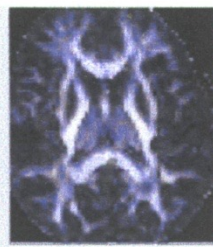
*Institute of Biochemical Physics, Russian Academy of
Sciences
Moscow State University*



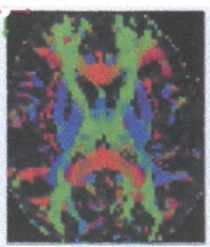




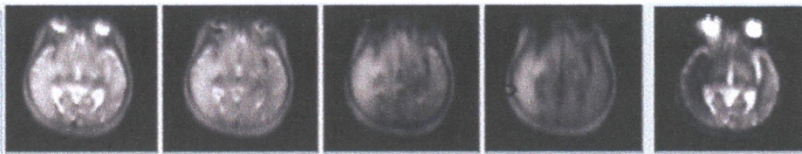
FA map



inplane vector map

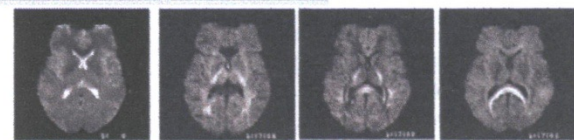


color-coded map



Diffusion weighting

← diffusion coefficient image

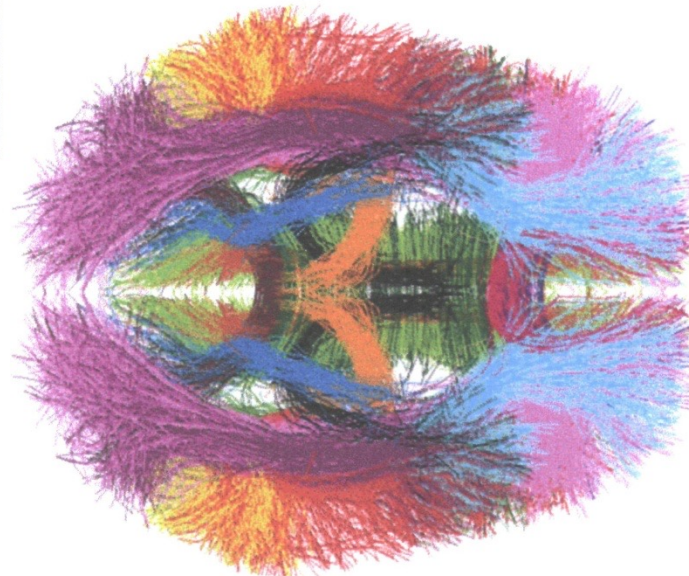


different gradient directions

DW along Read

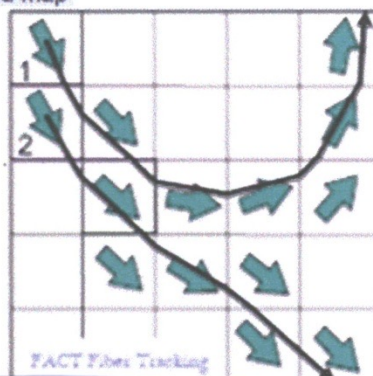
DW along Phase

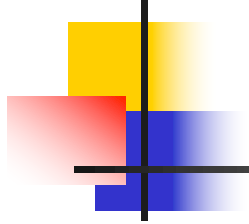
DW in Slice direction



$$FA = \sqrt{\frac{3}{2}} \sqrt{\frac{1}{3} ((\lambda_1 - \lambda_2)^2 + (\lambda_2 - \lambda_3)^2 + (\lambda_3 - \lambda_1)^2)} / \sqrt{\lambda_1^2 + \lambda_2^2 + \lambda_3^2}$$

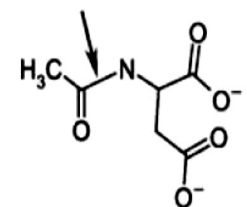
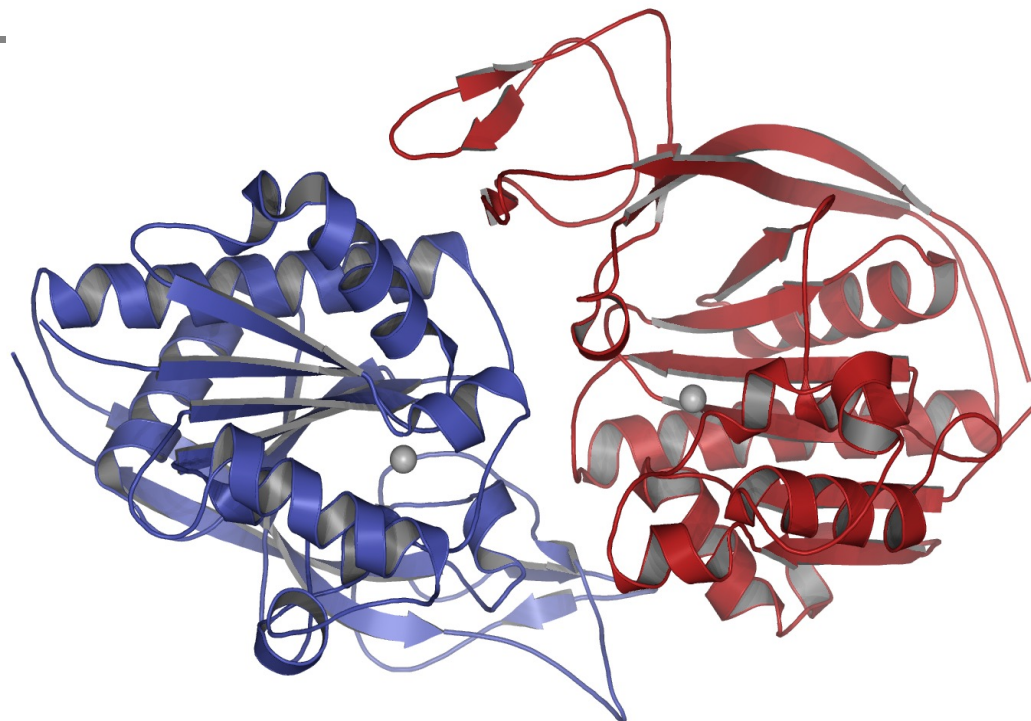
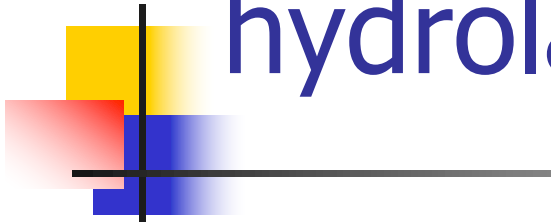
FA: fractional anisotropy



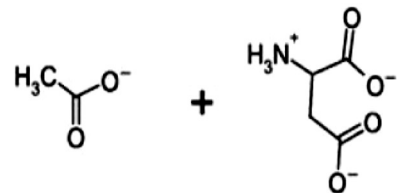


Молекулярные механизмы функционирования ферментов мозга

Brain N-Acetylaspartate hydrolase



ASPA

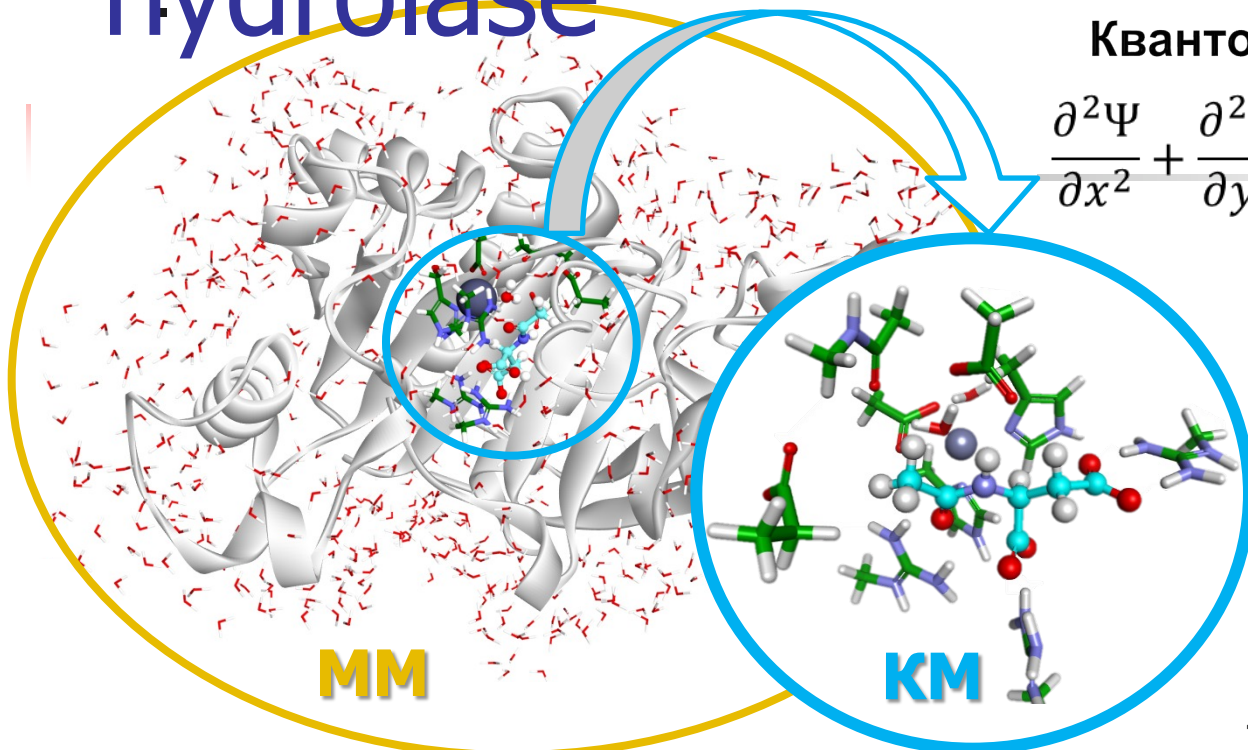


Ацетат

L-Аспартат

Н-ацетил-
аспартат

Brain N-Acetylaspartate hydrolase



Квантово-механическая часть

$$\frac{\partial^2 \Psi}{\partial x^2} + \frac{\partial^2 \Psi}{\partial y^2} + \frac{\partial^2 \Psi}{\partial z^2} + \frac{8\pi^2 m}{h^2} (E - U) \Psi = 0$$

162 atoms , 714 electrons

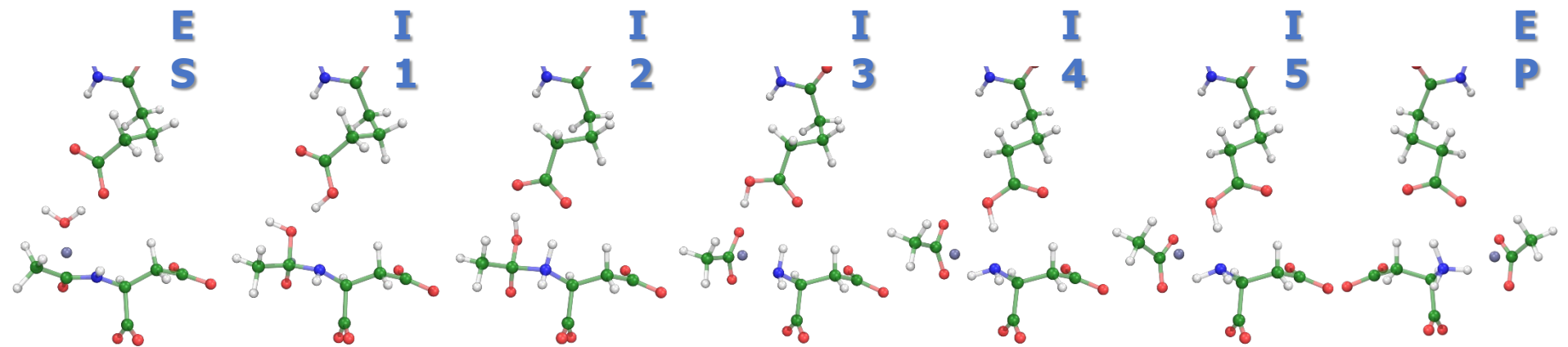
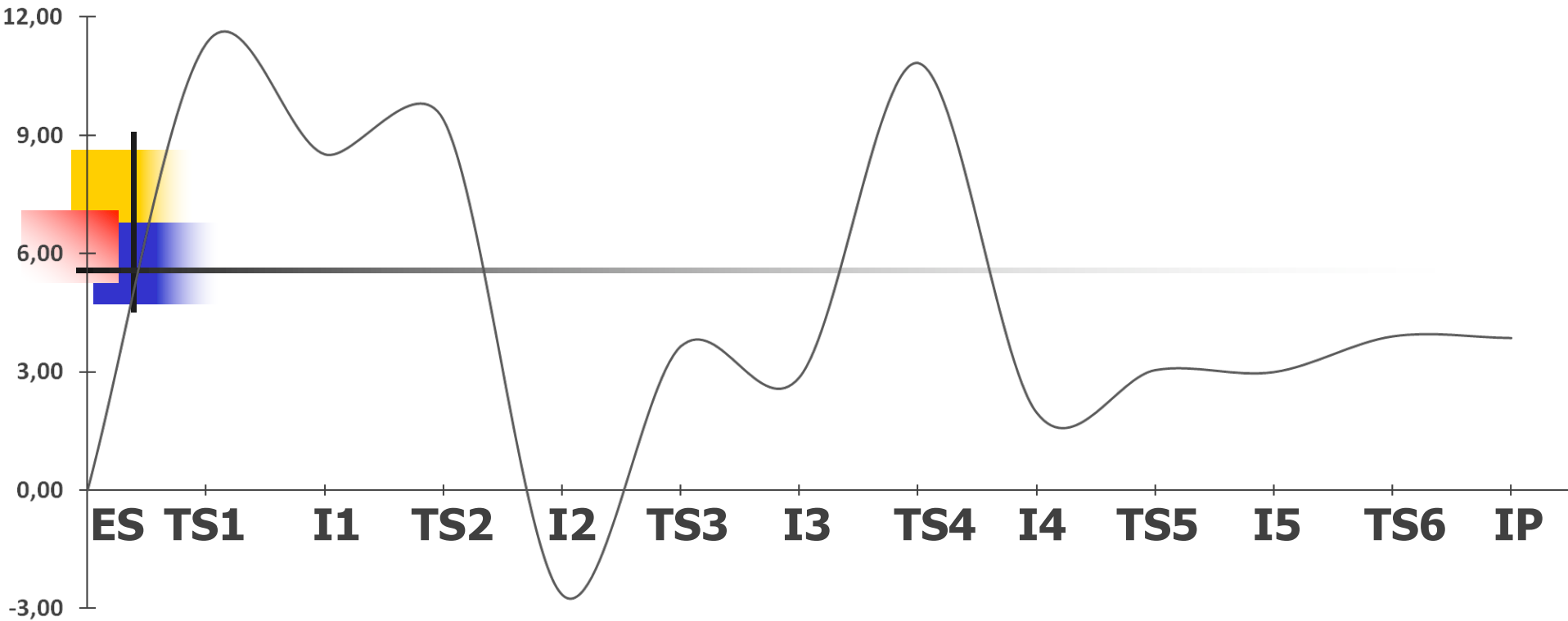
$$\hat{H}_{\text{электр.}} = \sum_i \hat{T}(i) - \sum_{iA} \frac{Z_A}{r_{iA}} + \sum_{i,j} \frac{1}{r_{ij}} + \sum_{A,B} \frac{Z_A Z_B}{R_{AB}}$$

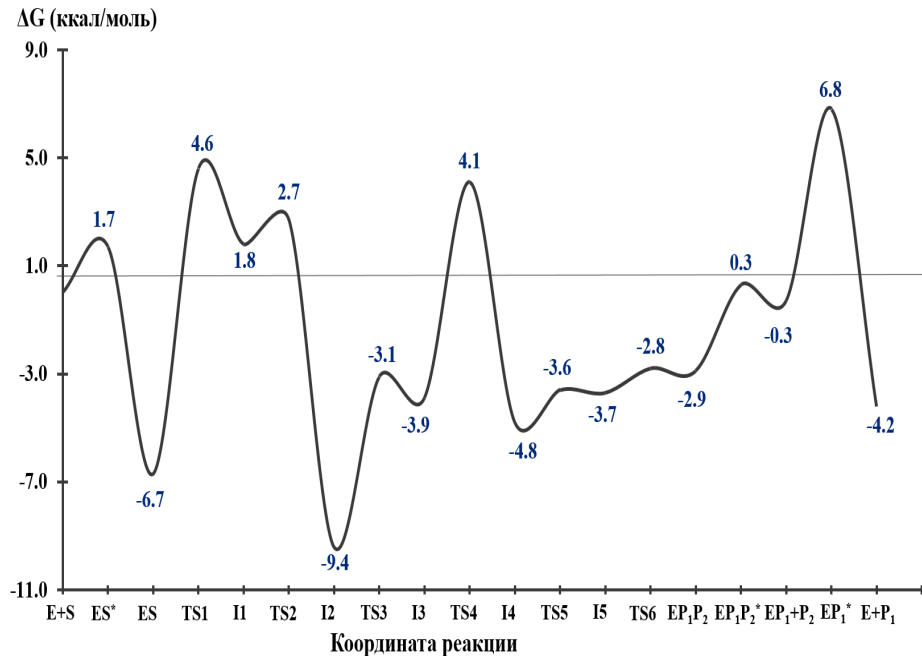
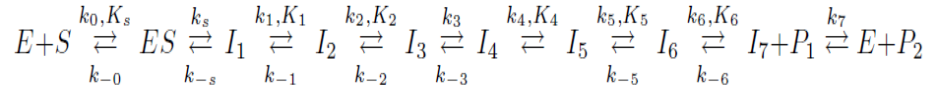
Kinetic energy of nucleus
electrons

Interaction of
electrons and

Negativ
interaction of
nucleas

Negativ
interaction of
electrons





- Structure of ALL labile intermediates and ALL transition states
- Calculation of ALL rate constants of ALL elementary steps

$$k_0 = 3.4 \cdot 10^{11} \text{ M} \cdot \text{c}^{-1}$$

$$k_3 = 8.03 \cdot 10^6 \cdot \text{c}^{-1}$$

$$k_{-0} = 4.07 \cdot 10^6 \cdot \text{c}^{-1}$$

$$k_{-3} = 1.74 \cdot 10^{-6} \cdot \text{c}^{-1}$$

$$k_s = 3.02 \cdot 10^4 \cdot \text{c}^{-1}$$

$$k_4 = 8.12 \cdot 10^{11} \cdot \text{c}^{-1}$$

$$k_{-s} = 5.4 \cdot 10^{10} \cdot \text{c}^{-1}$$

$$k_{-4} = 5.24 \cdot 10^{12} \cdot \text{c}^{-1}$$

$$k_1 = 1.35 \cdot 10^{12} \cdot \text{c}^{-1}$$

$$k_5 = 1.35 \cdot 10^{12}$$

$$k_{-1} = 7.7 \cdot 10^3 \cdot \text{c}^{-1}$$

$$k_{-5} = 5.24 \cdot 10^{12}$$

$$k_2 = 1.43 \cdot 10^8 \cdot \text{c}^{-1}$$

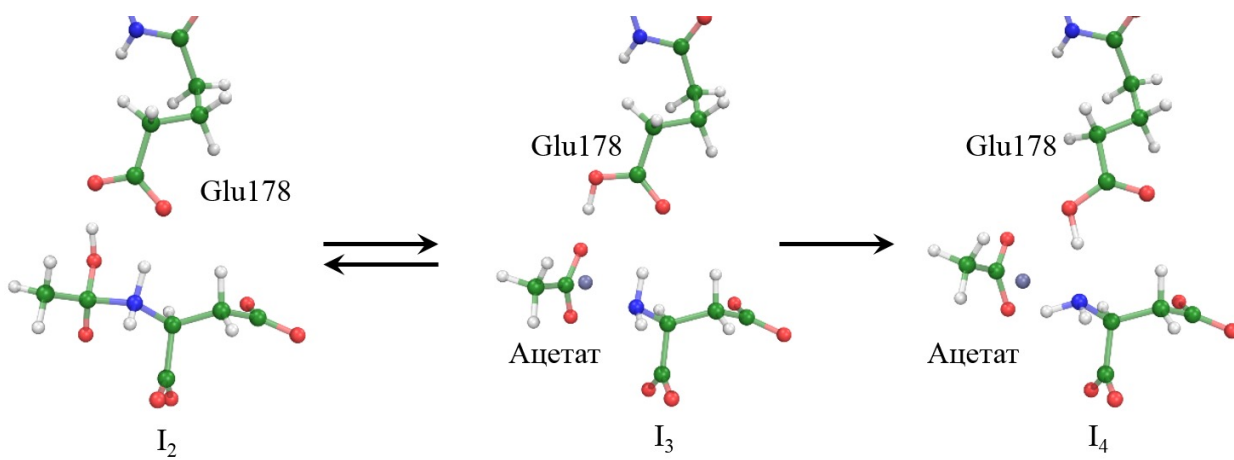
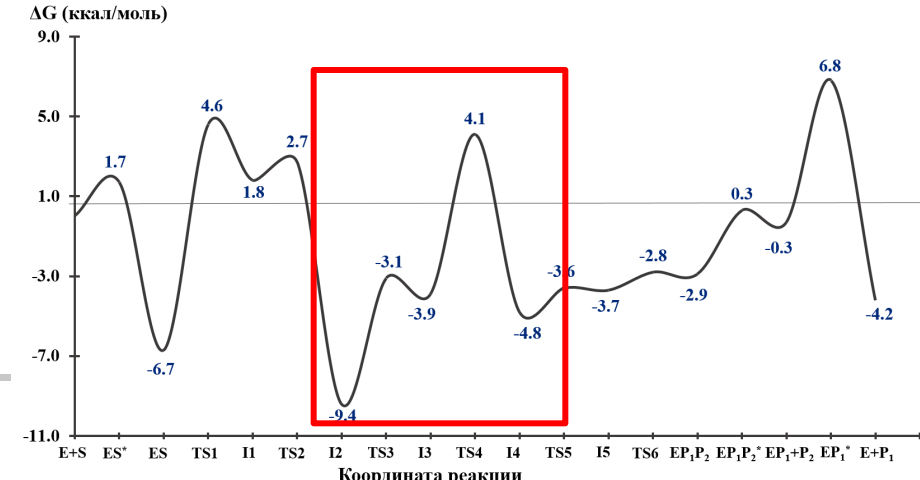
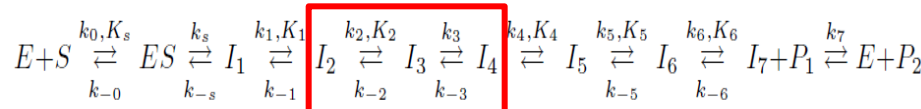
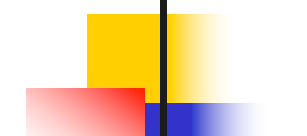
$$k_6 = 2.7 \cdot 10^{10} \cdot \text{c}^{-1}$$

$$k_{-2} = 1.6 \cdot 10^{12} \cdot \text{c}^{-1}$$

$$k_{-6} = 2.24 \cdot 10^{12} \cdot \text{c}^{-1}$$

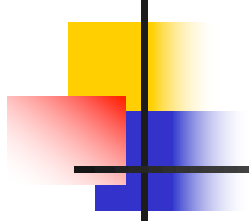
$$k_7 = 3.69 \cdot 10^7 \cdot \text{c}^{-1}$$

Limiting step

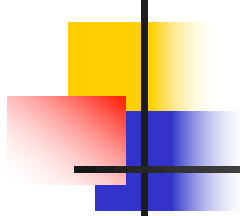


$$\frac{1}{k_{\text{кат}}} = \frac{1}{k_s} + \frac{1}{k_s K_1 K_2} + \frac{1}{k_3} + \frac{1}{k_3 K_2} + \frac{1}{k_7 K_4 K_5 K_6} + \frac{1}{k_7 K_5 K_6} + \frac{1}{k_7 K_6} + \frac{1}{k_7}$$

$$k_{\text{кат}} \cong k_3 K_2 \cong 715 \text{ c}^{-1}$$

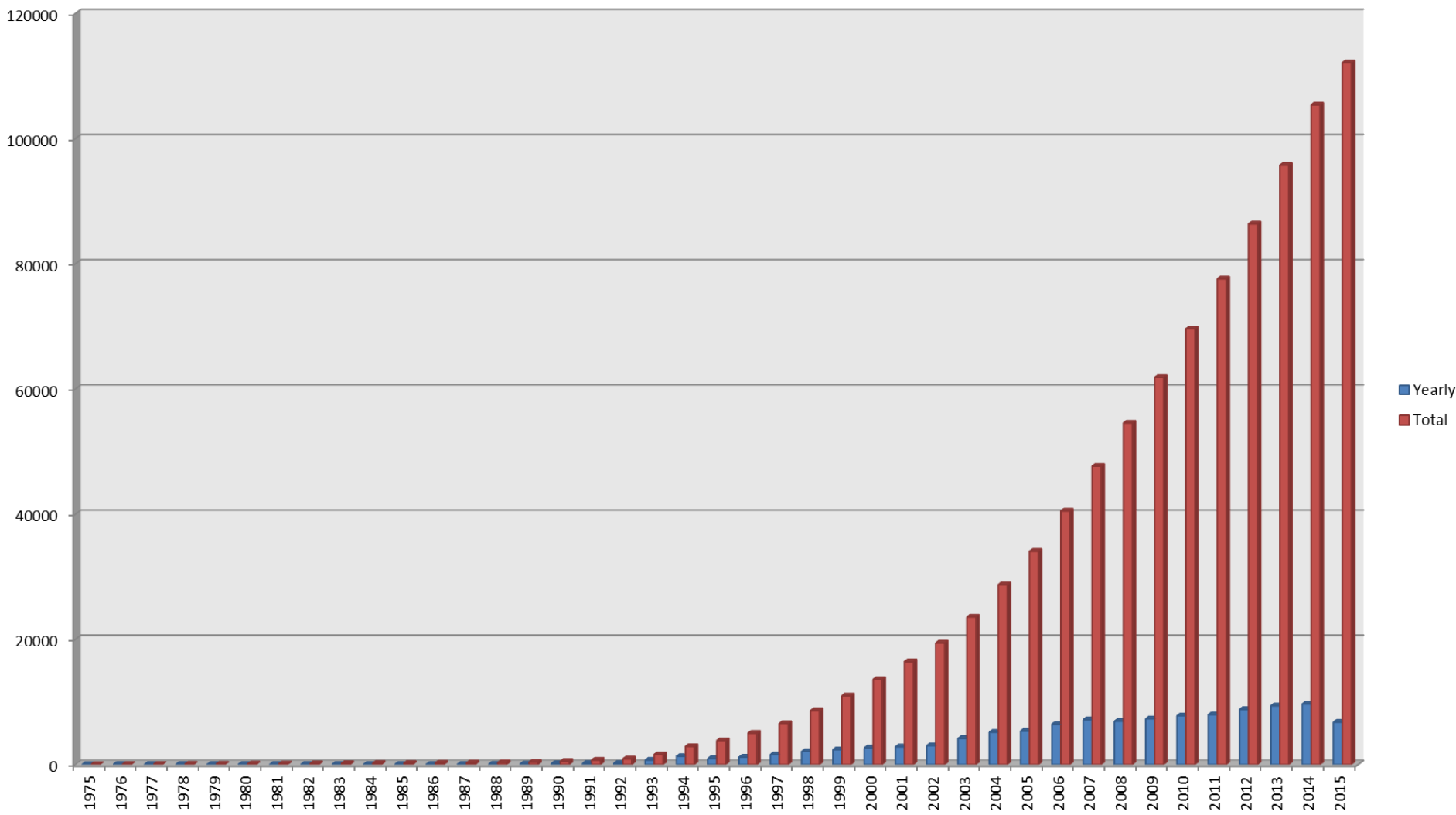


Applications

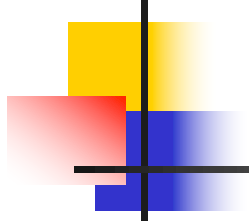


The most of the well-known
modern drugs passed through
computer design

PDB

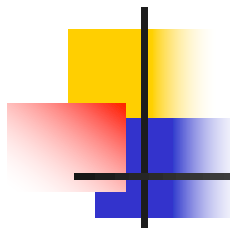


<http://www.rcsb.org/pdb/statistics/>
Last update: *Tuesday Sep 15, 2015 at 5 PM PDT*

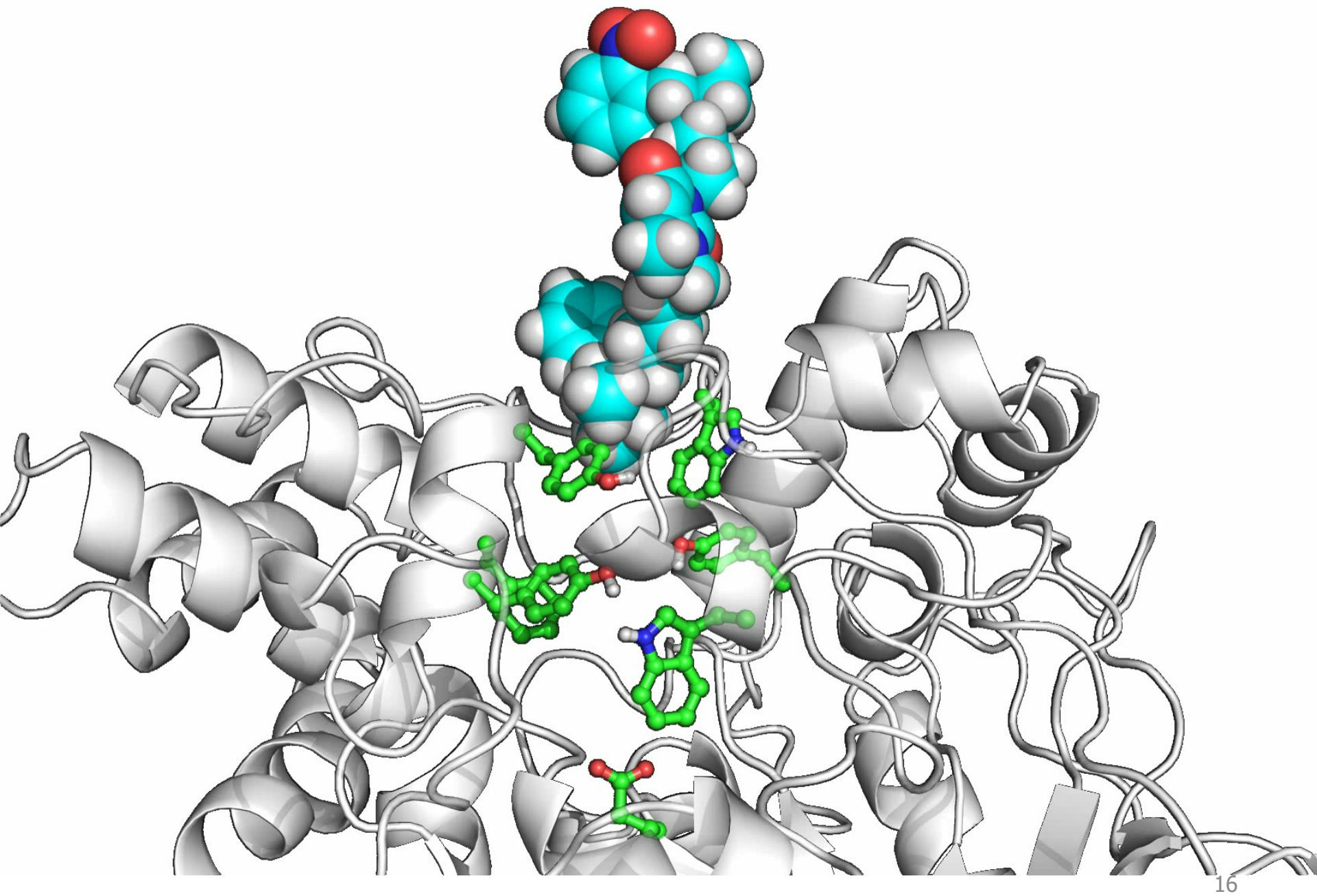


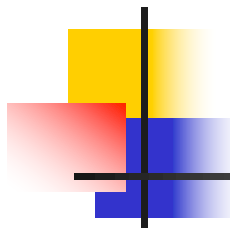
Molecular docking with molecular dynamics

Reactivity on the basis of quantum chemical approach

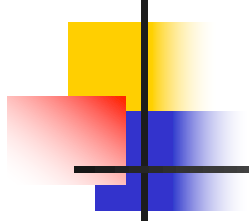


Interaction of ligand (substrate-inhibitor- drug) with protein is very complex dynamic process with conformational changes of ligand and protein





Molecular polymorphism-genetic predisposition to different diseases and individual sensitivity to drugs



Identification of essential and not essential changes in protein structure

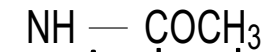
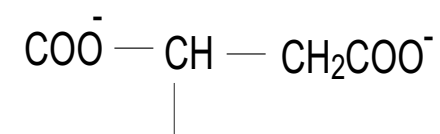
N-acetyl aspartic acid-key metabolyte of central neural system

Canavan disease

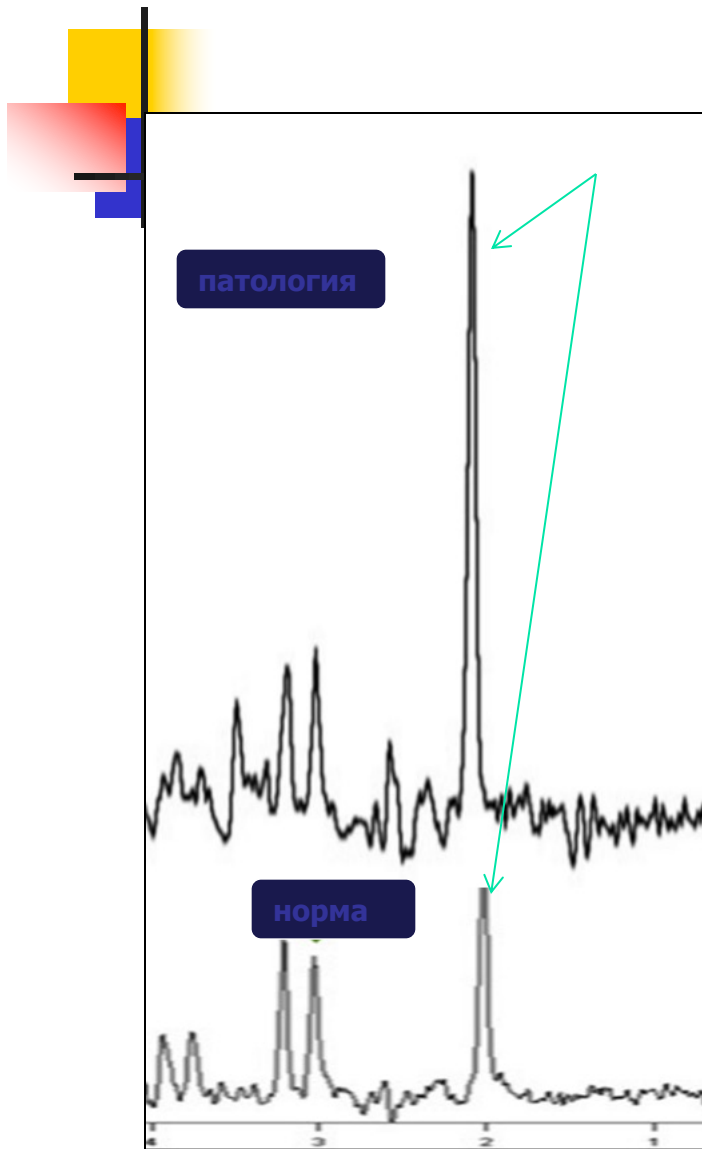
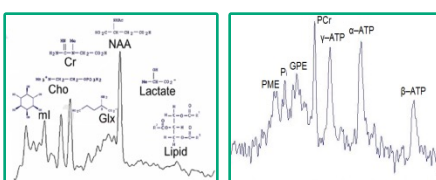
- Mental destruction -
macrocephaly.
- 1 per 40 men (2.5%) for
population ashkenazy
- Blocking of synthesis of
mielyne covers of brain cells



Myrtelle May Canavan



Fundamental ground - single changes
of amino acids in the structure of
enzyme N-acetyl aspartate hydrolase



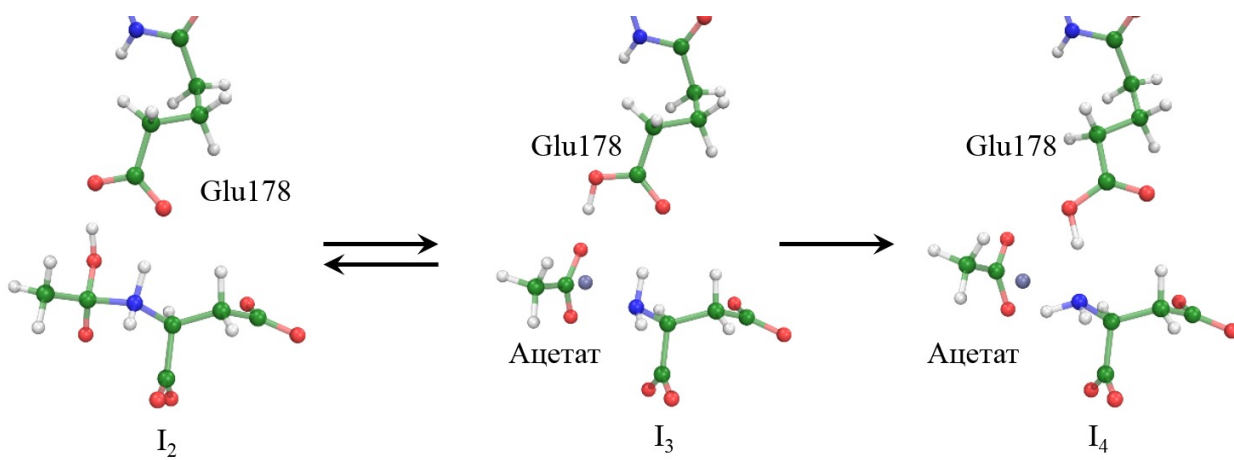
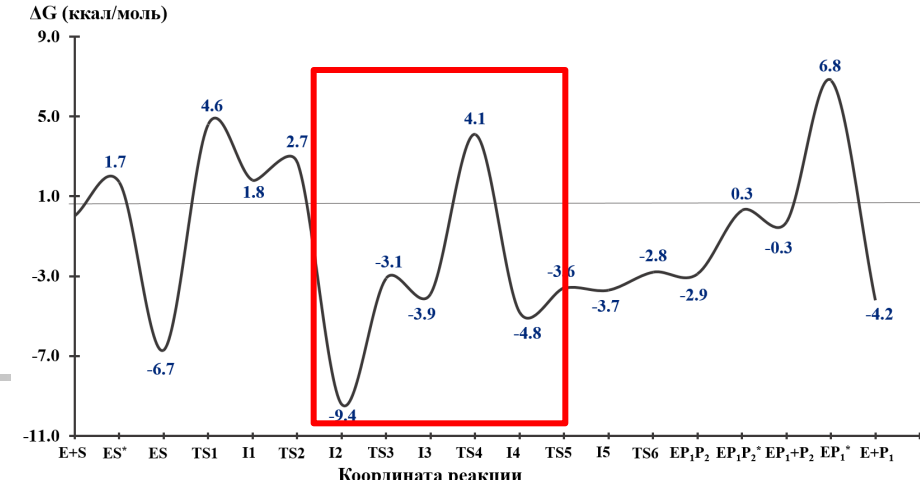
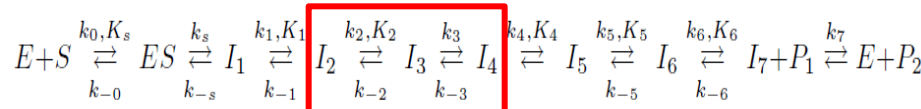
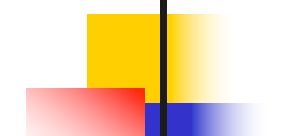
Canavan disease – level of N-acetyl aspartate in 5 TIMES higher normal



Supercomputer calculations

Prediction of influence of point amino acid polymorphic change on structure and catalytic activity

Limiting step

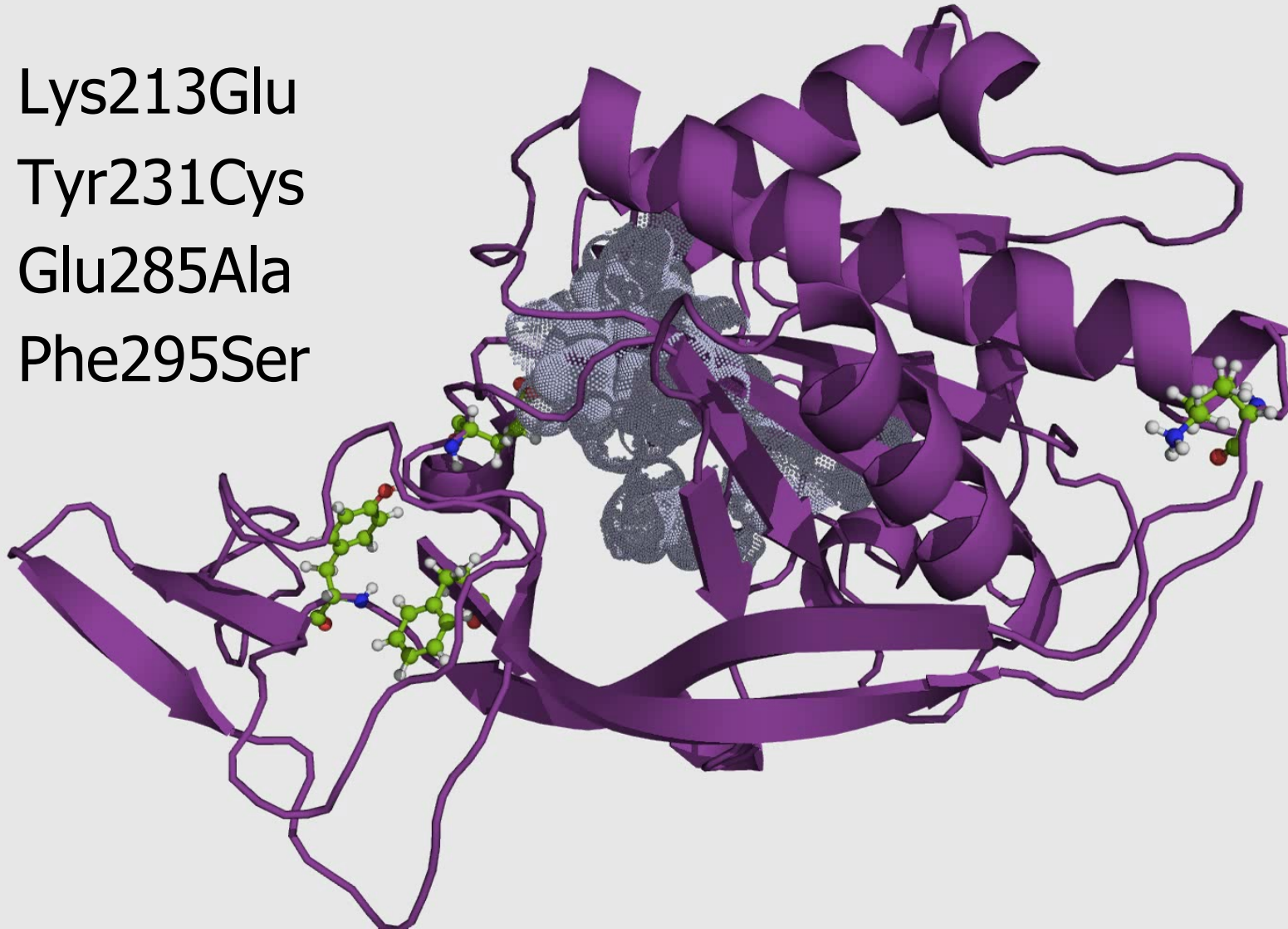


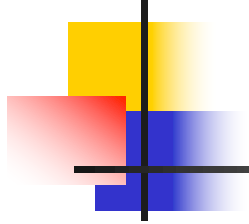
$$\frac{1}{k_{\text{кат}}} = \frac{1}{k_s} + \frac{1}{k_s K_1 K_2} + \frac{1}{k_3} + \frac{1}{k_3 K_2} + \frac{1}{k_7 K_4 K_5 K_6} + \frac{1}{k_7 K_5 K_6} + \frac{1}{k_7 K_6} + \frac{1}{k_7}$$

$$k_{\text{кат}} \cong k_3 K_2 \cong 715 \text{ c}^{-1}$$

Critical single amino acid changes in aspartoacylase at Canavan disease

- Lys213Glu
- Tyr231Cys
- Glu285Ala
- Phe295Ser



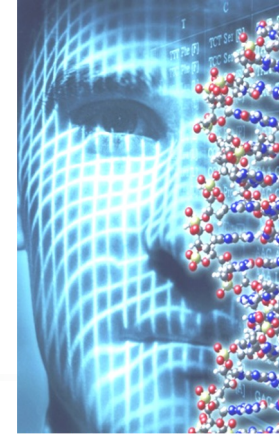


Critical mutations in protein structure decrease (in 10-1000 times) the catalytical activity of enzyme

Molecular polymorphism of human enzymes-individual sensitivity to drugs and toxins



Butyrylcholine esterase





Acylation step

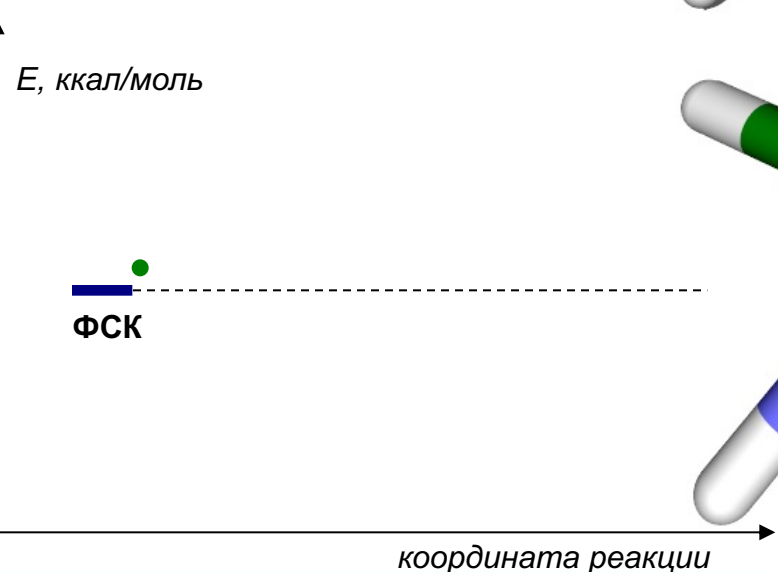
Координата реакции

E , ккал/моль

ФСК

координата реакции

Координата реакции



координата реакции

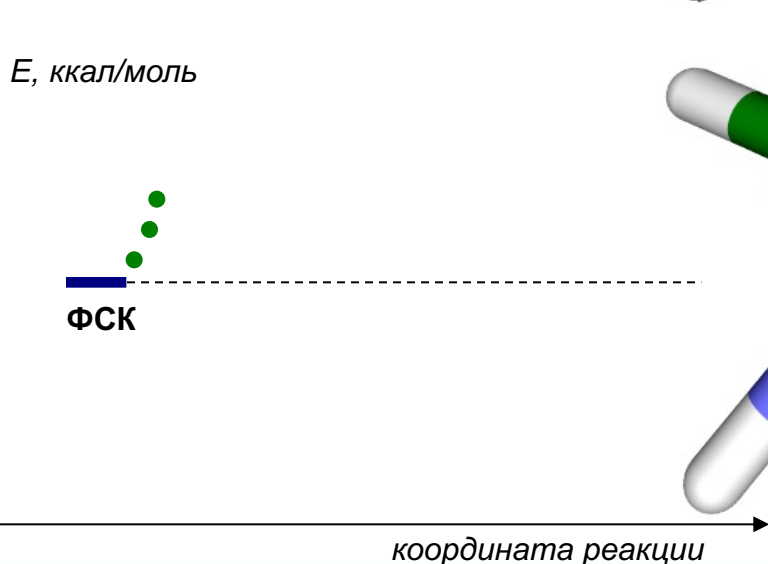
Координата реакции

E , ккал/моль

ФСК

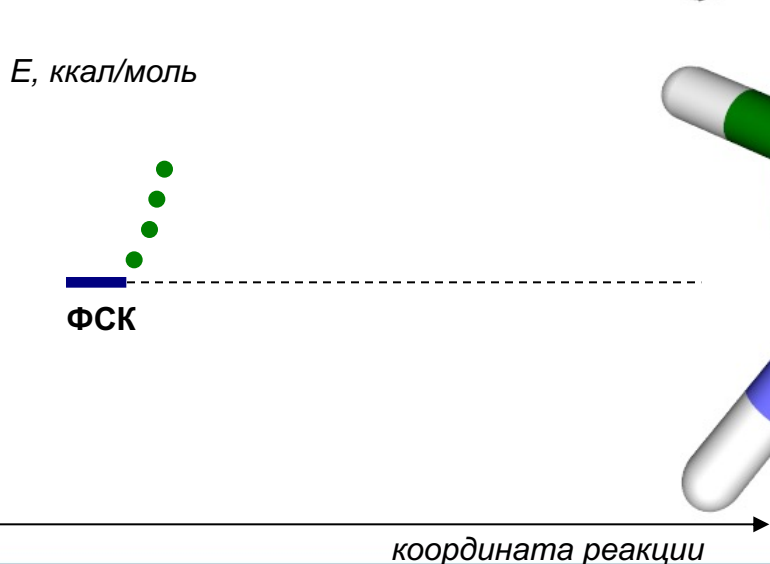
координата реакции

Координата реакции



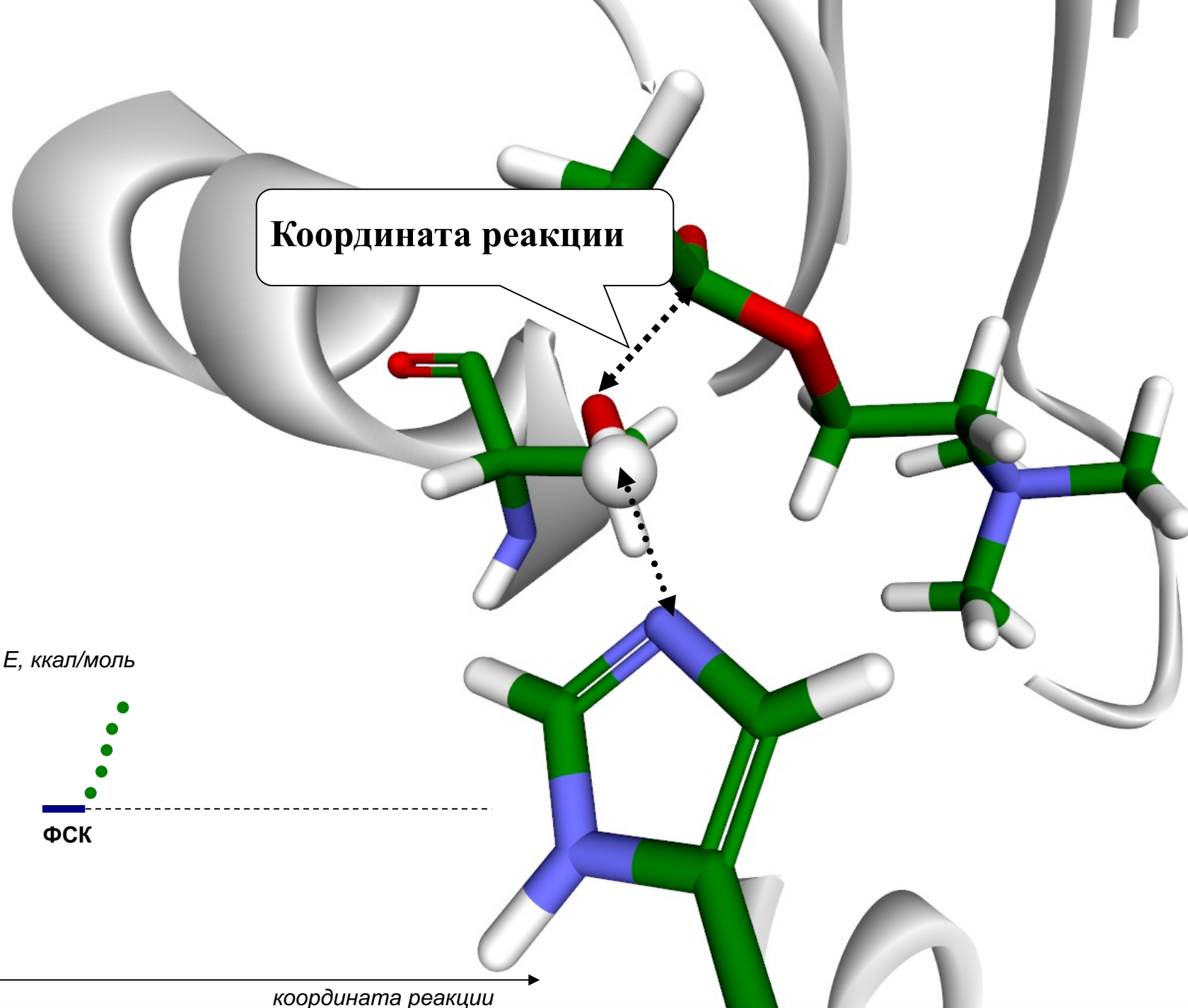
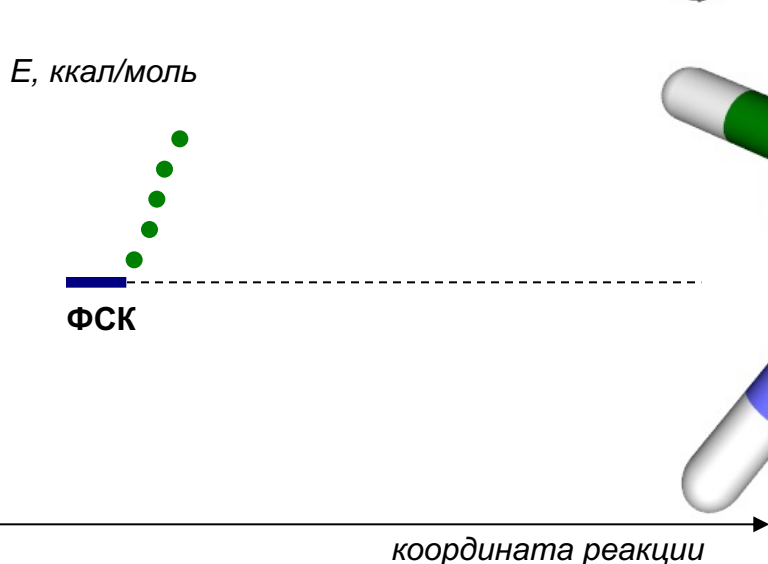
координата реакции

Координата реакции

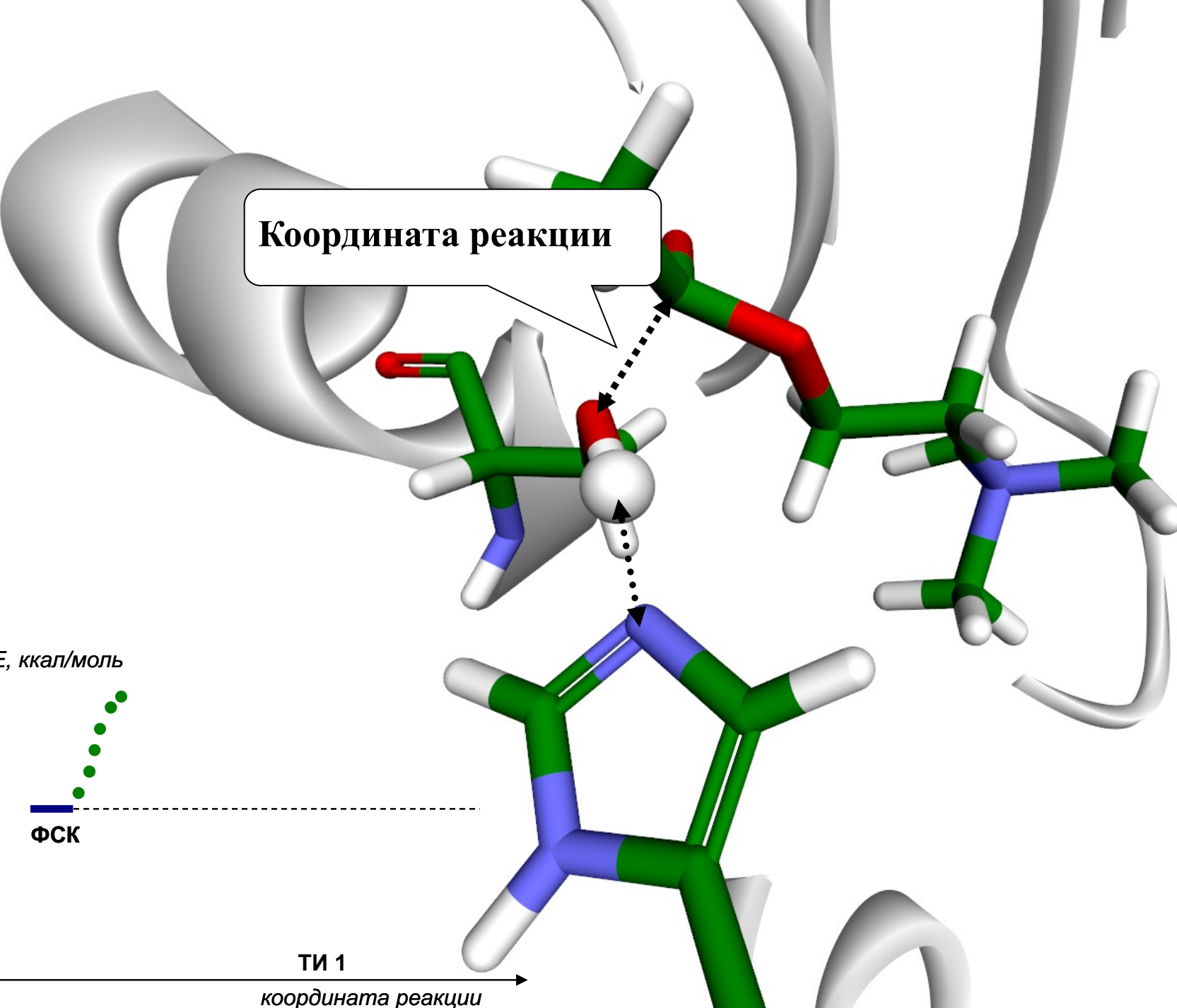
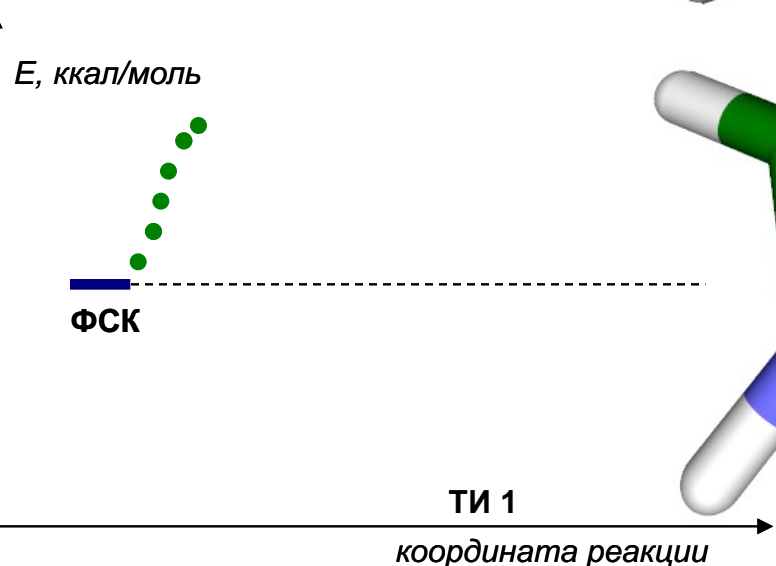


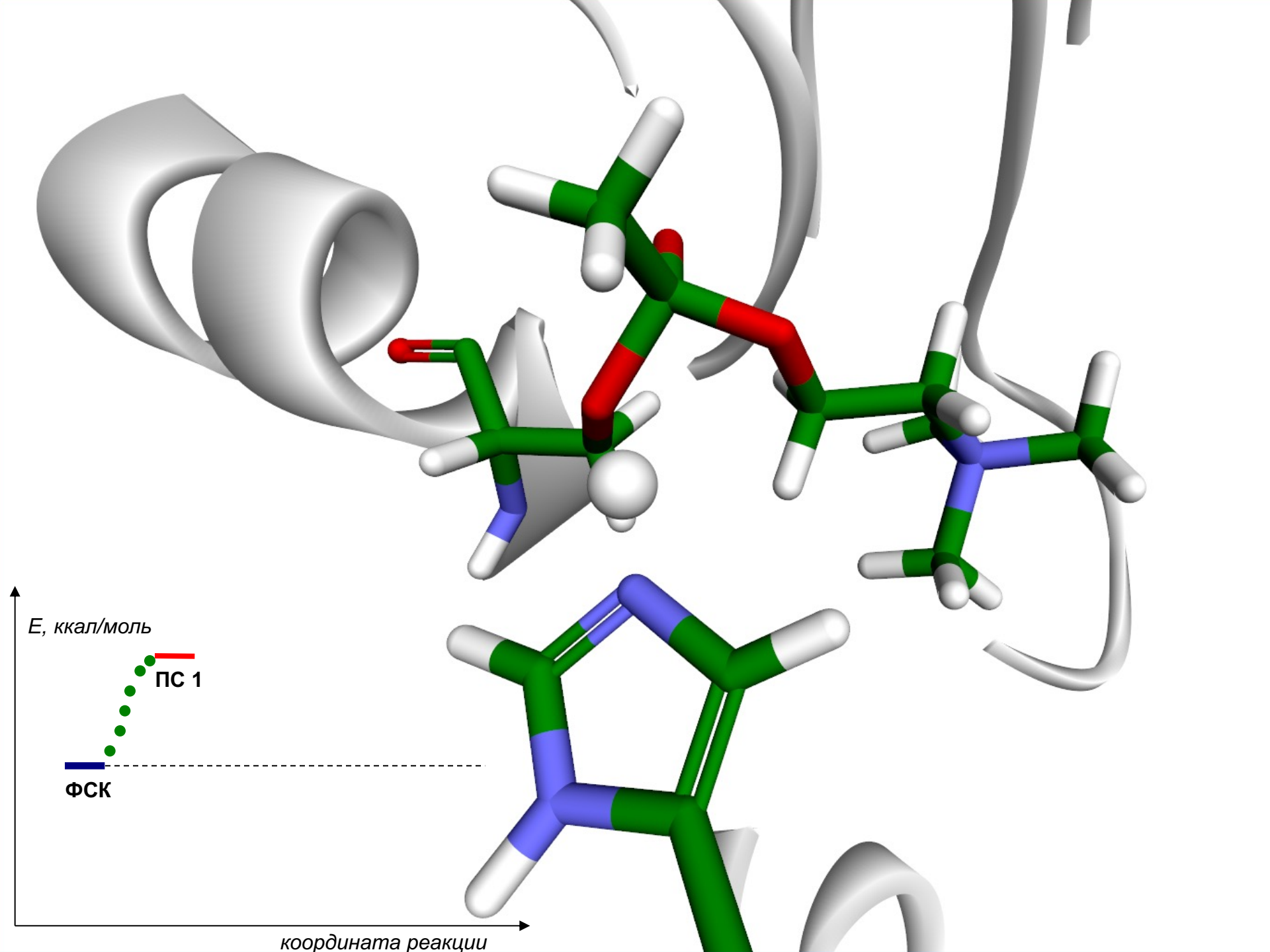
координата реакции

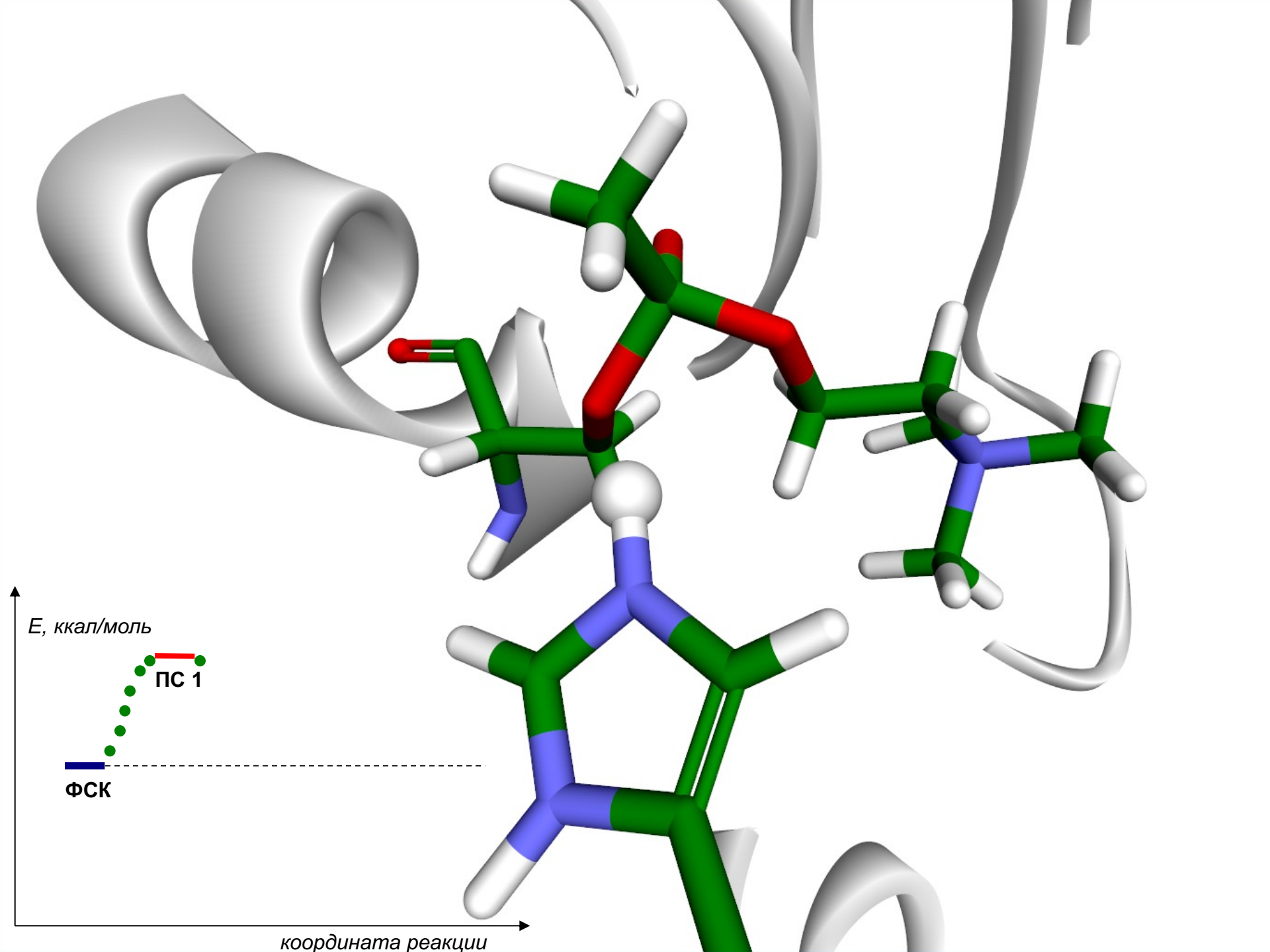
Координата реакции

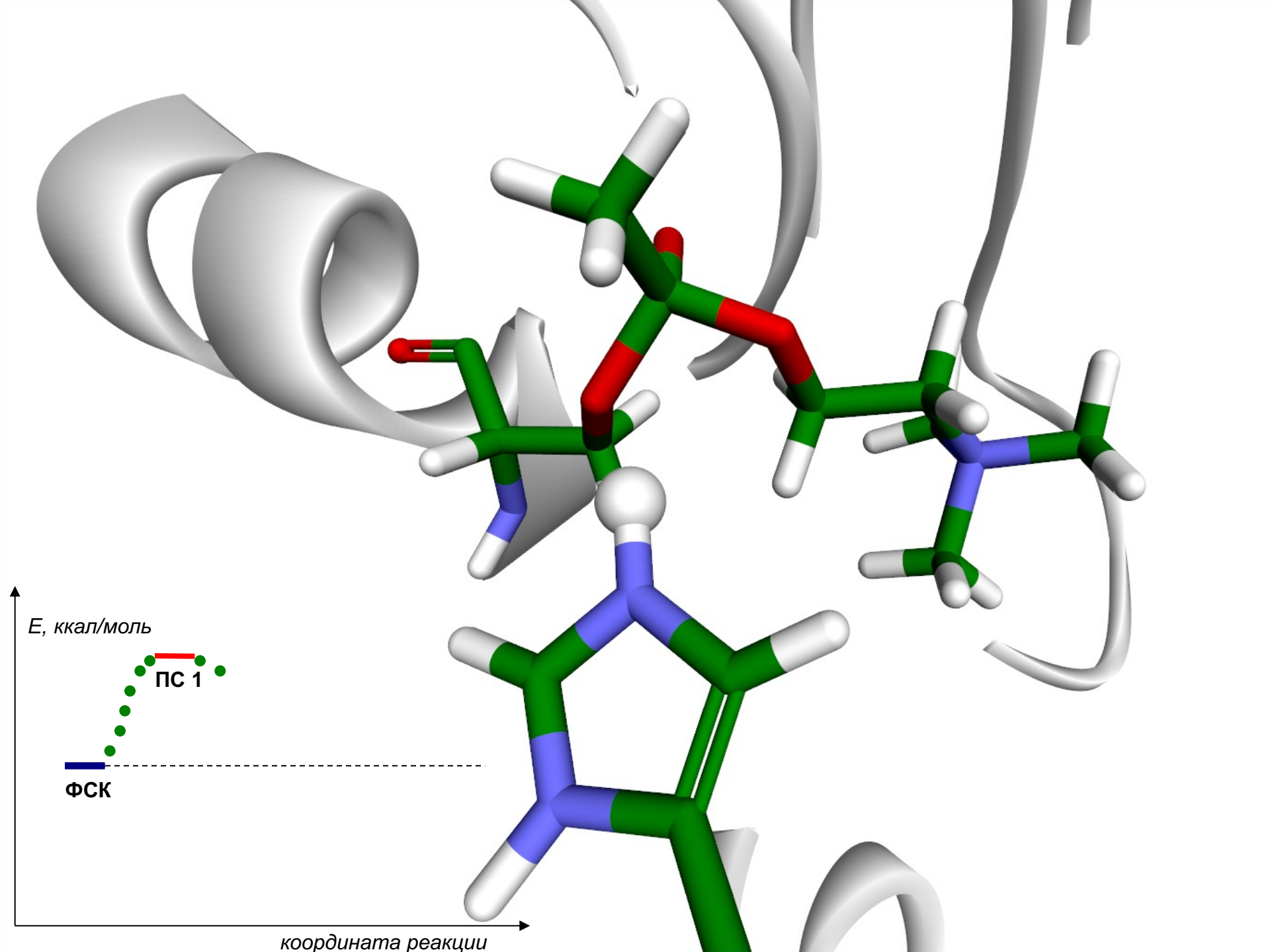


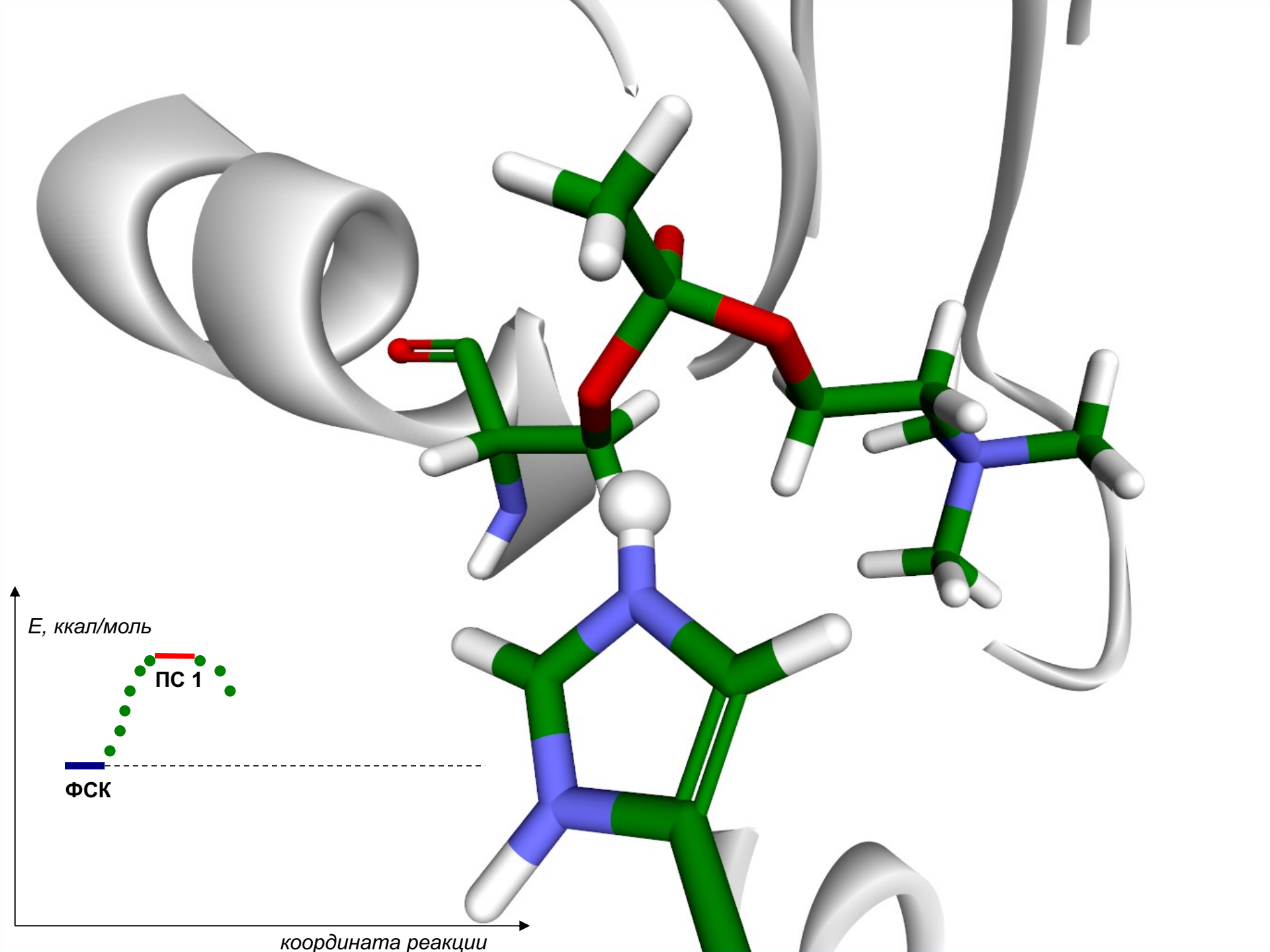
Координата реакции

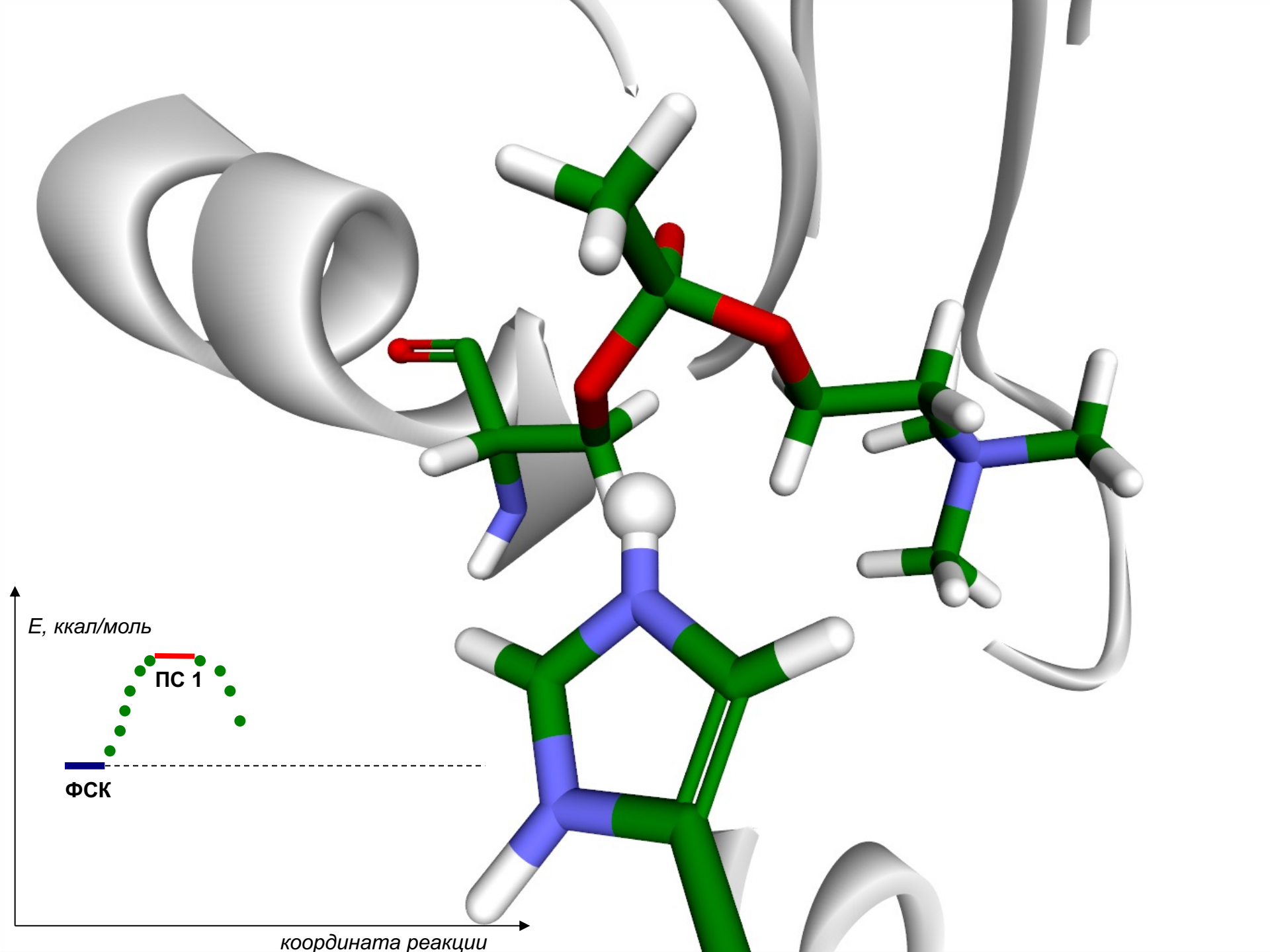


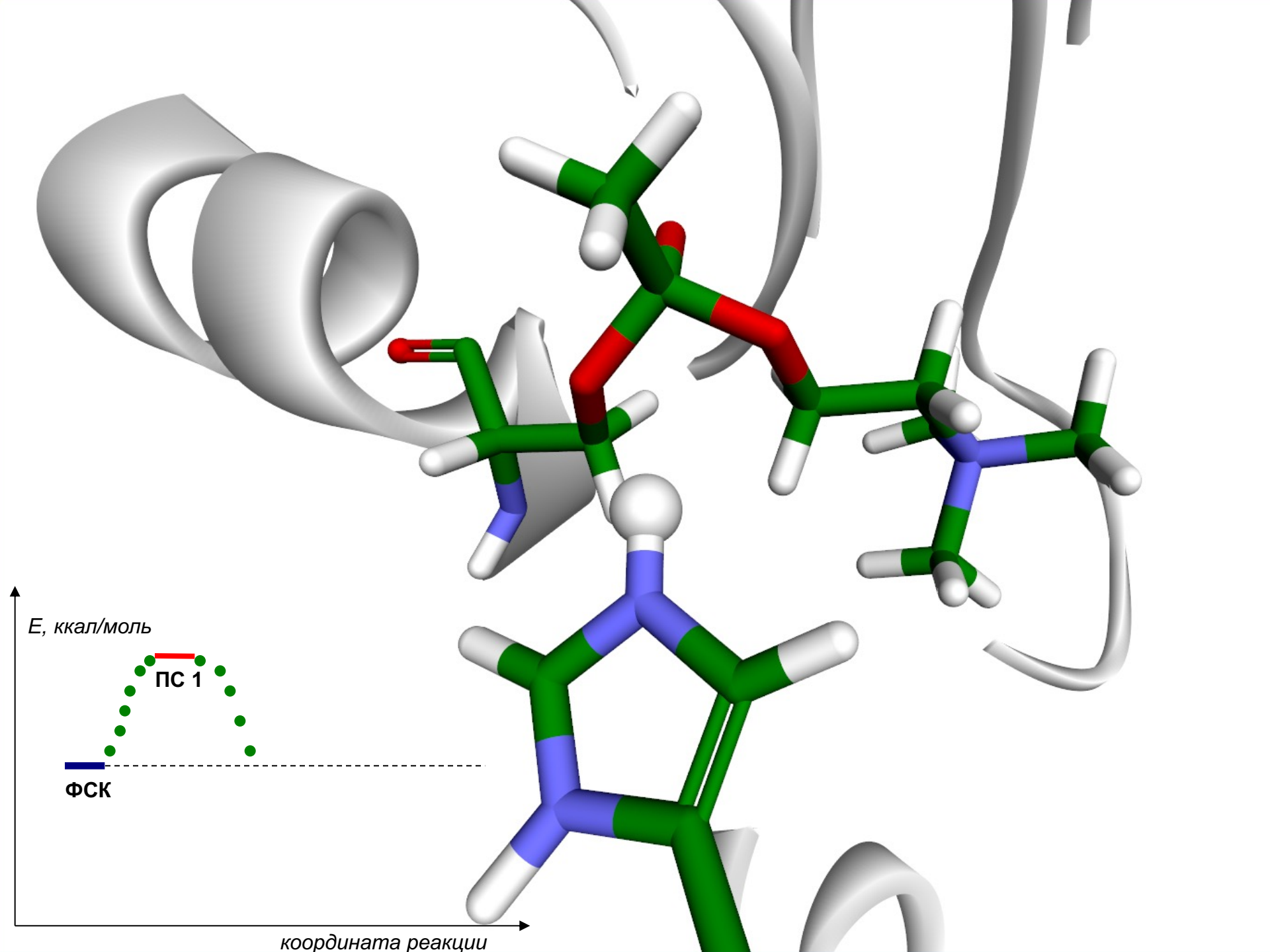








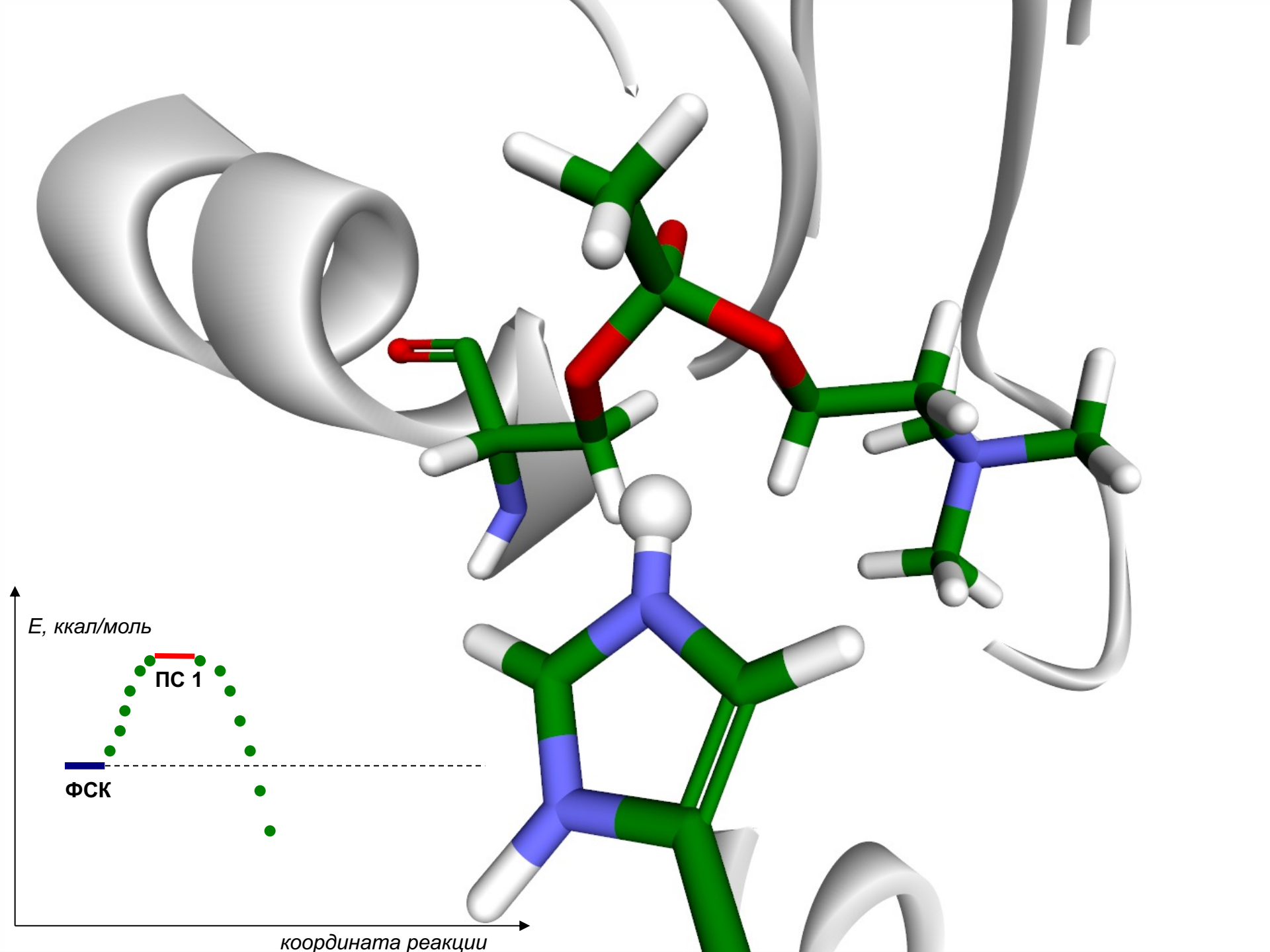


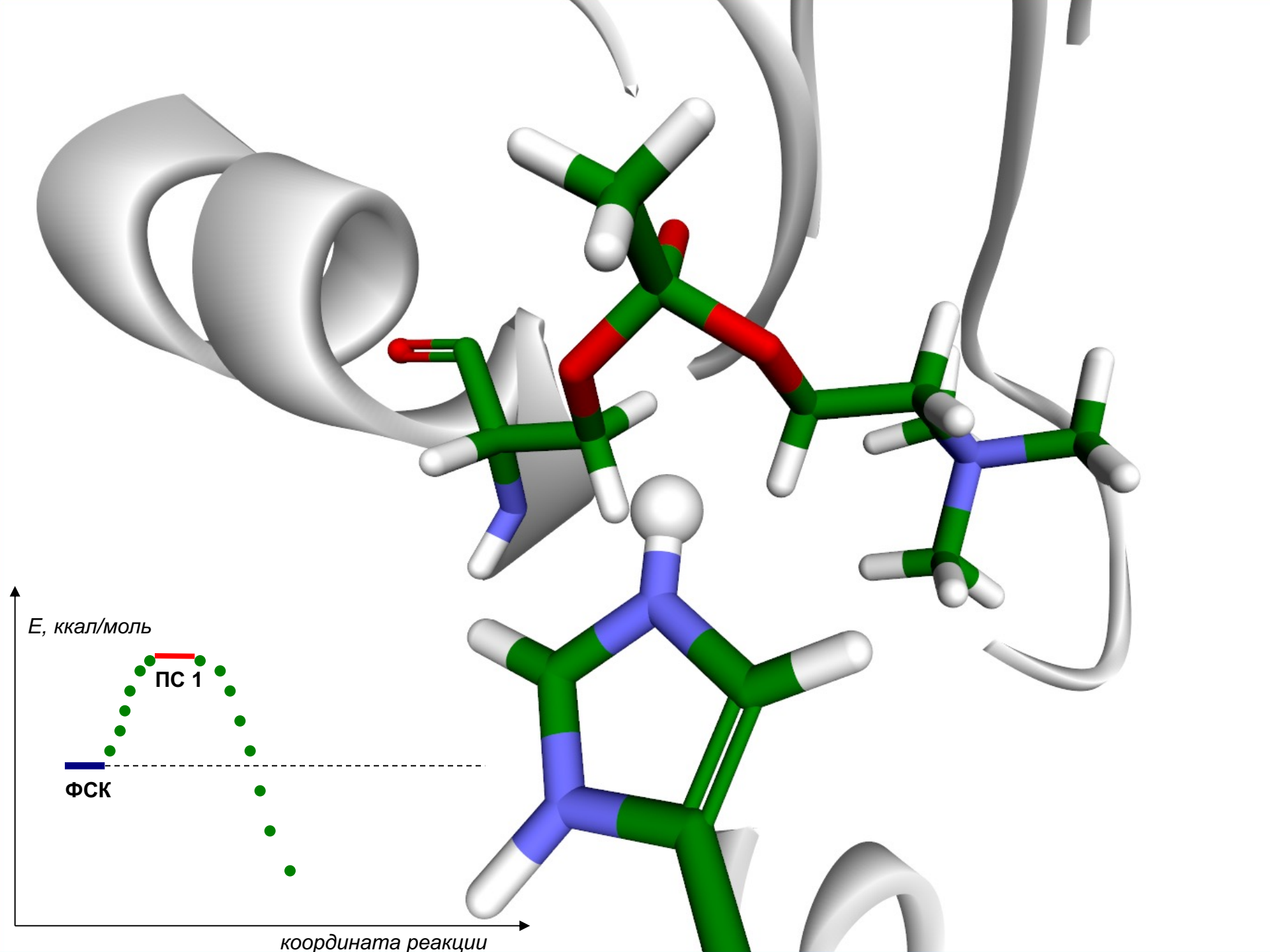


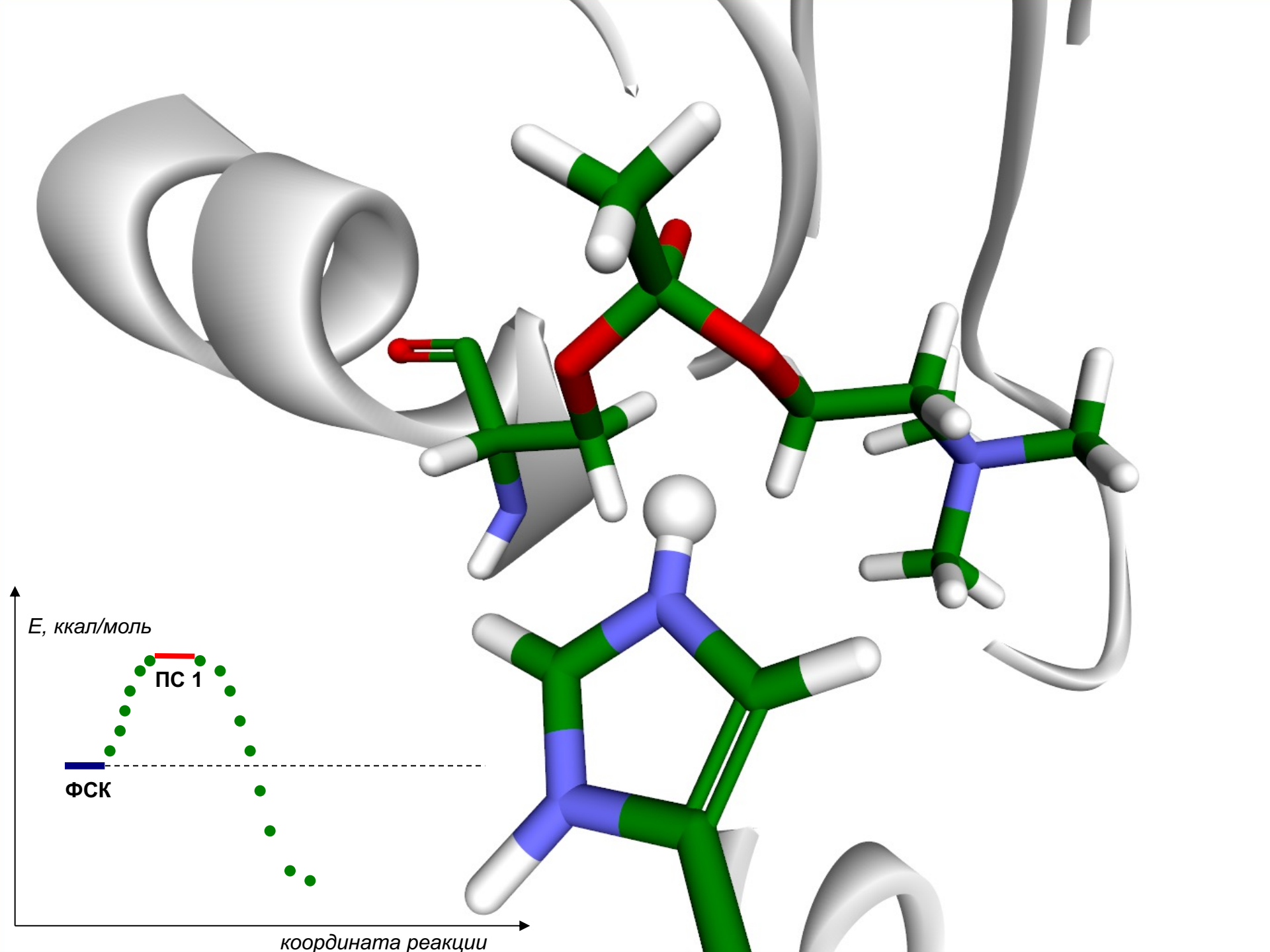
E , ккал/моль

ФСК

координата реакции





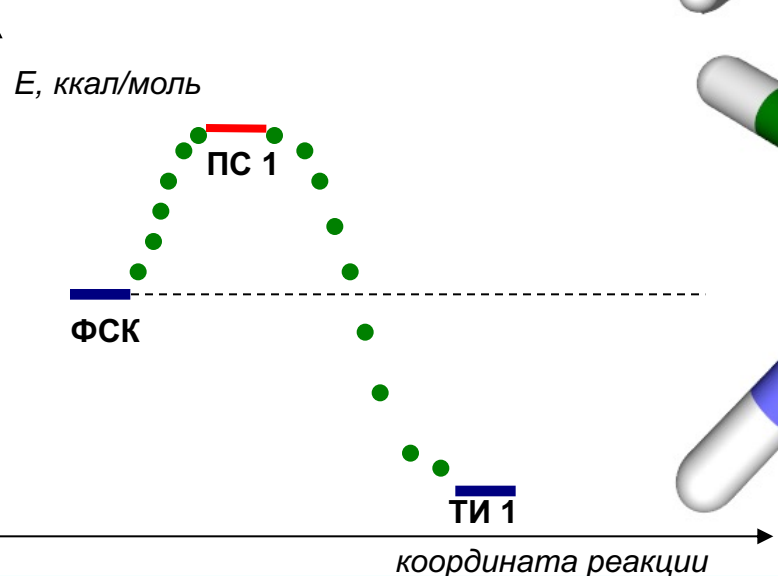


E , ккал/моль

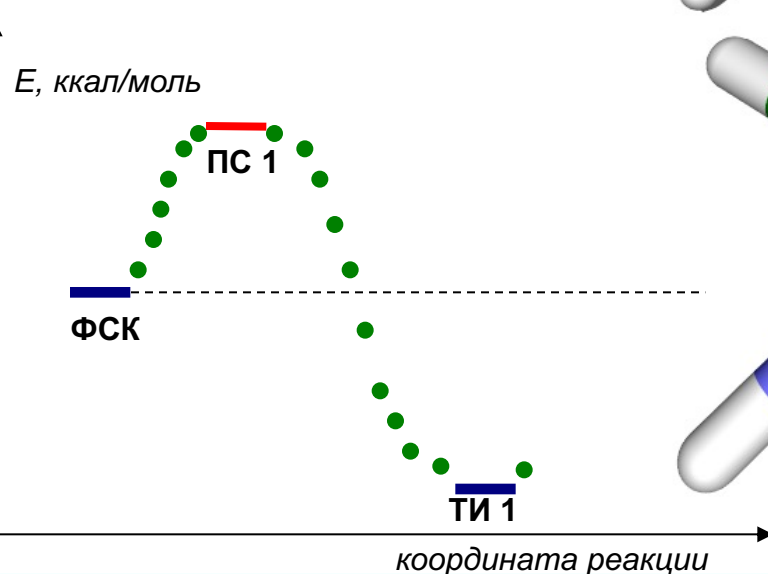
ФСК

координата реакции

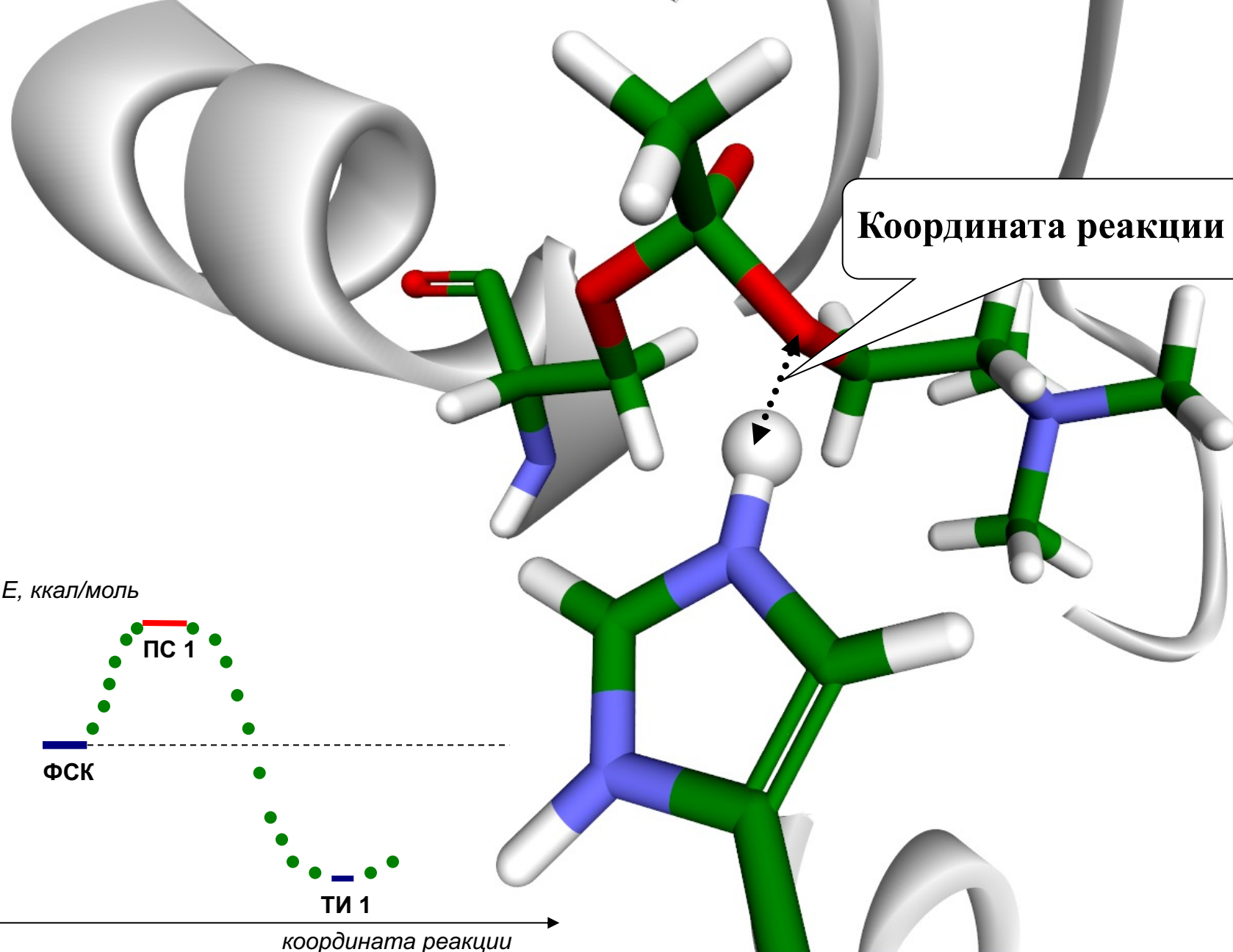
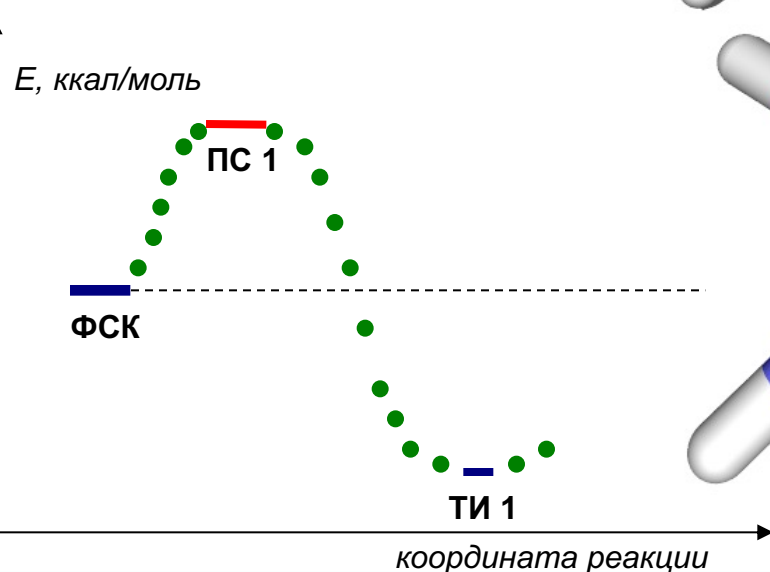
Координата реакции

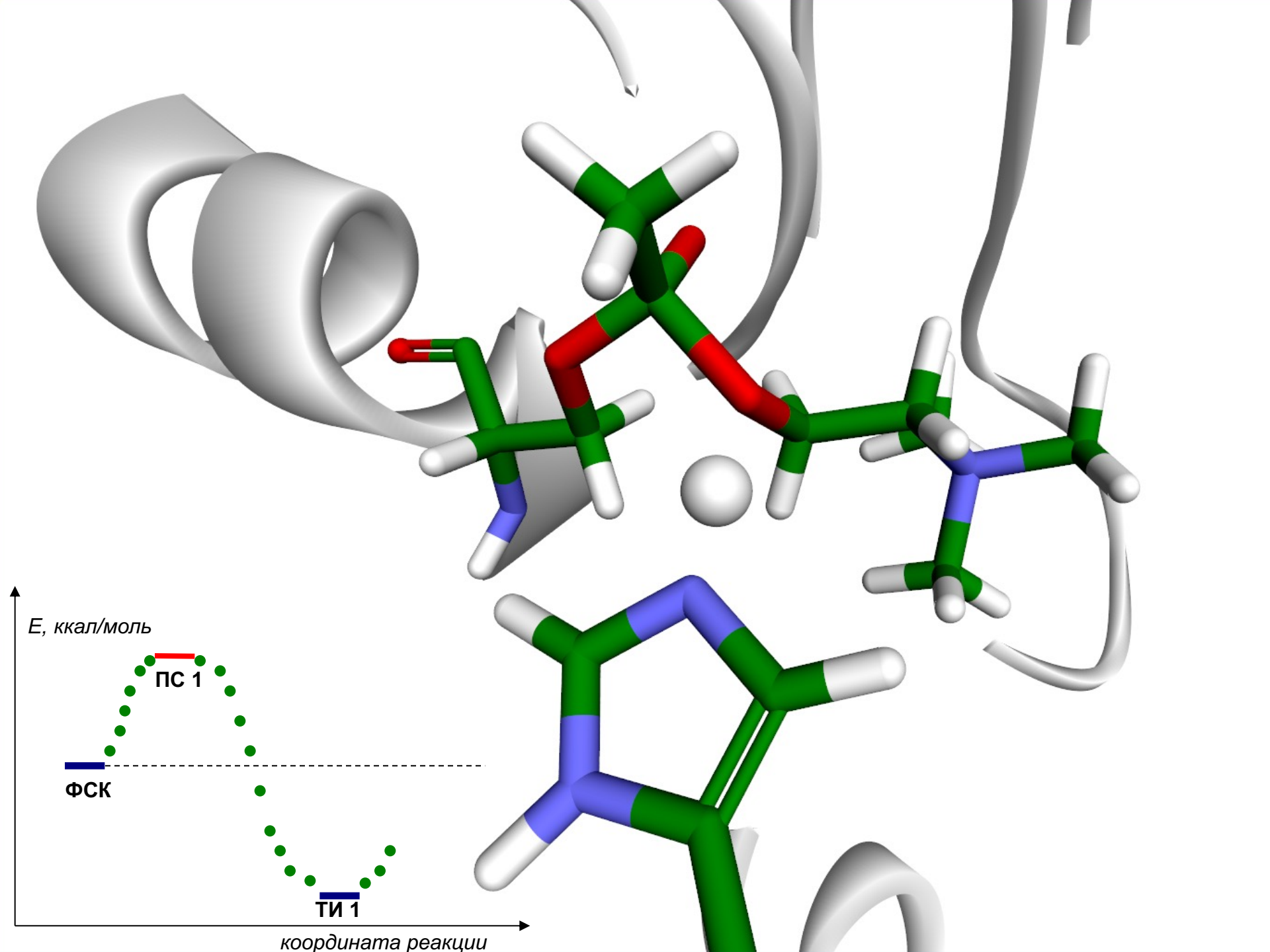


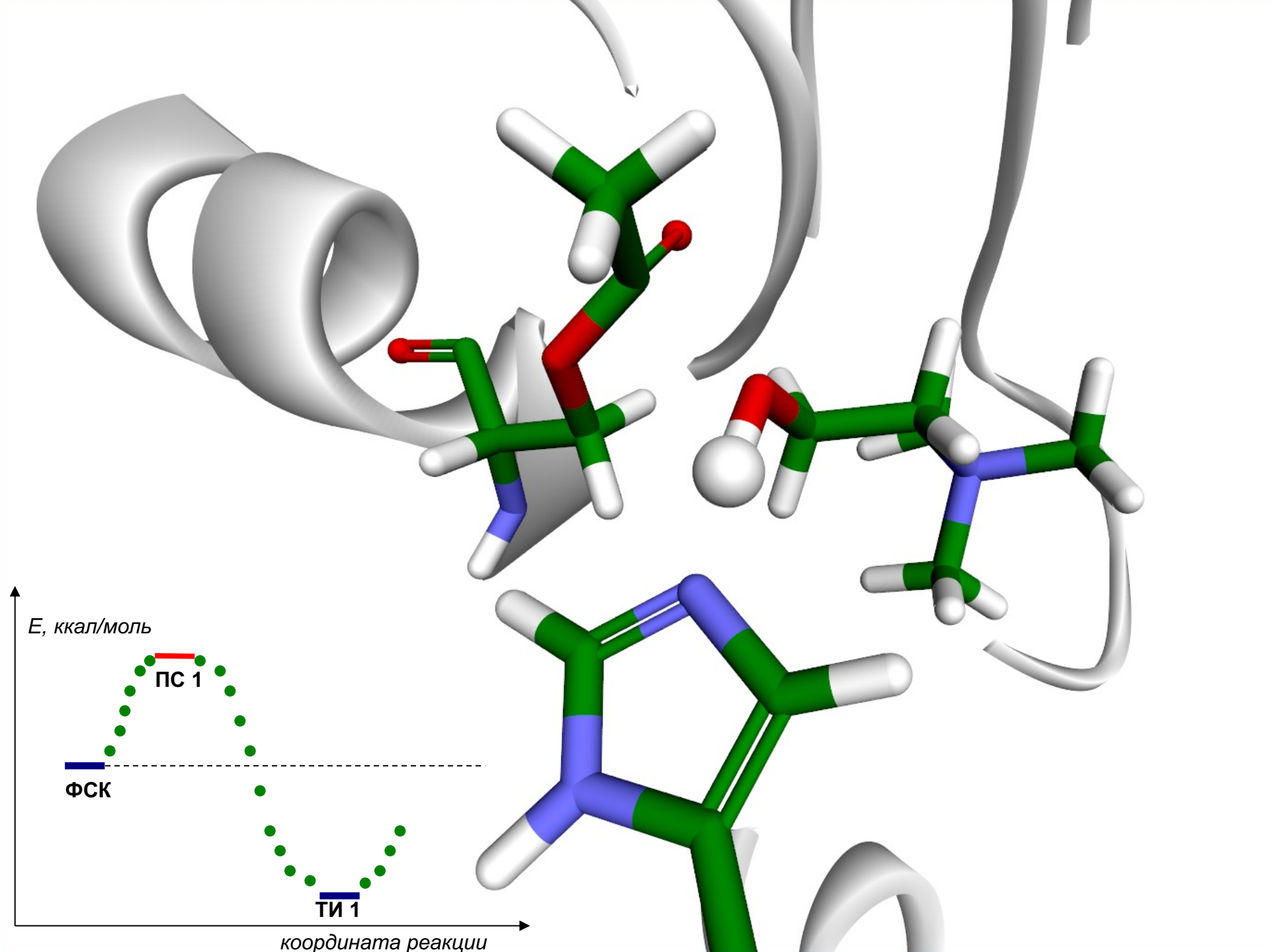
Координата реакции

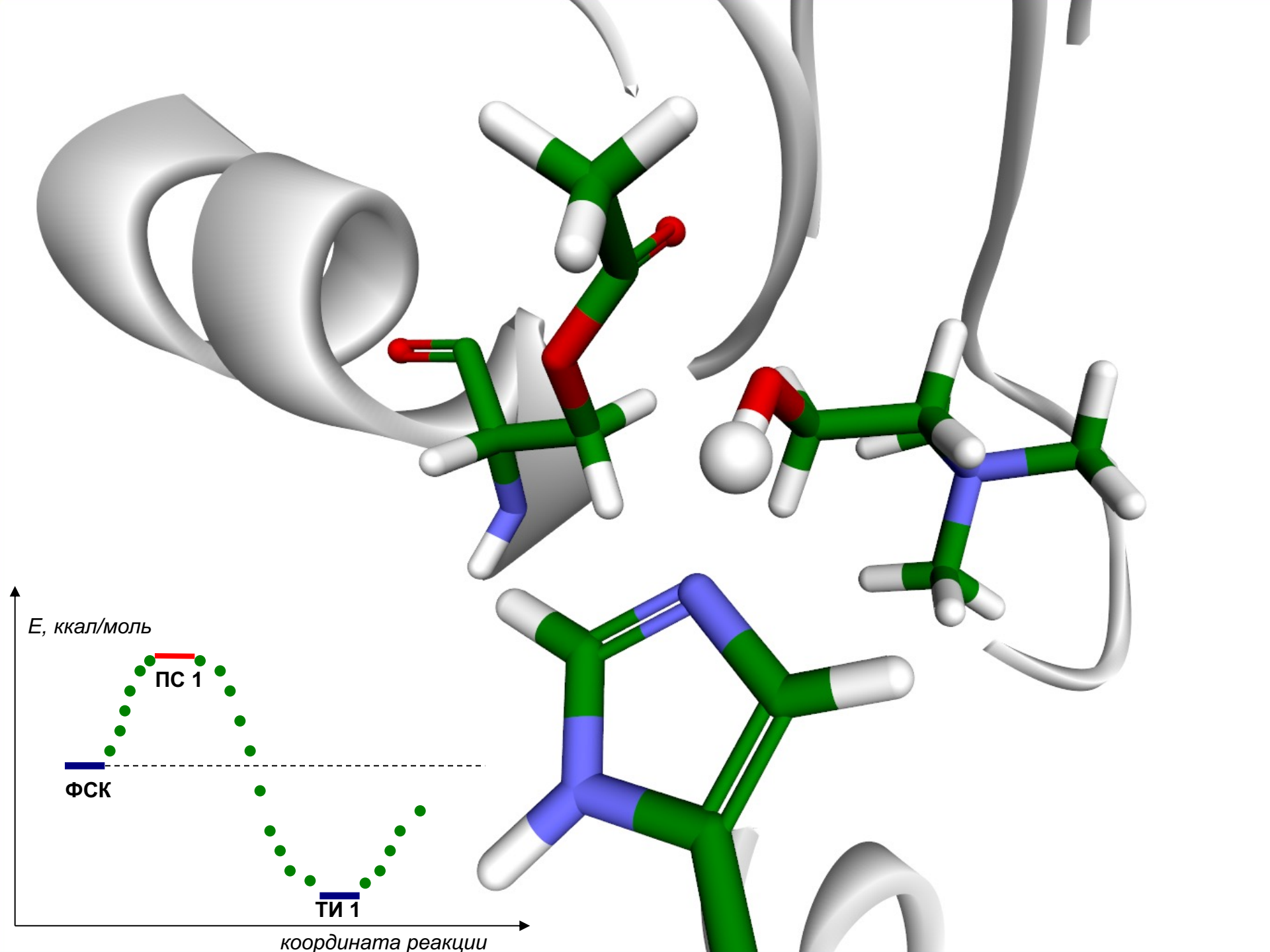


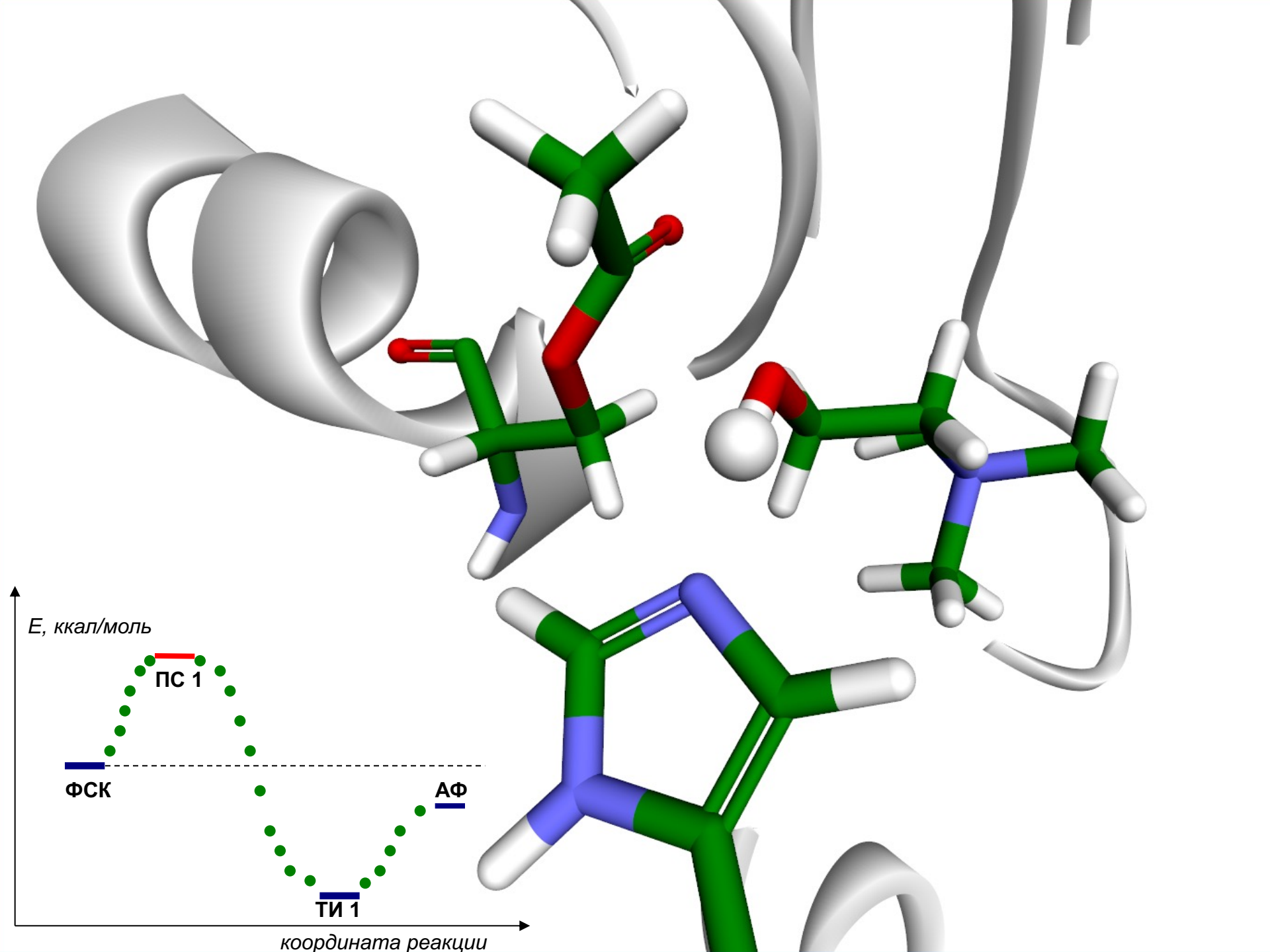
Координата реакции







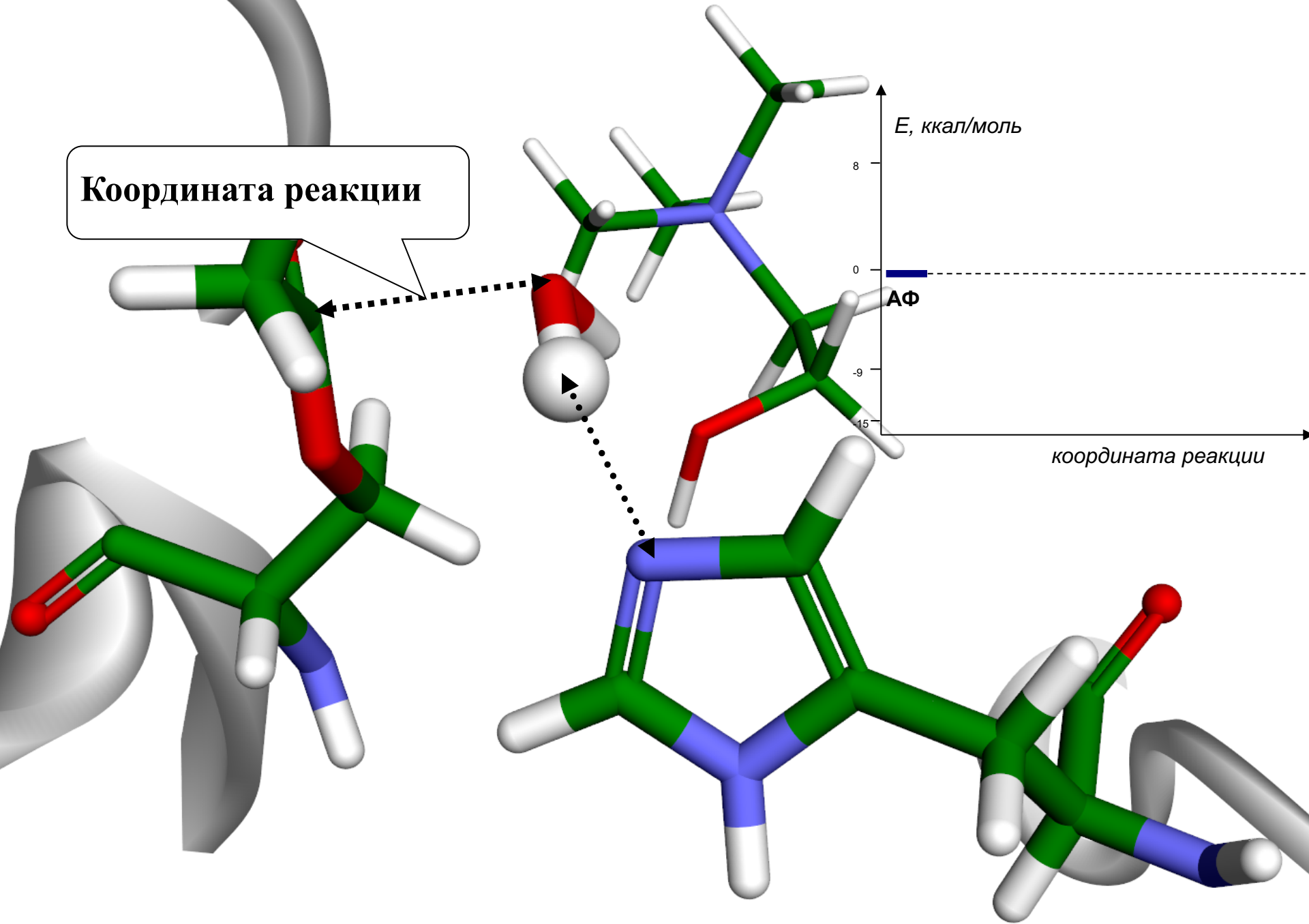




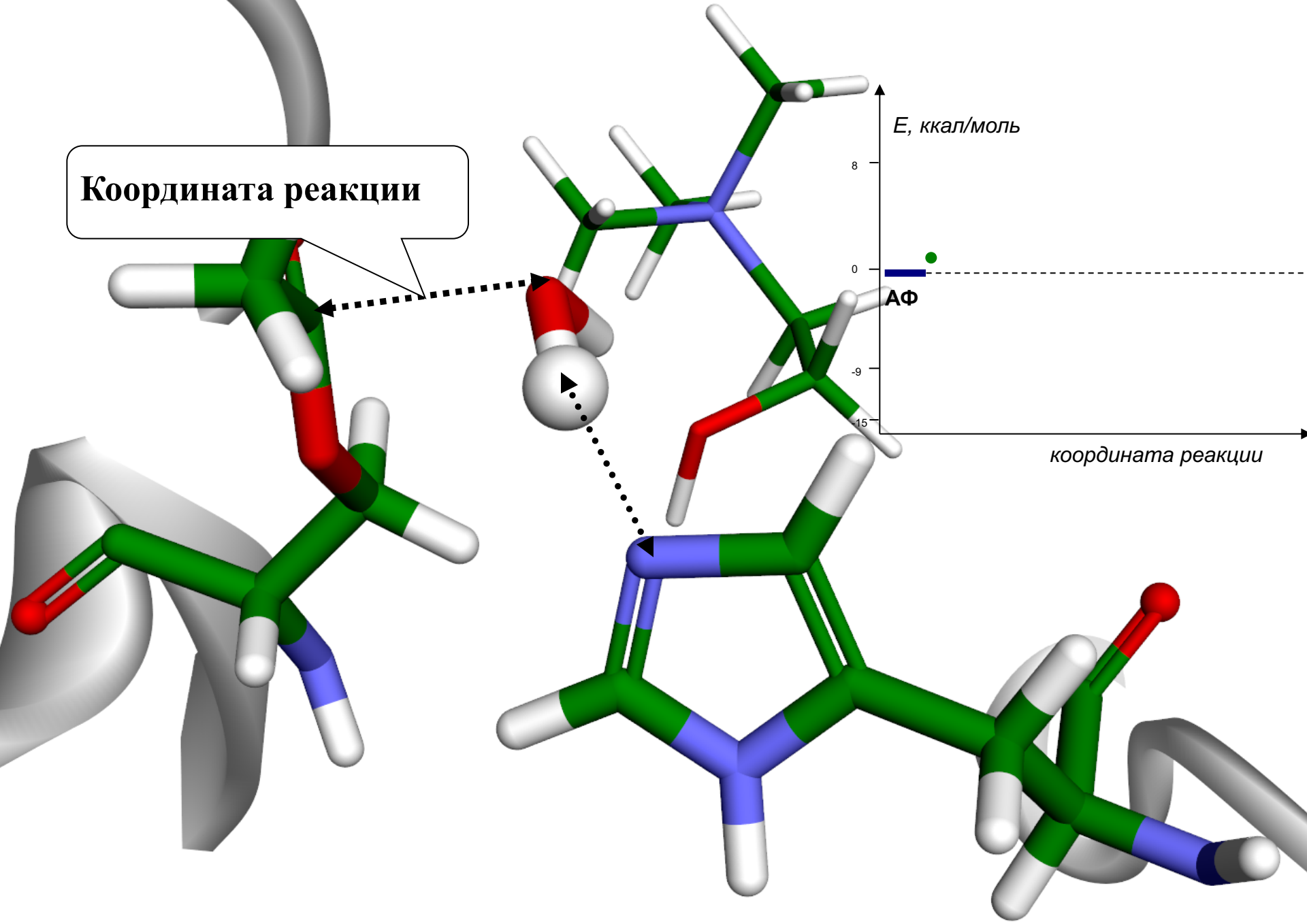


Deacylation step

Координата реакции



Координата реакции



E , ккал/моль

0

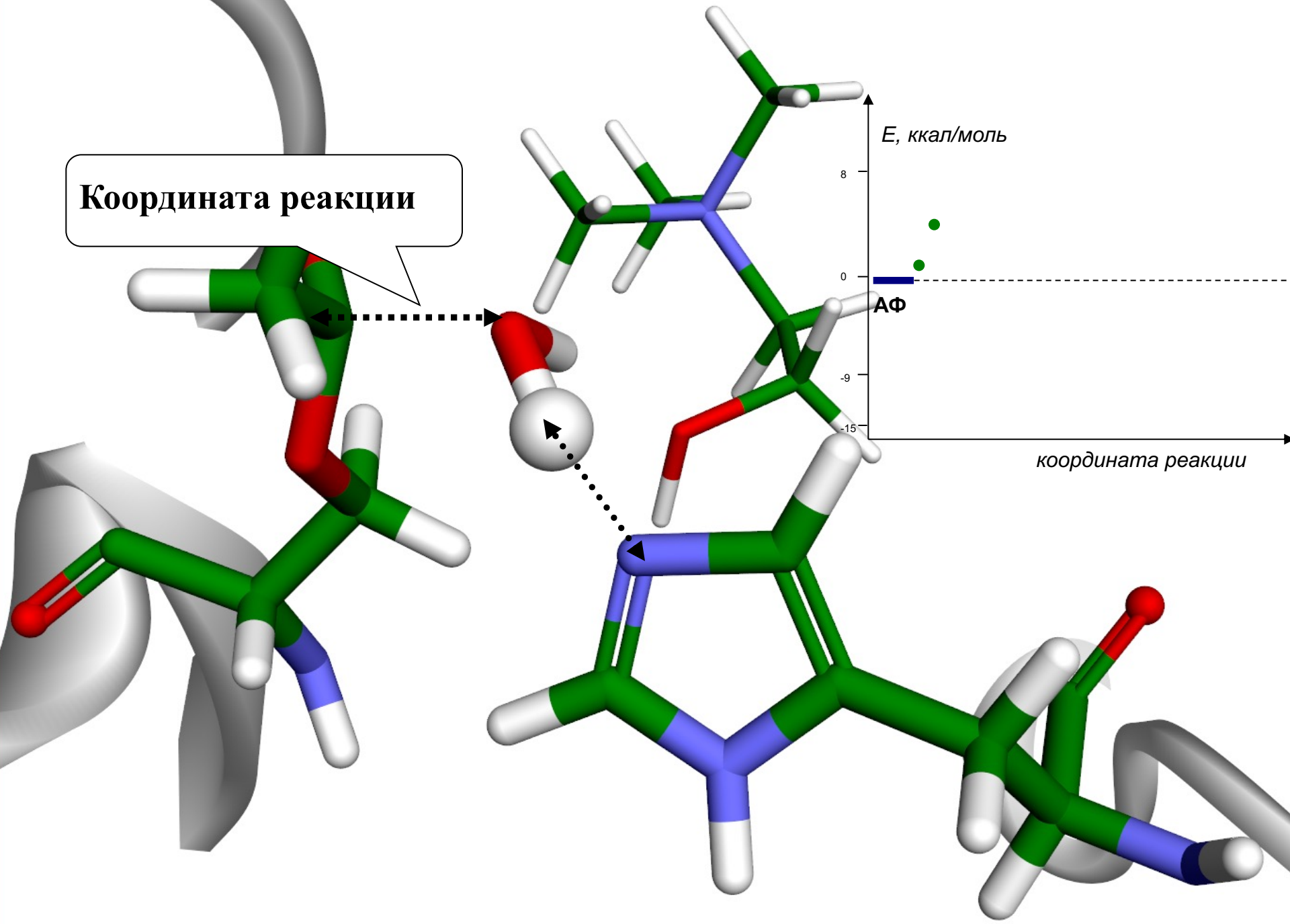
-9

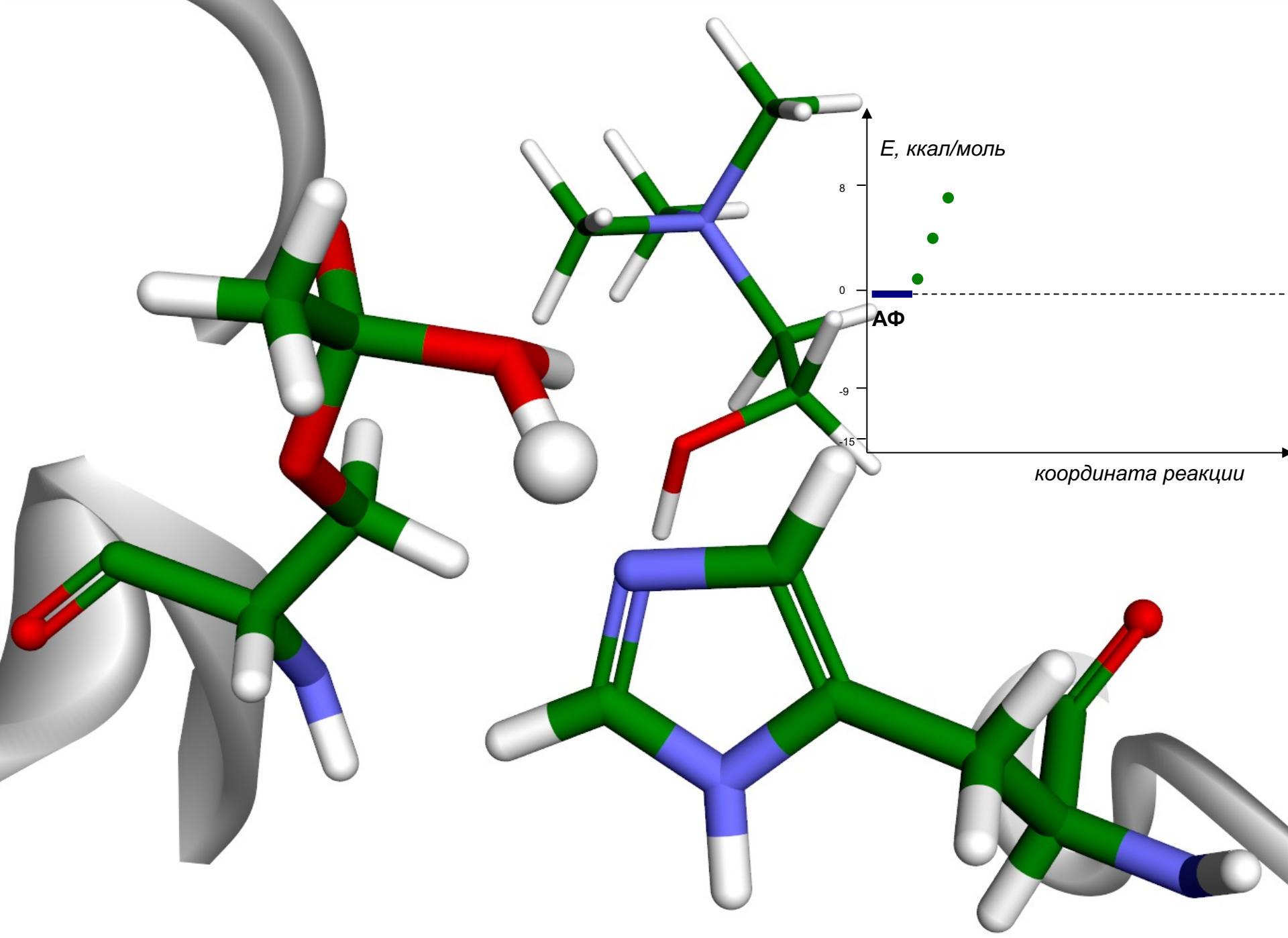
-15

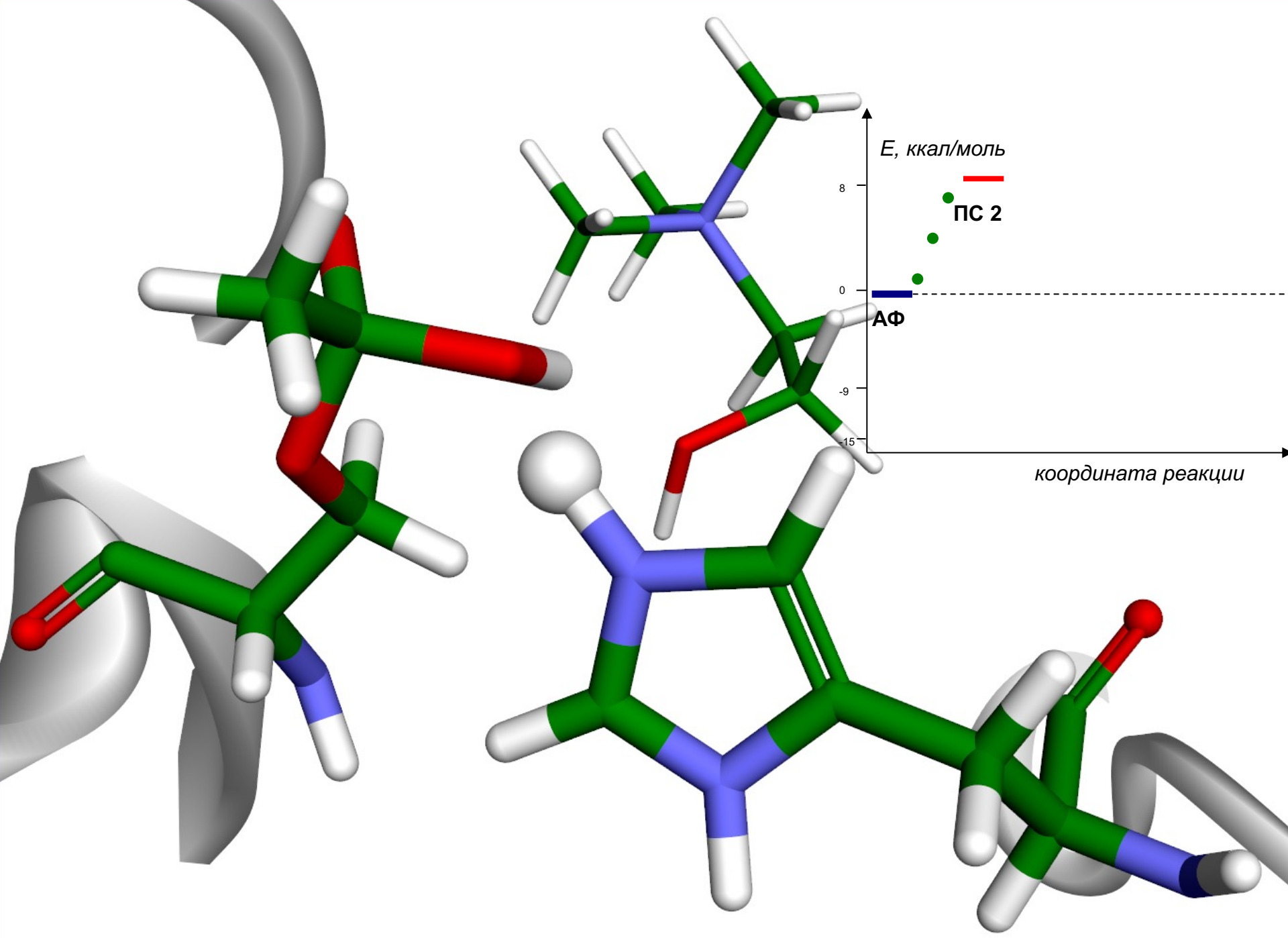
координата реакции

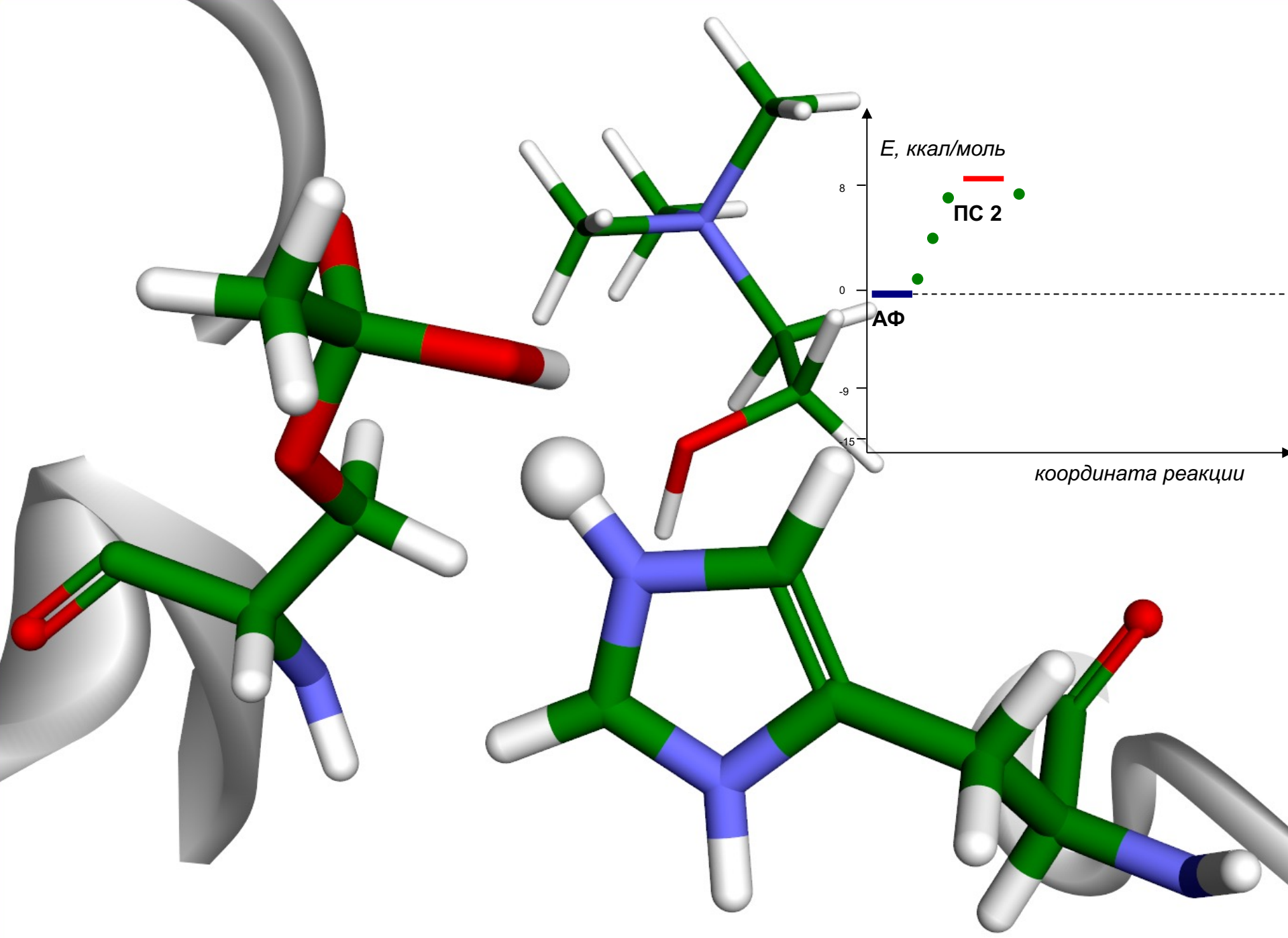
ΔE

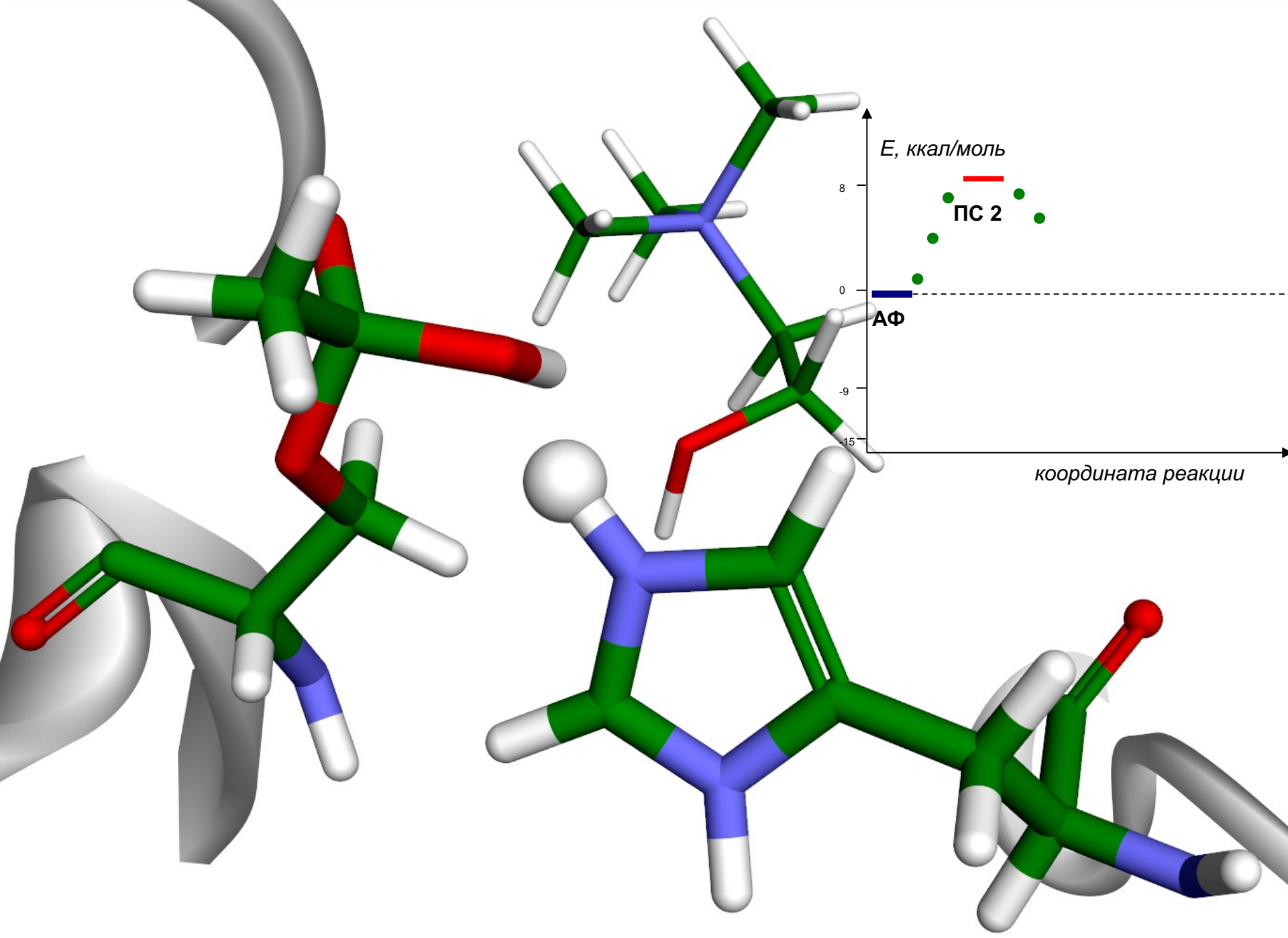
Координата реакции

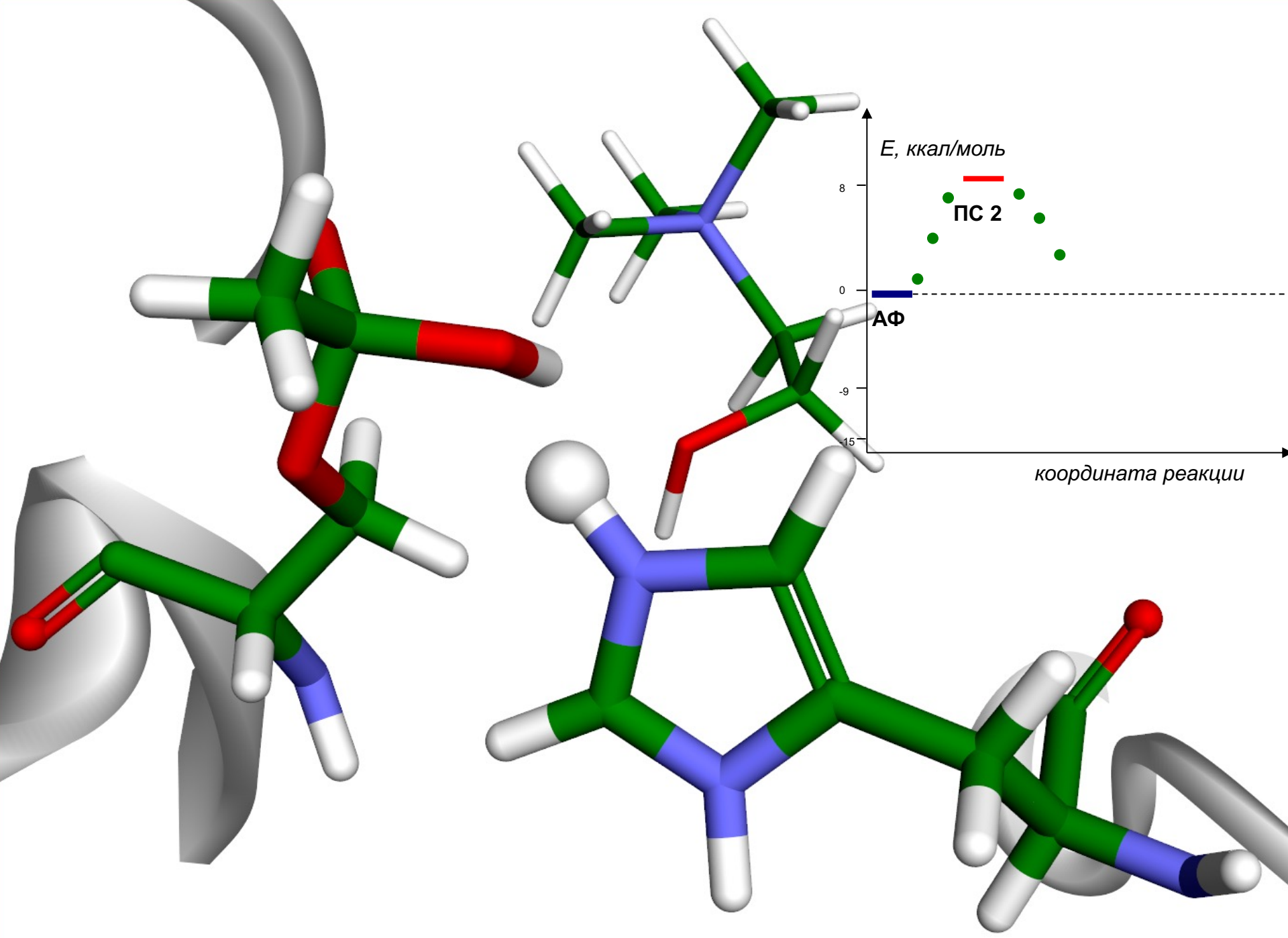


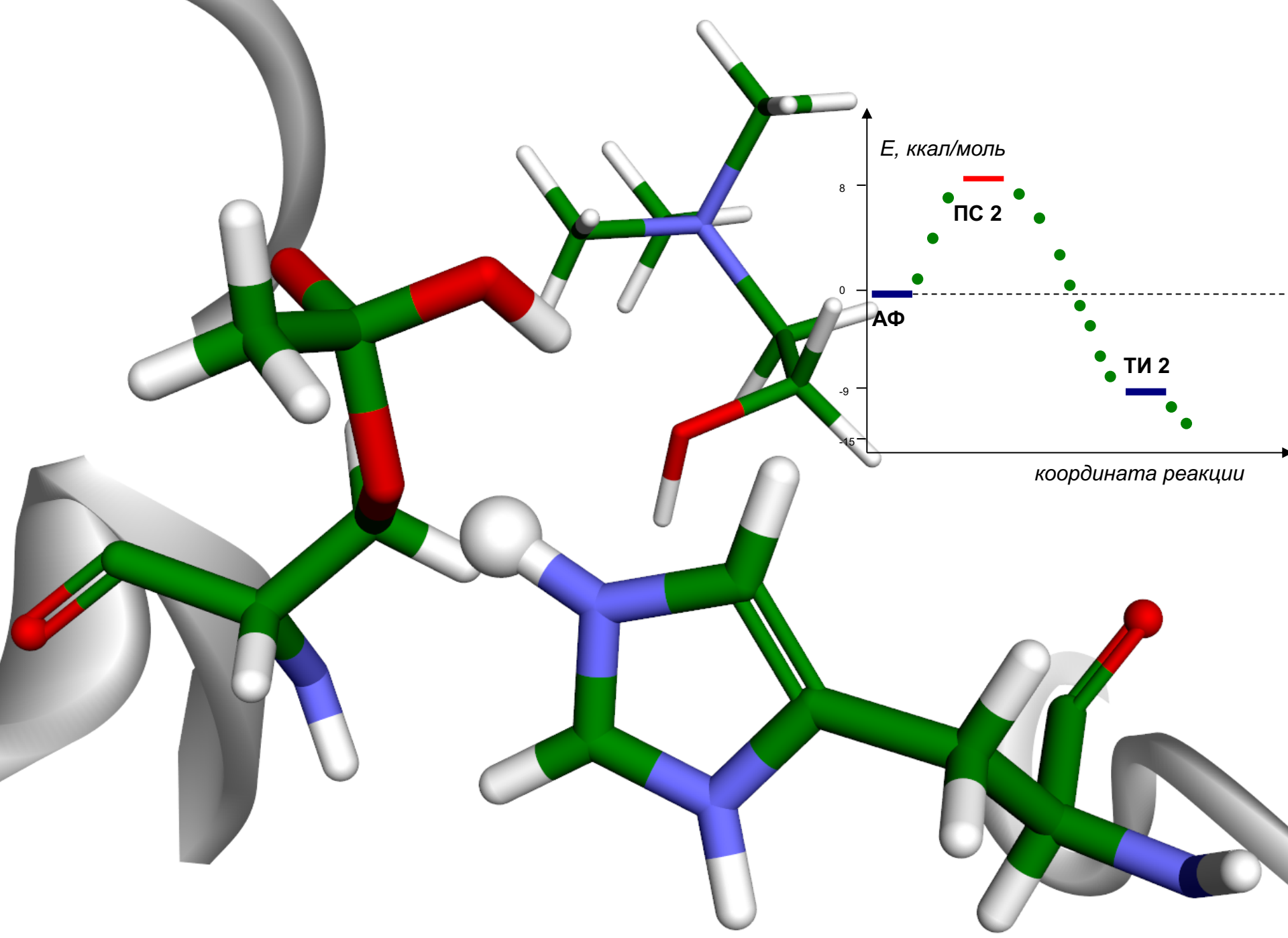












E , ккал/моль

8

0

-9

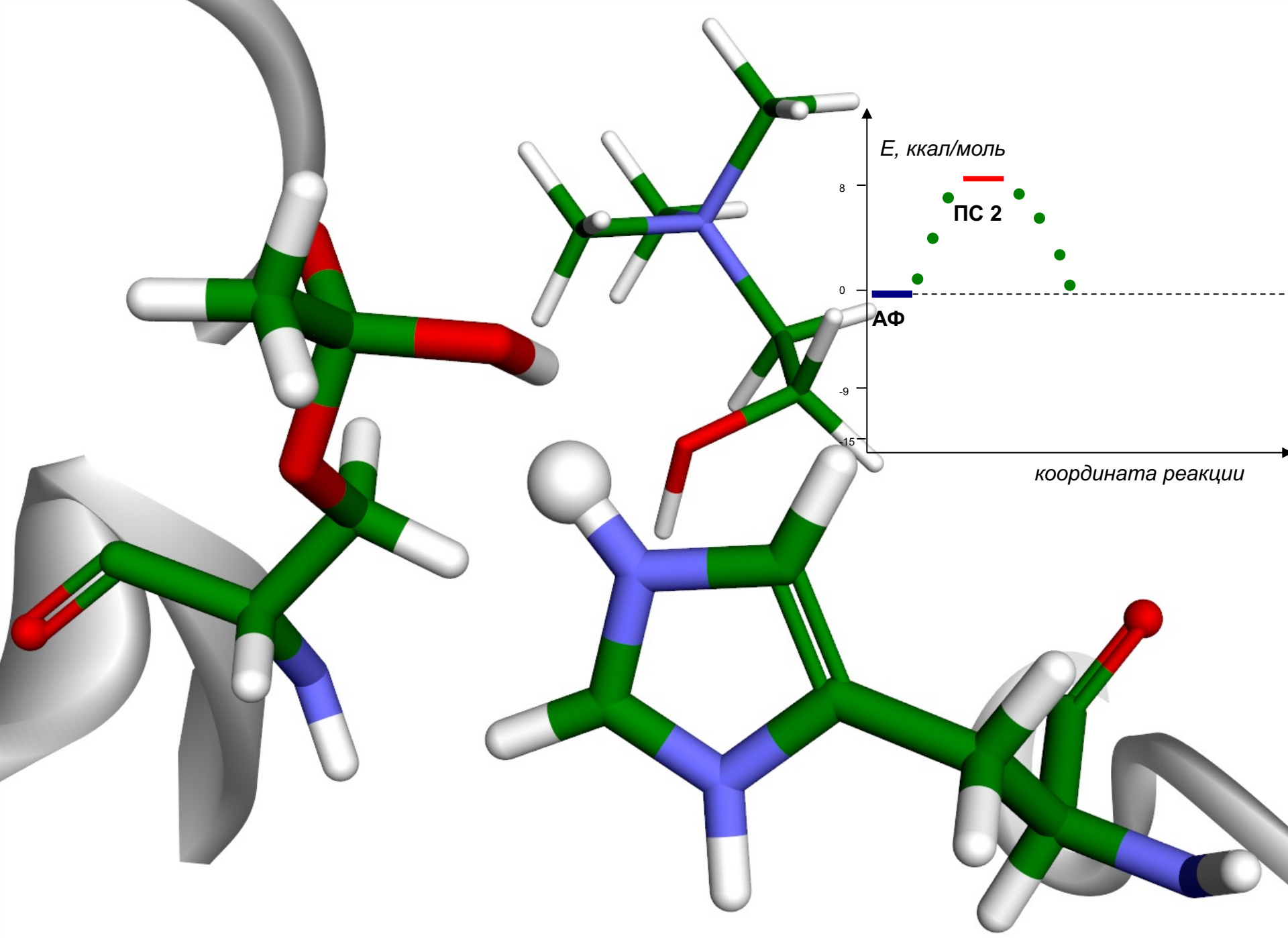
-15

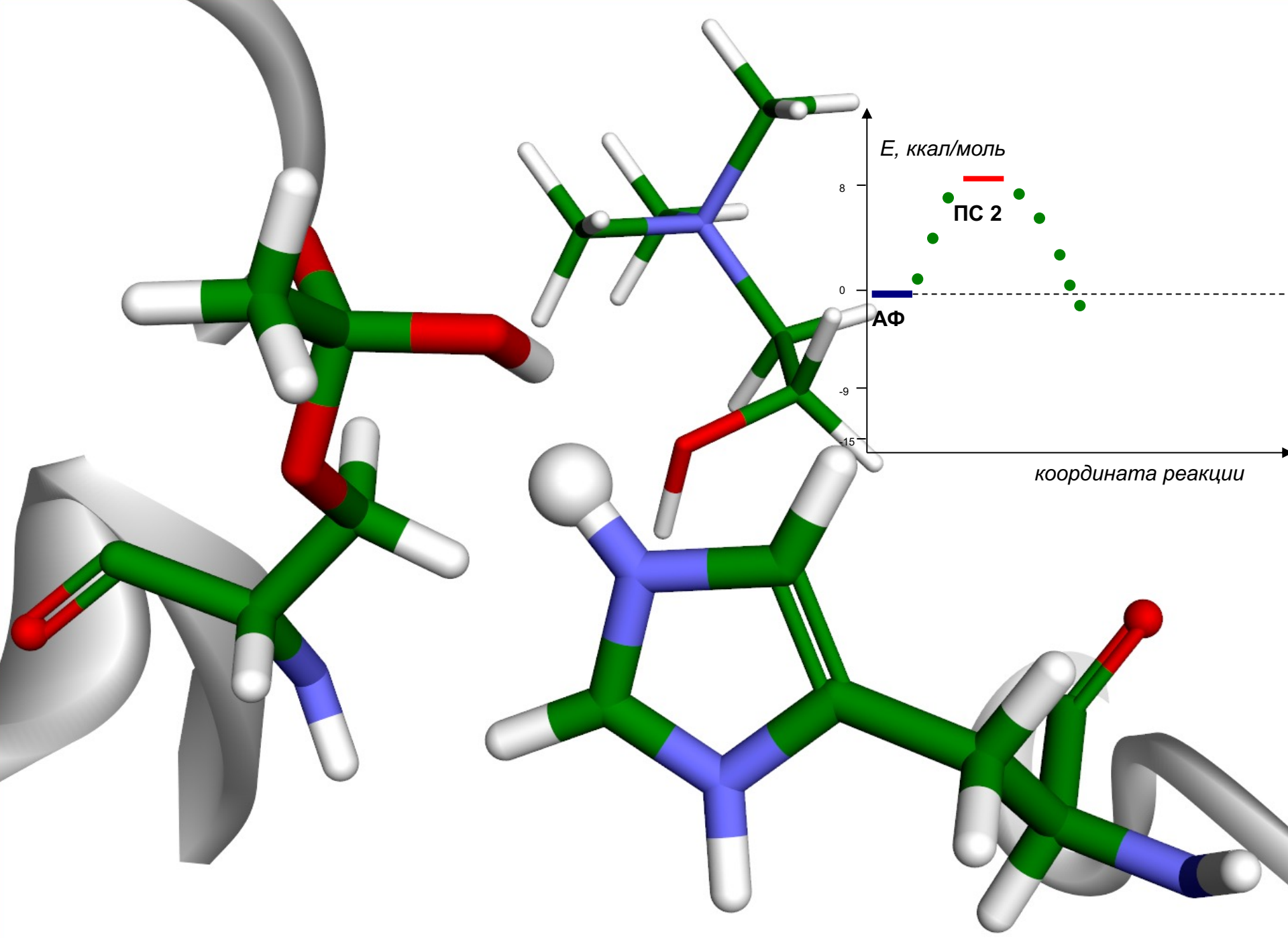
АФ

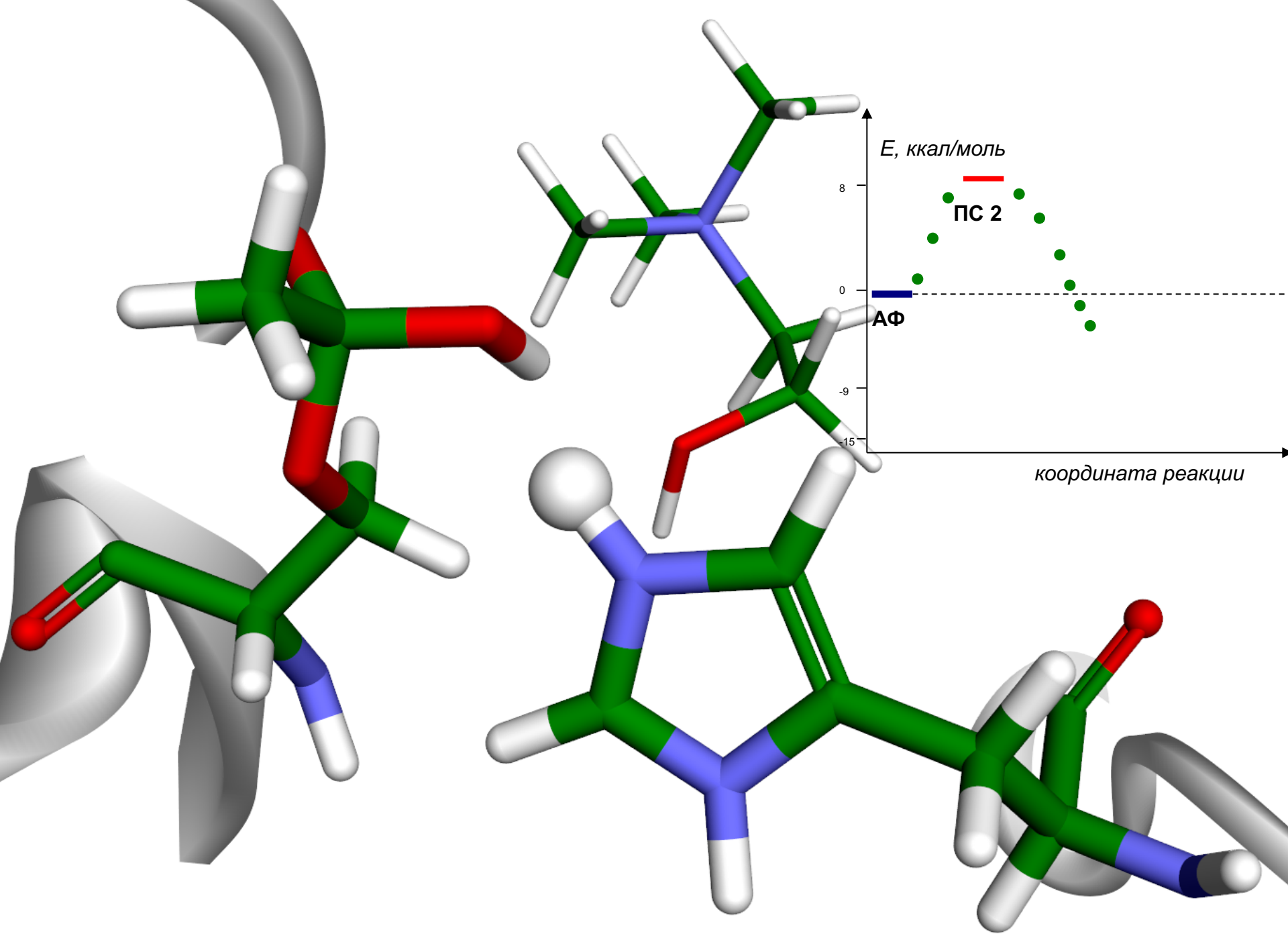
координата реакции

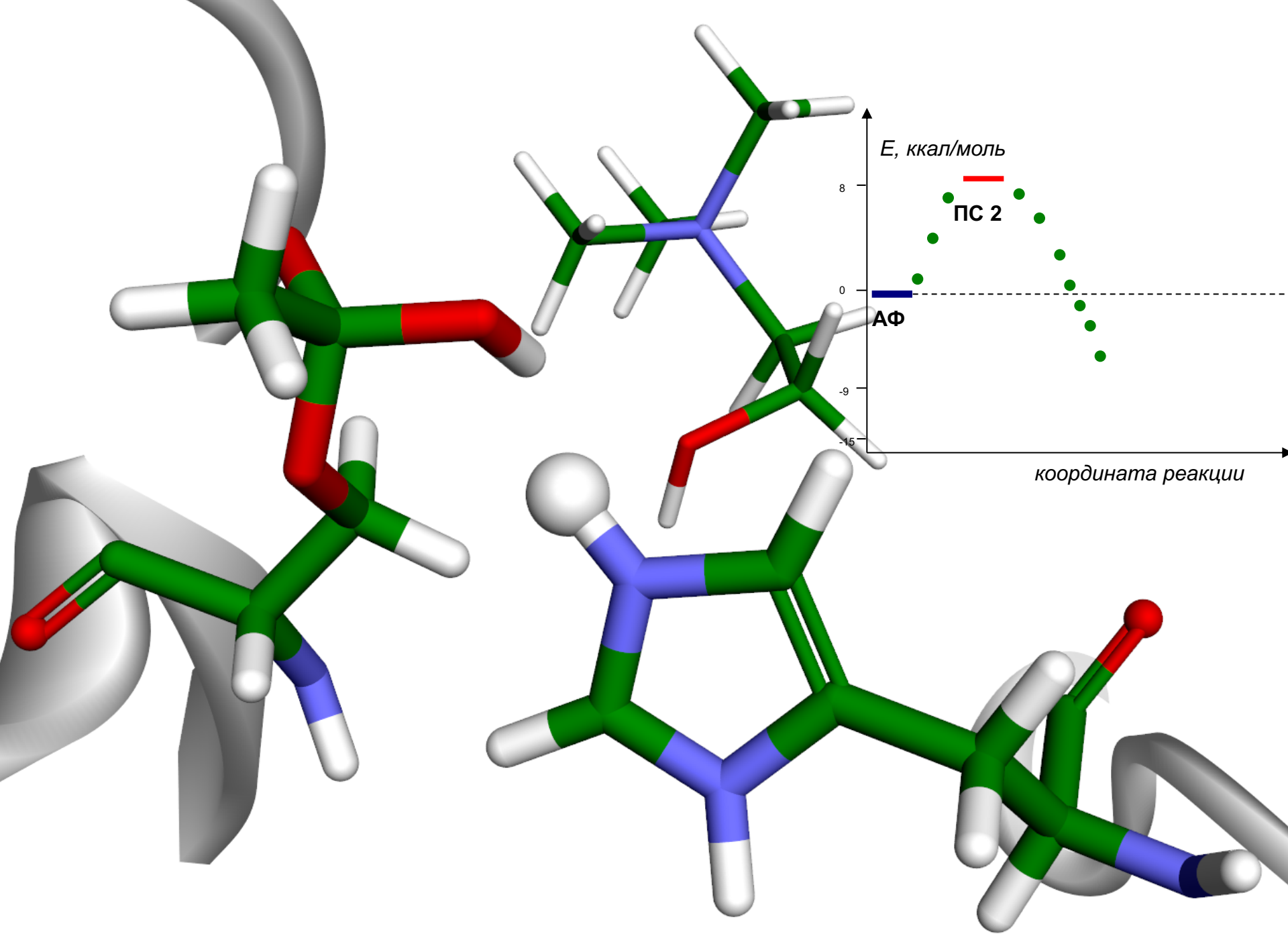
ПС 2

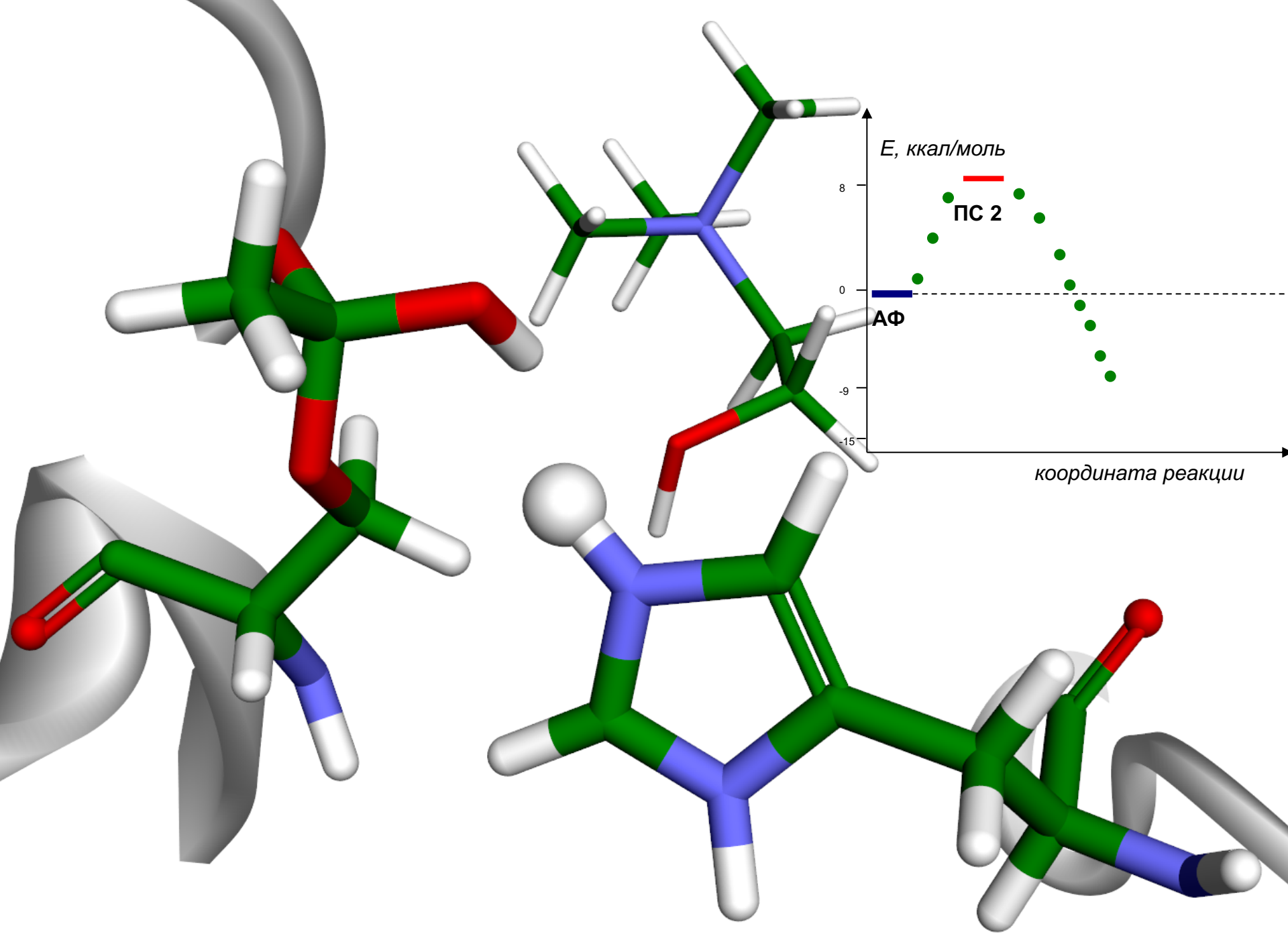
ТИ 2

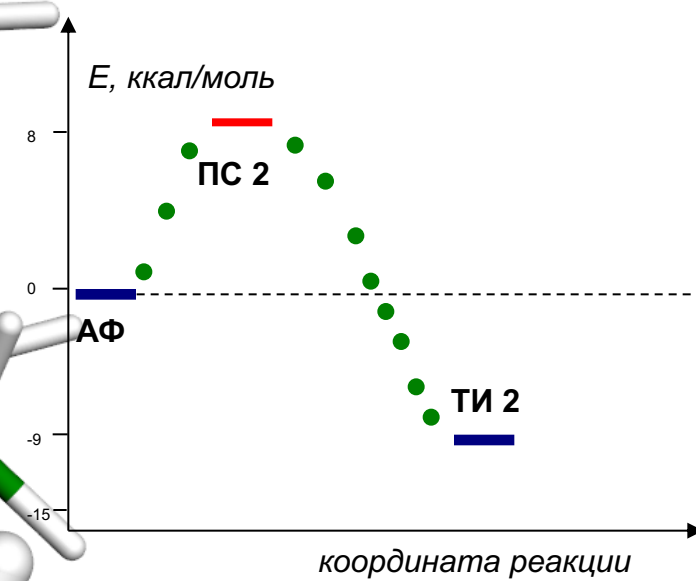
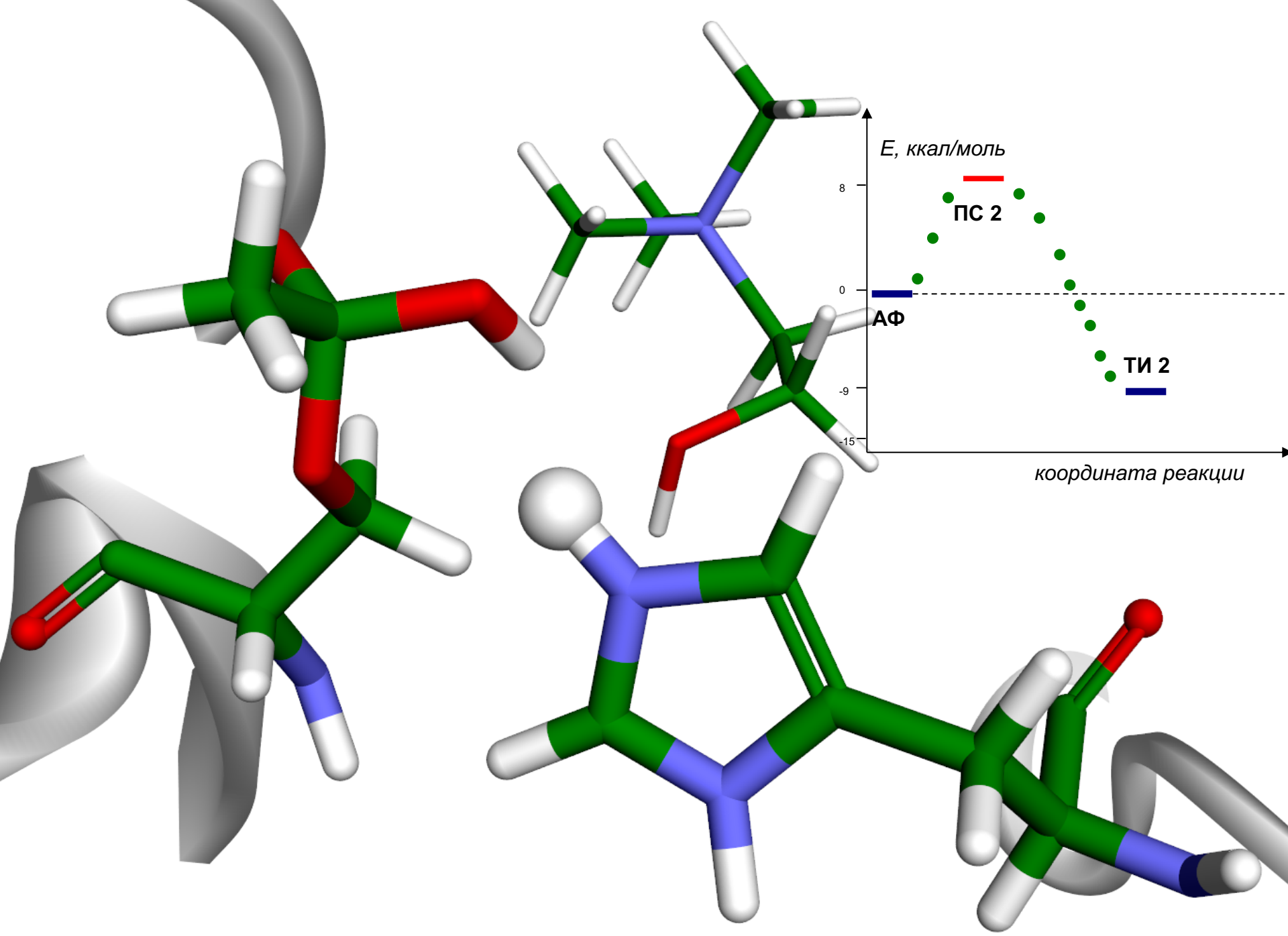


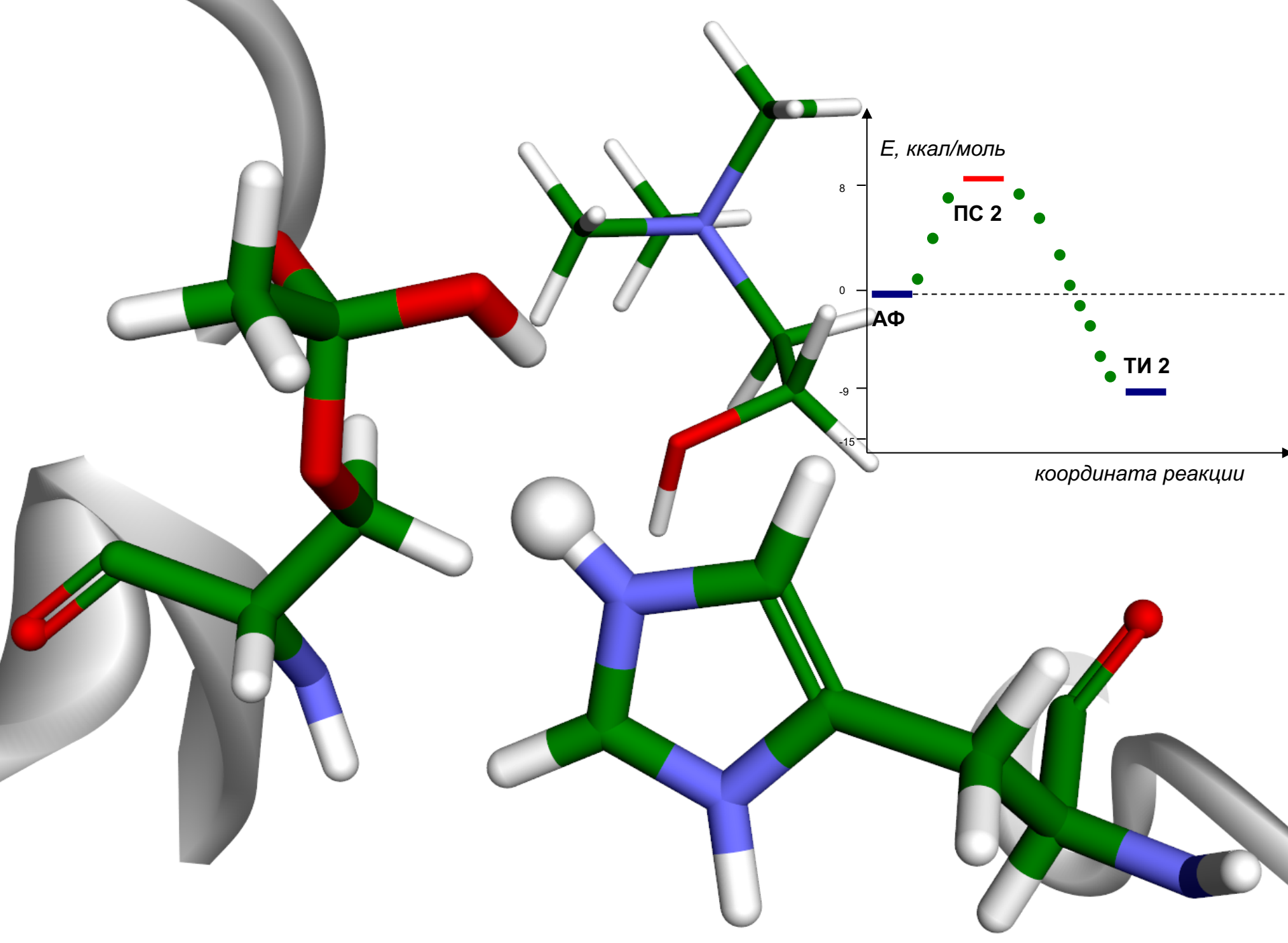


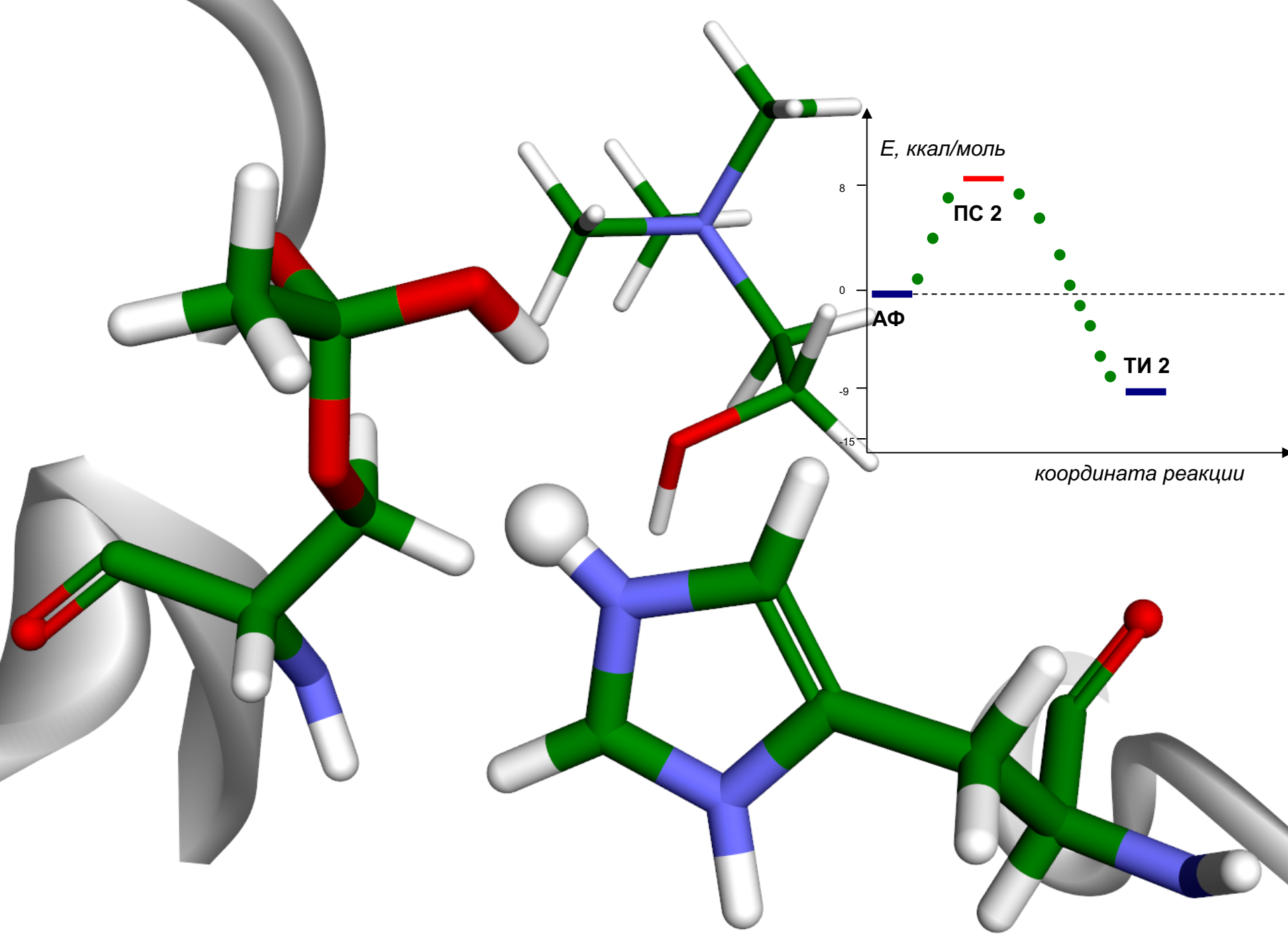


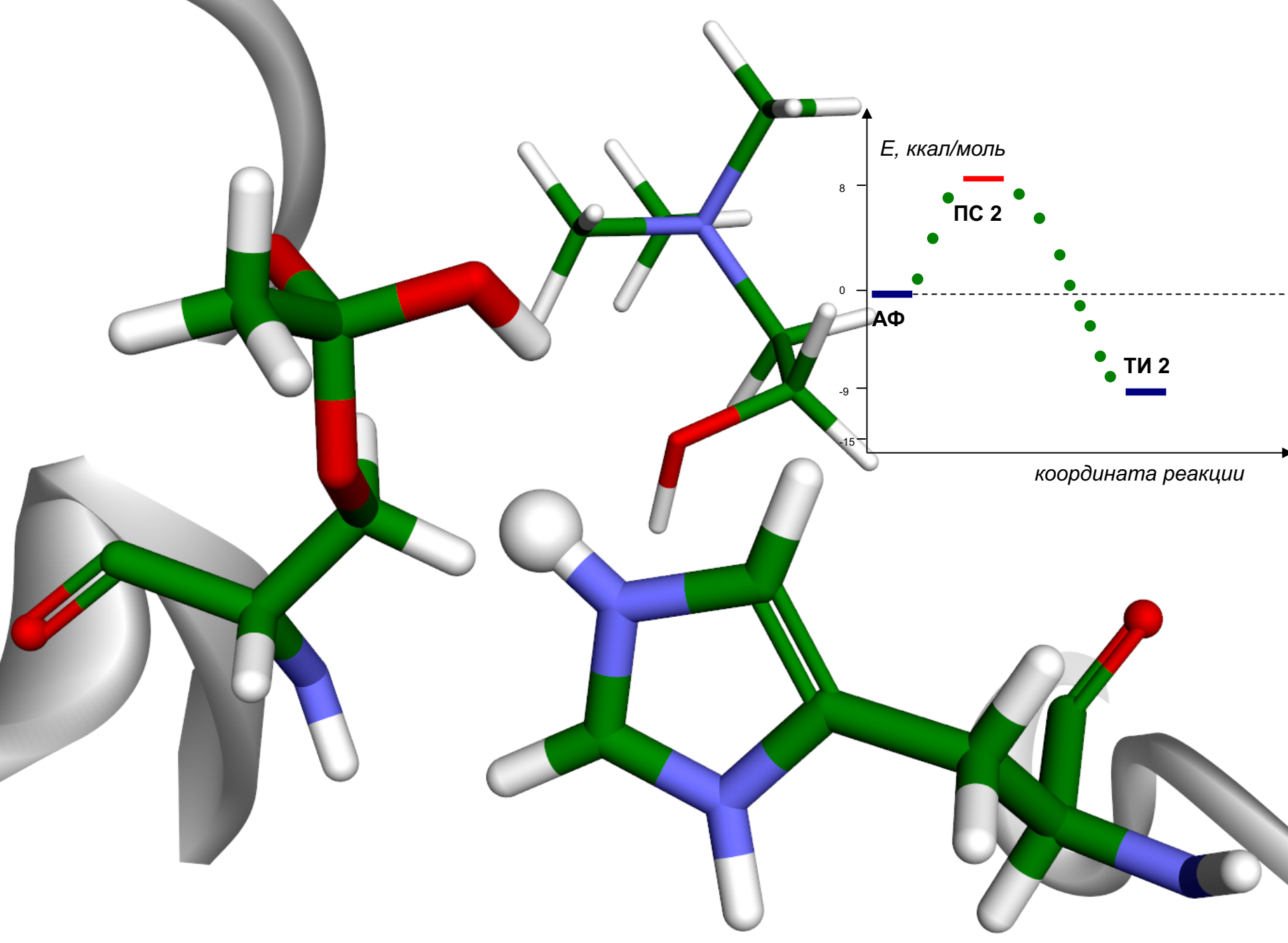


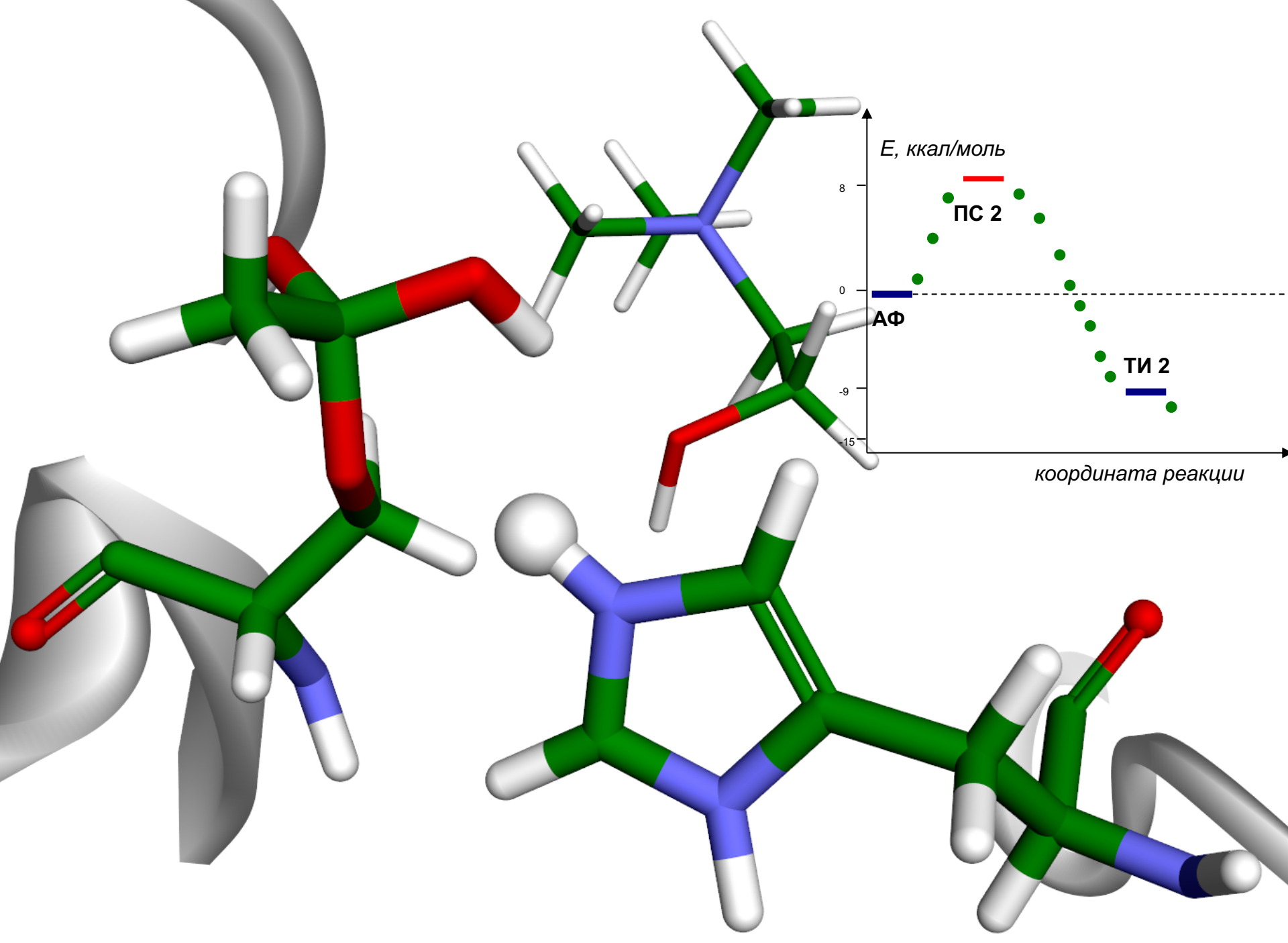


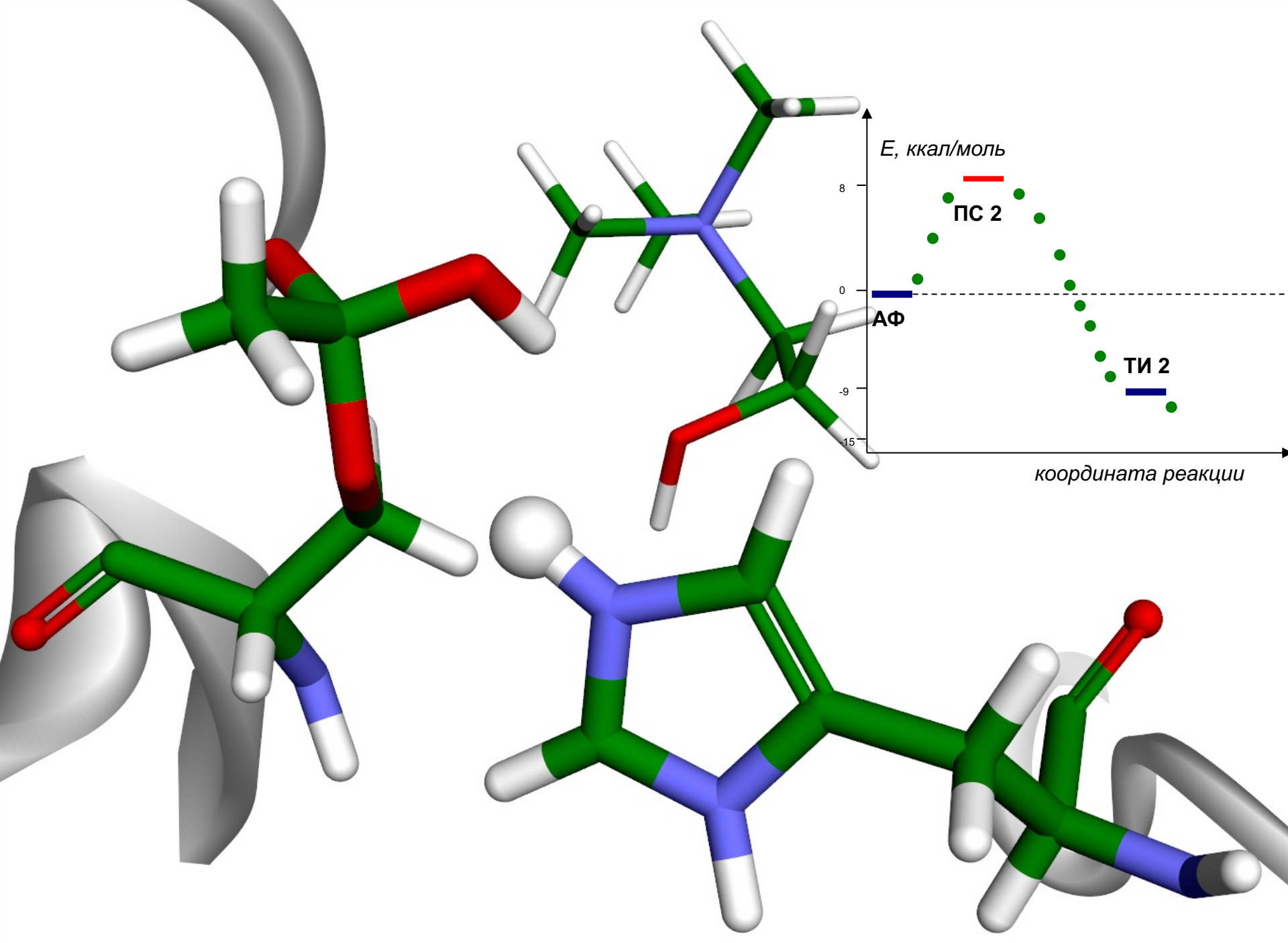


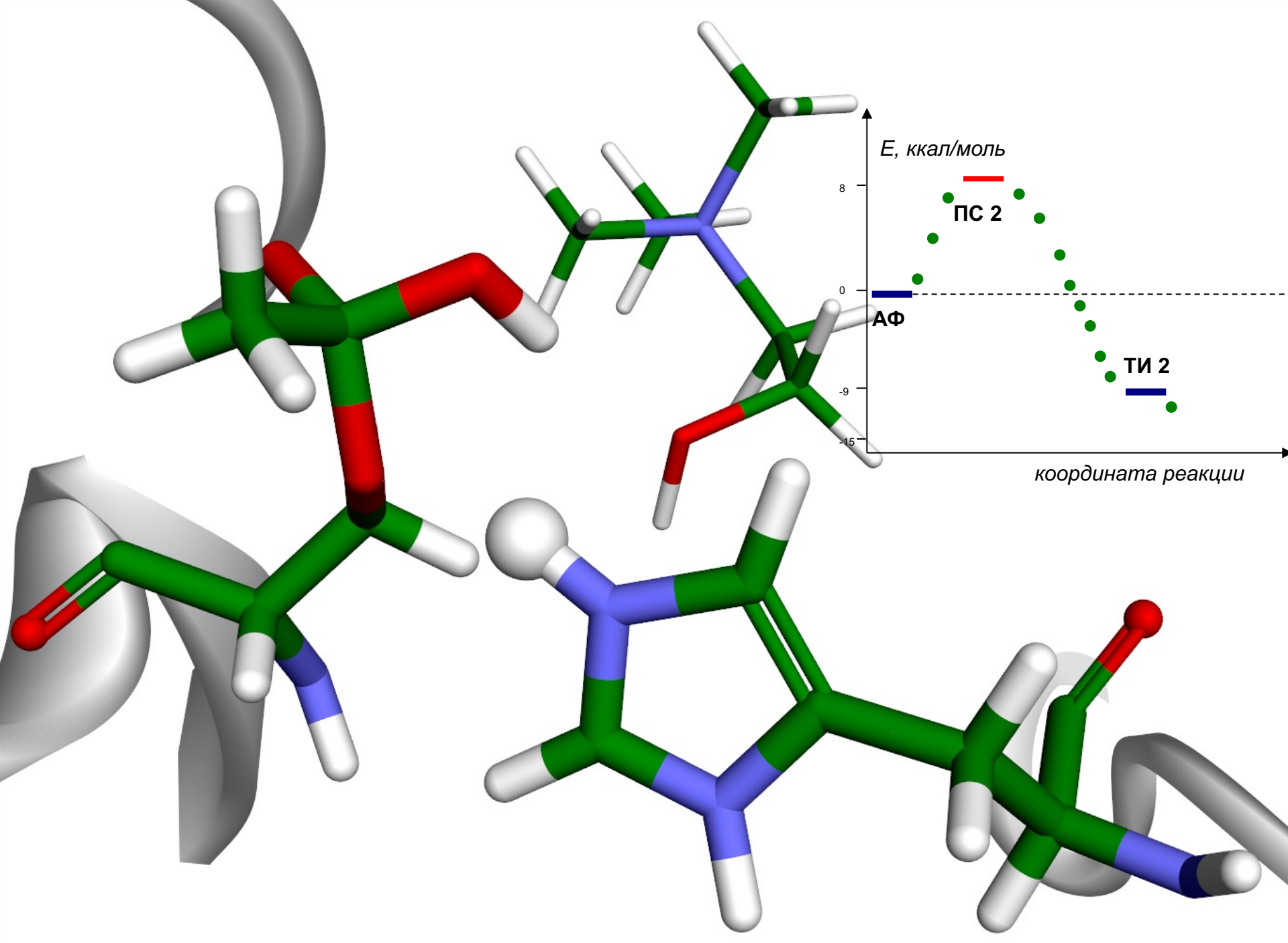


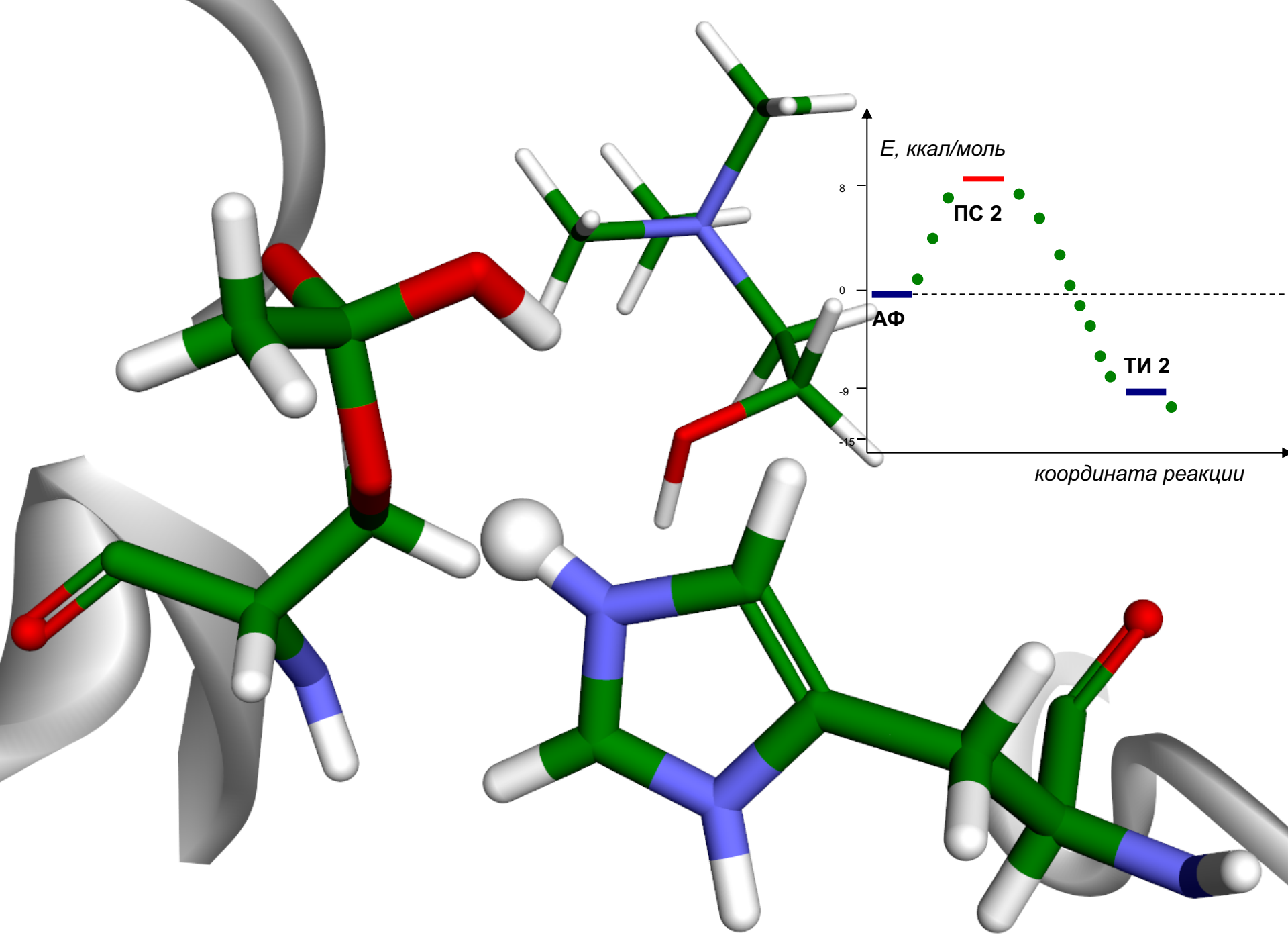


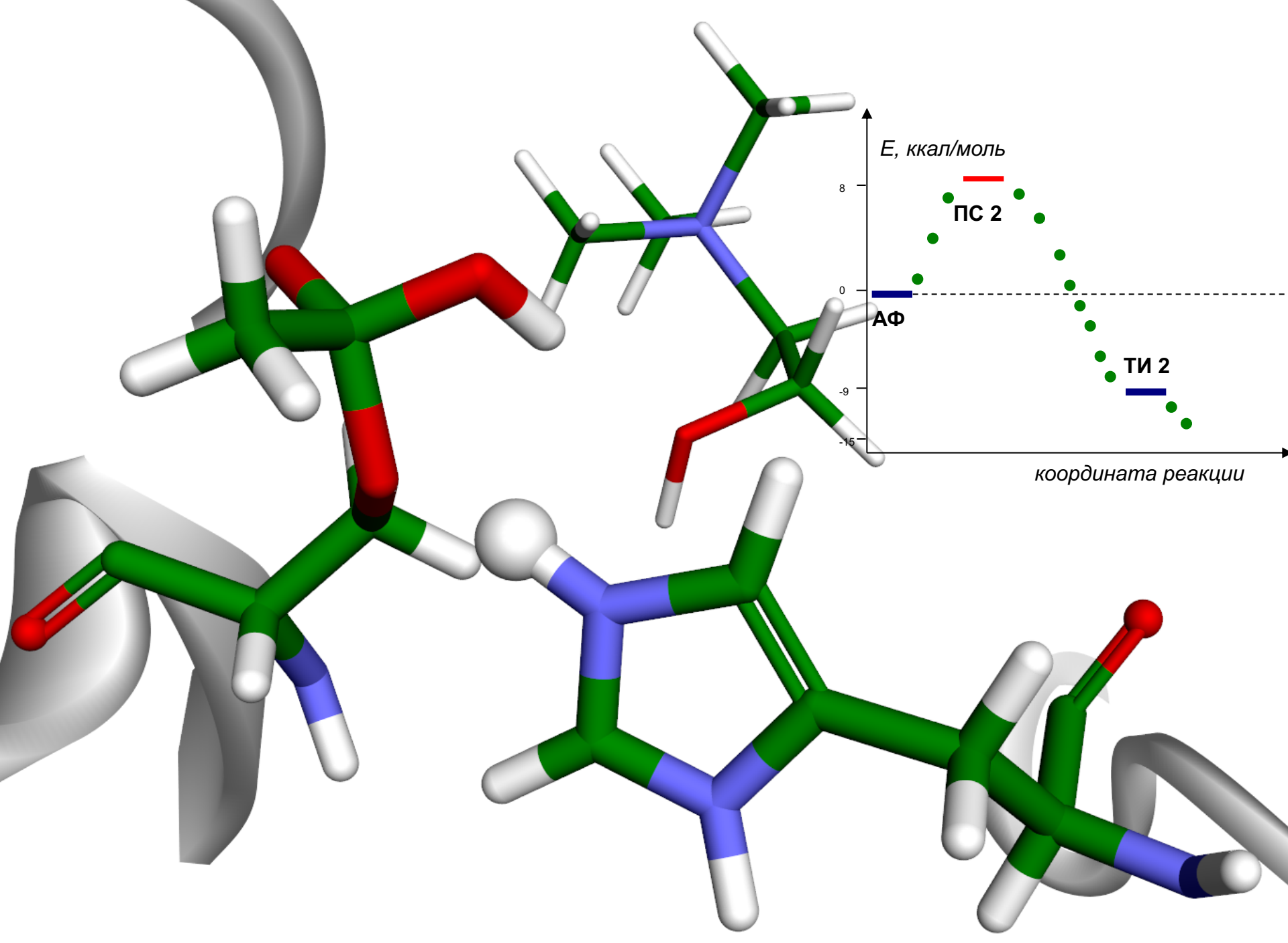


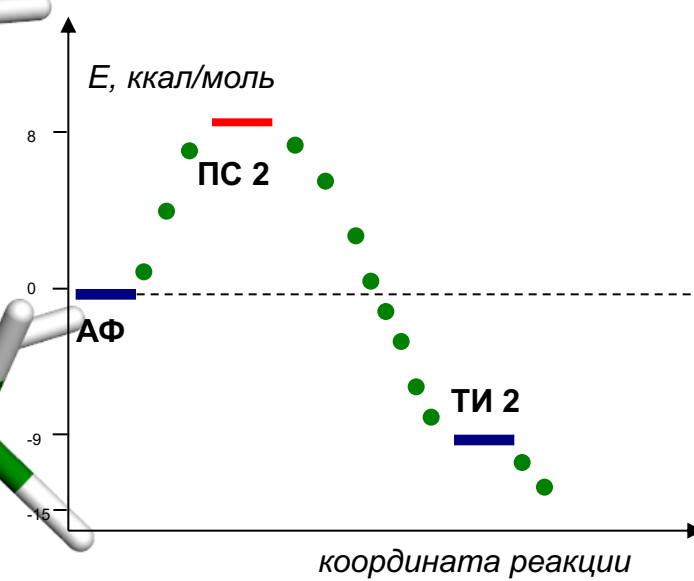
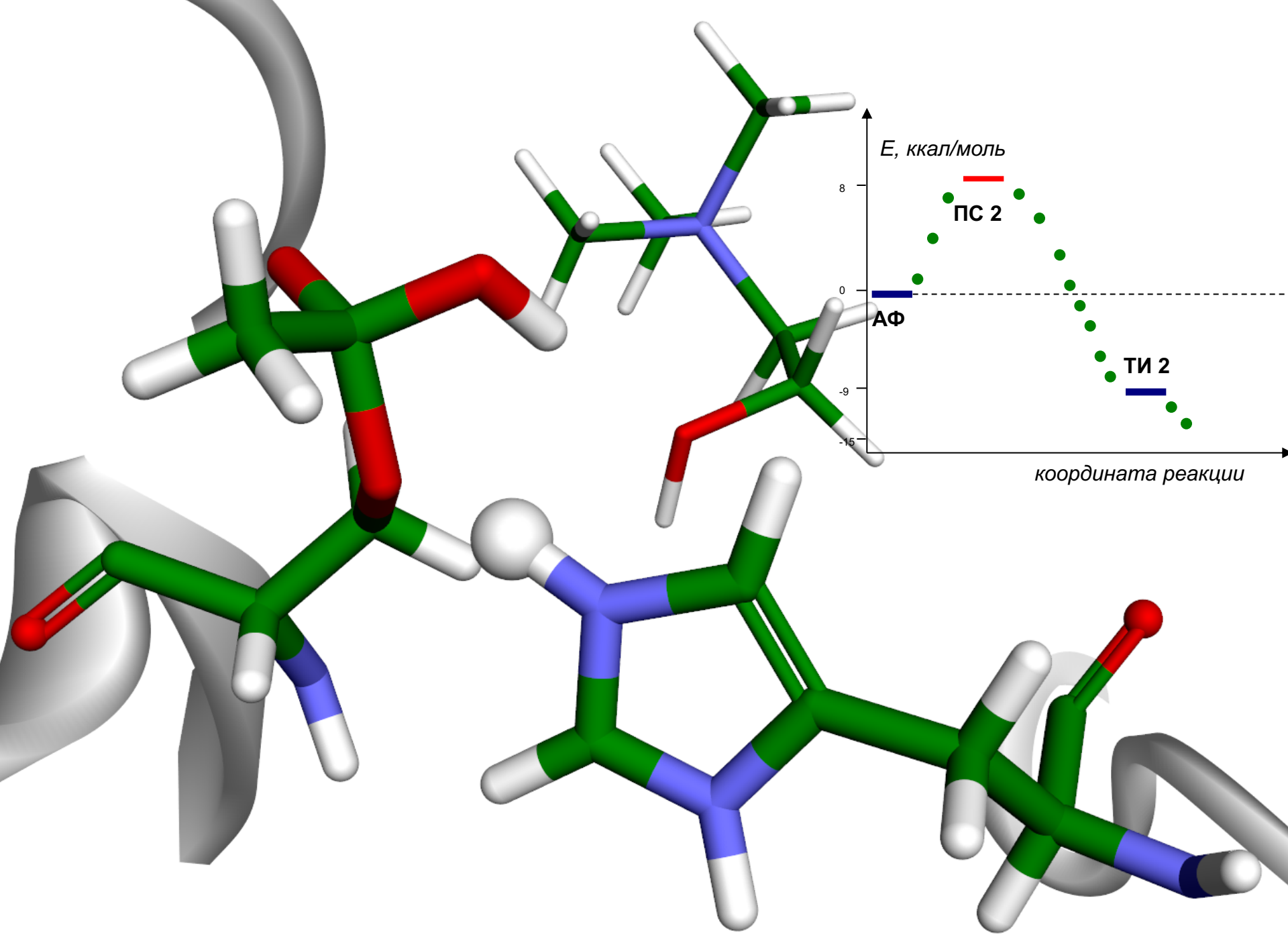


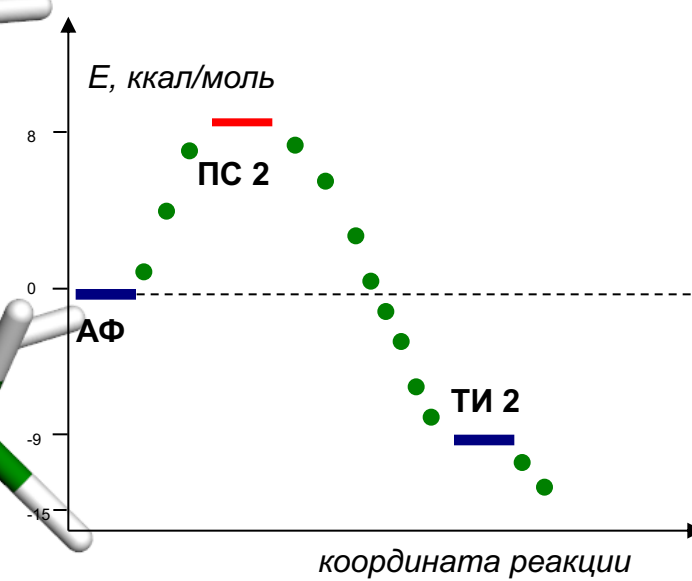
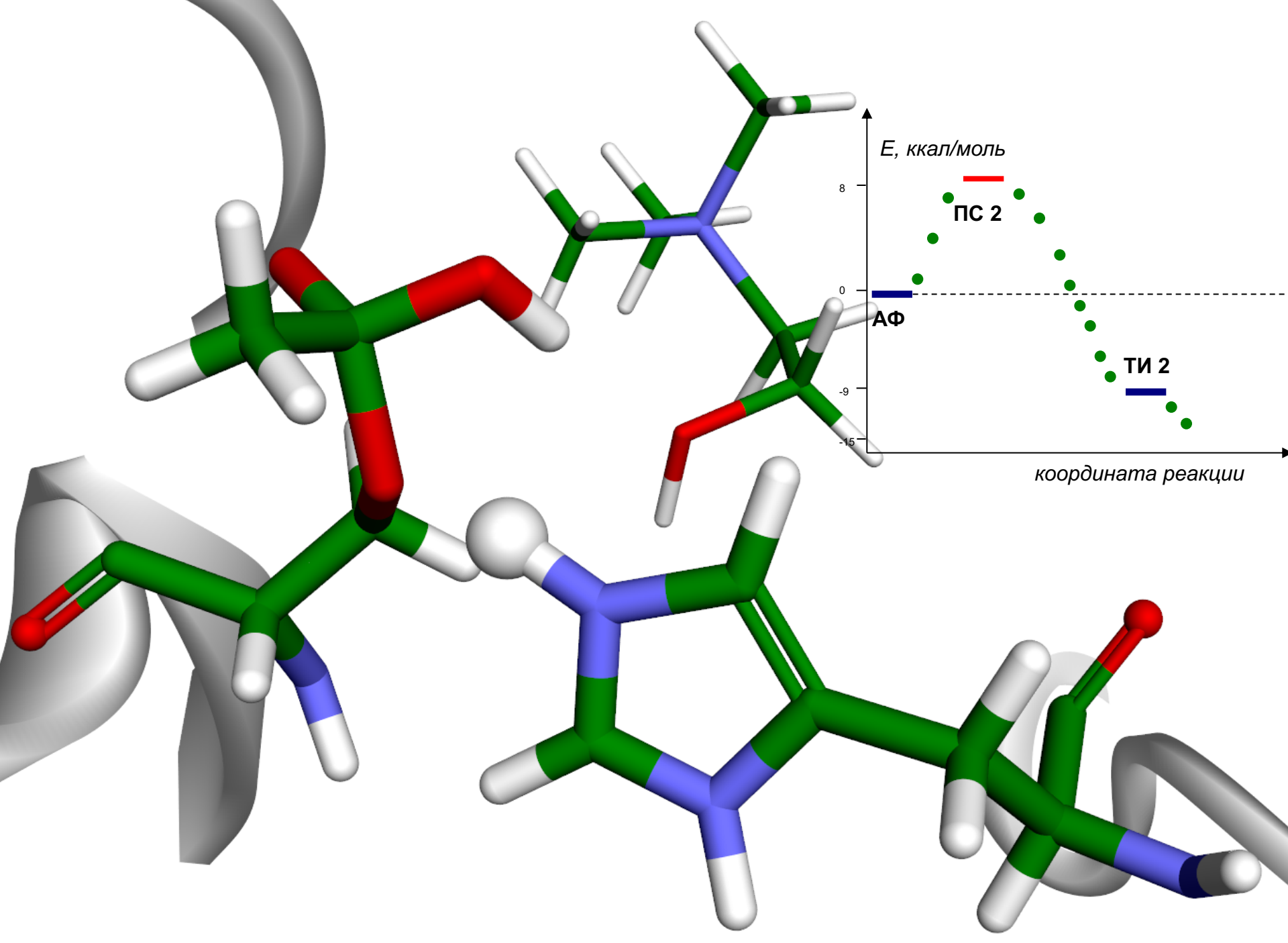


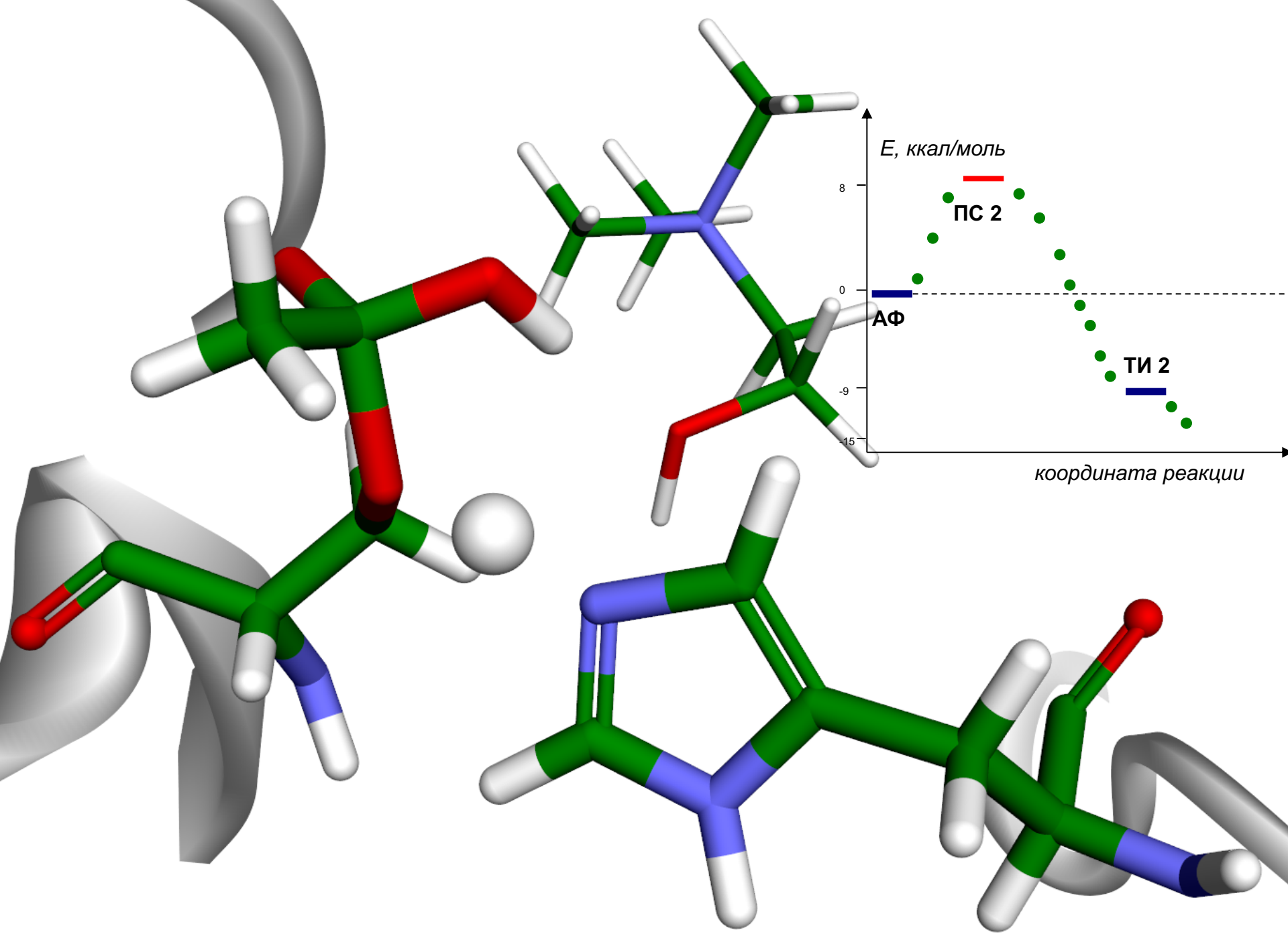


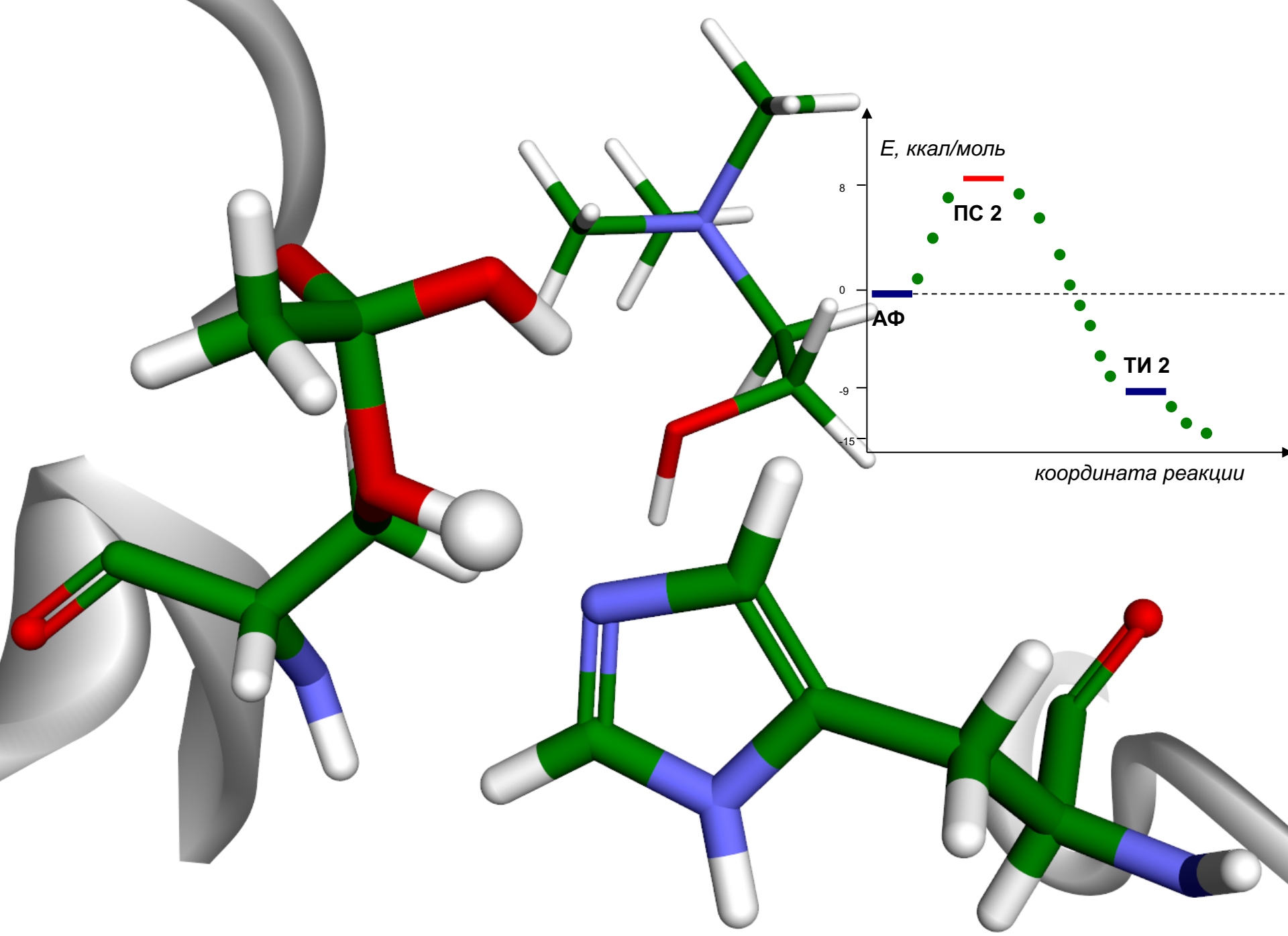












E , ккал/моль

8

0

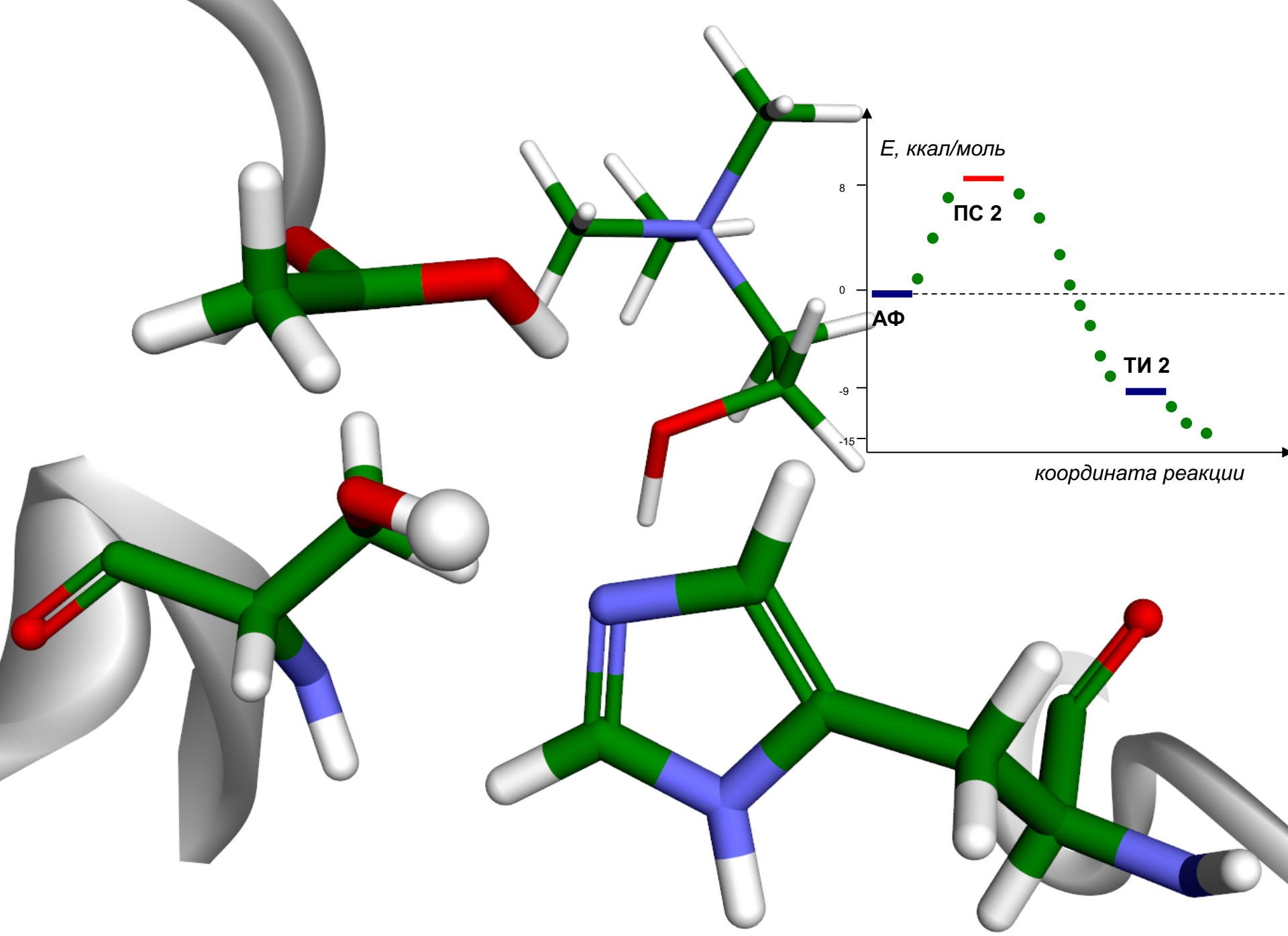
-9

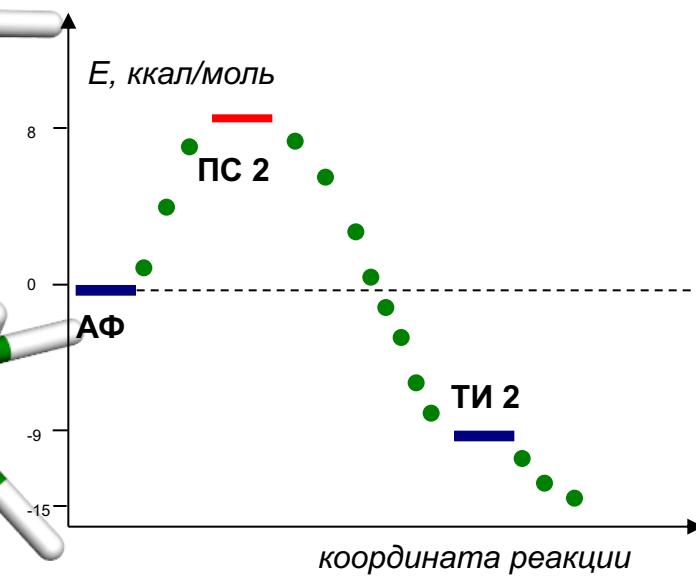
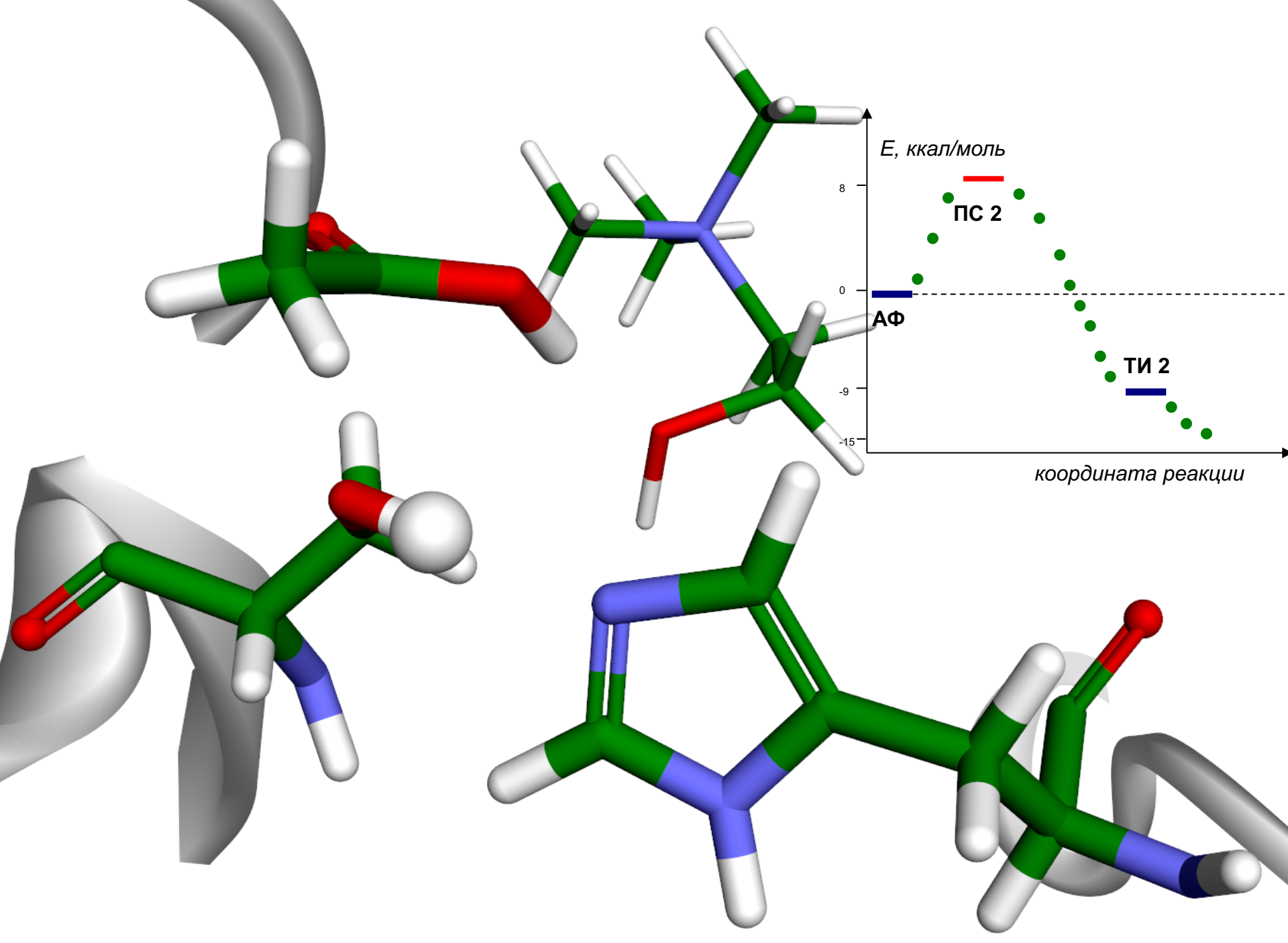
-15

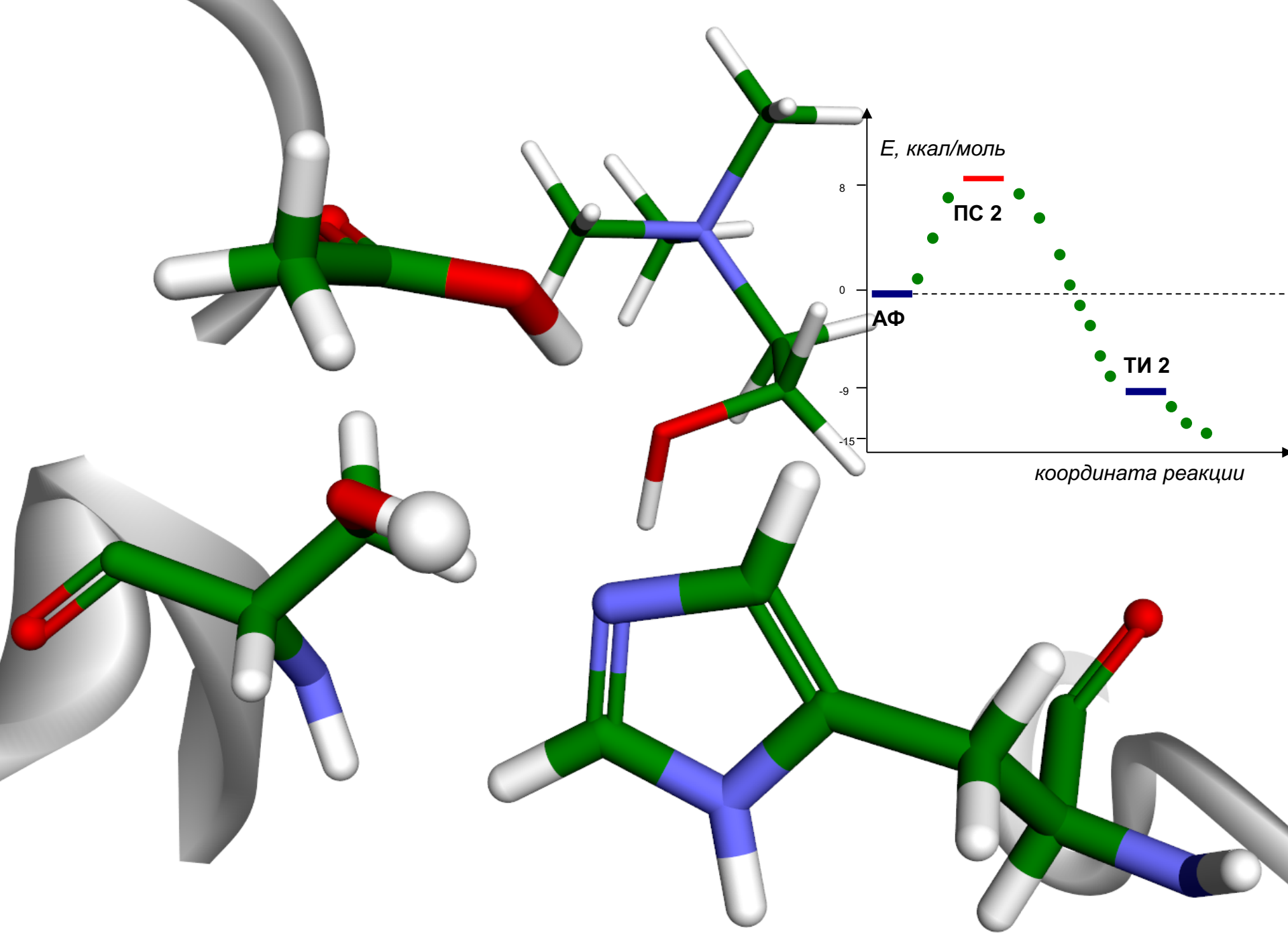
АФ

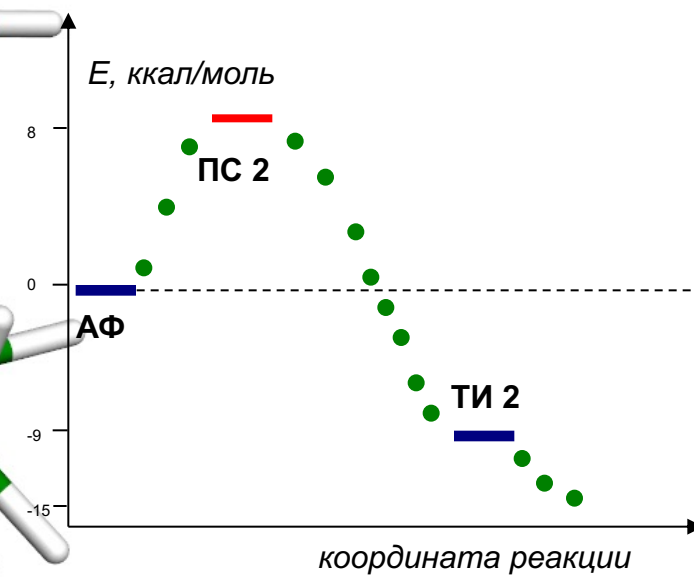
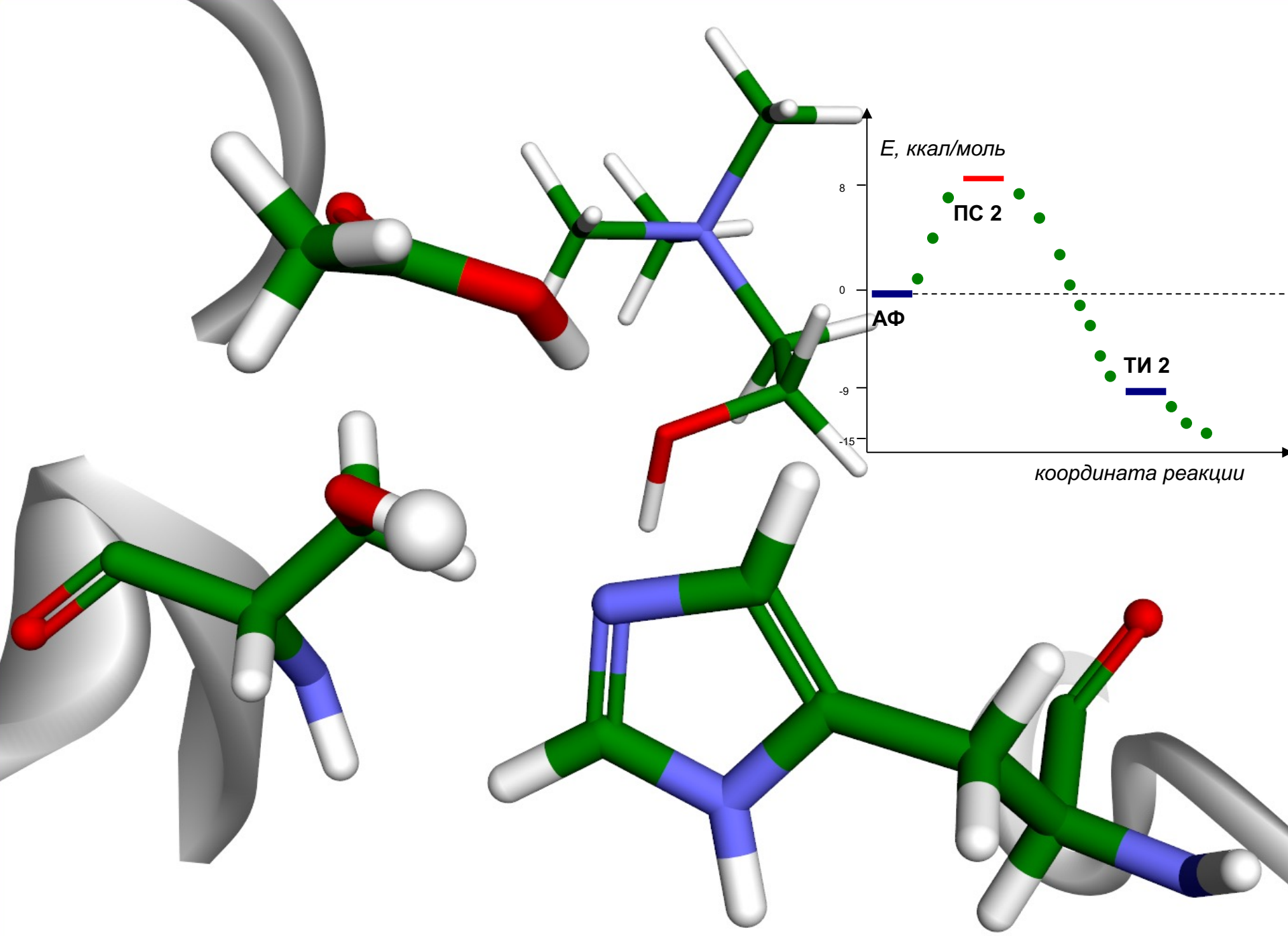
координата реакции

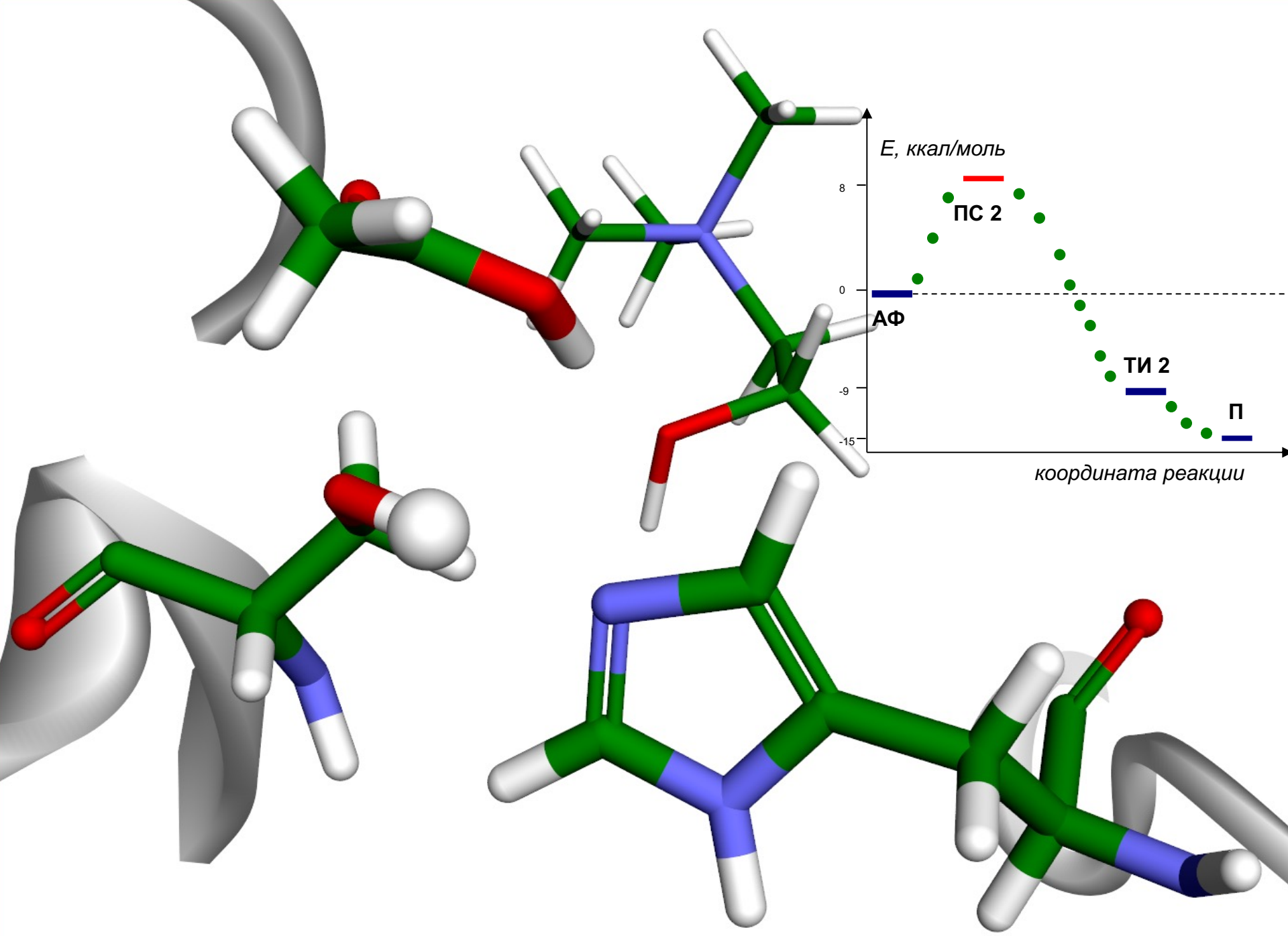
ПС 2
ТИ 2

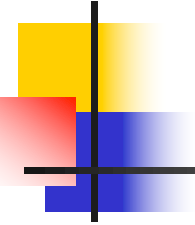






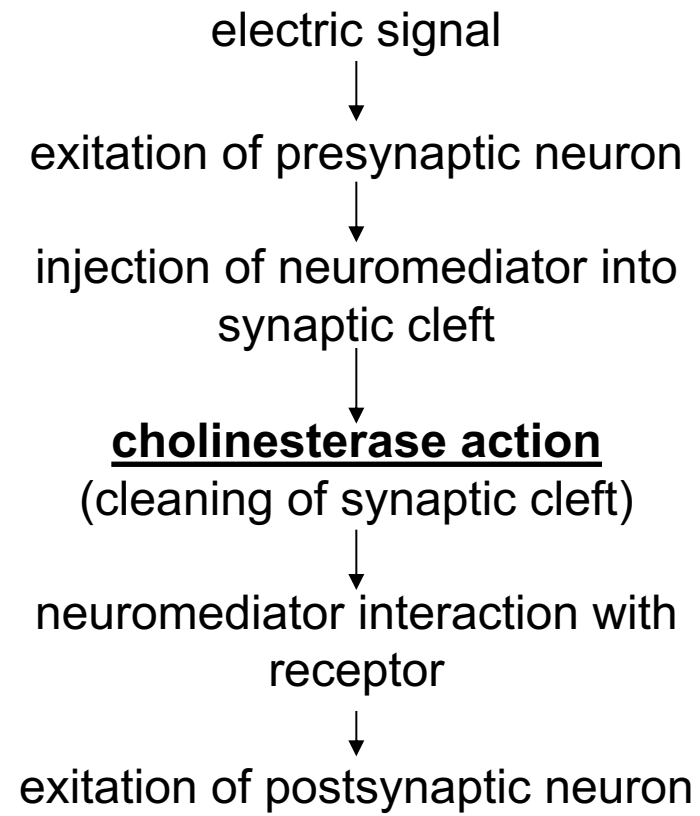
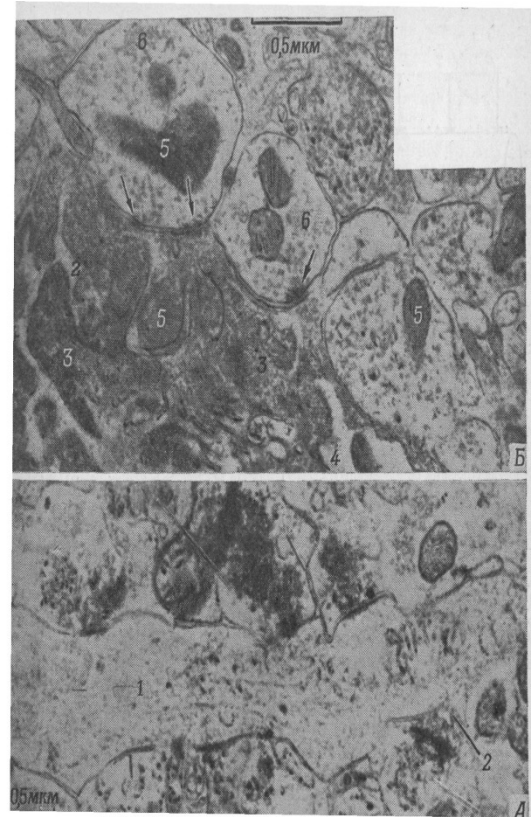
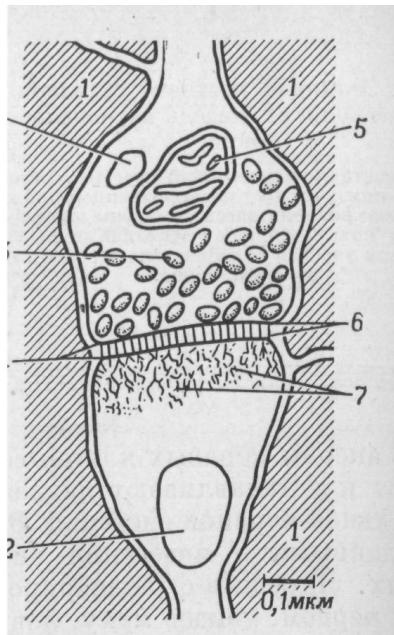




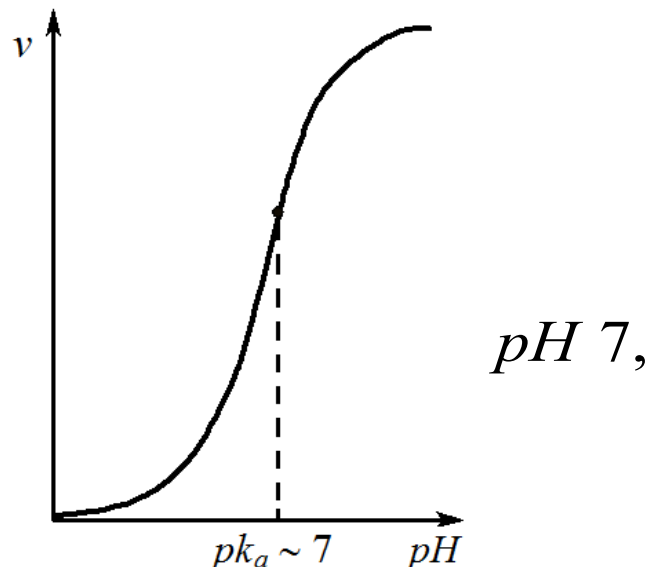
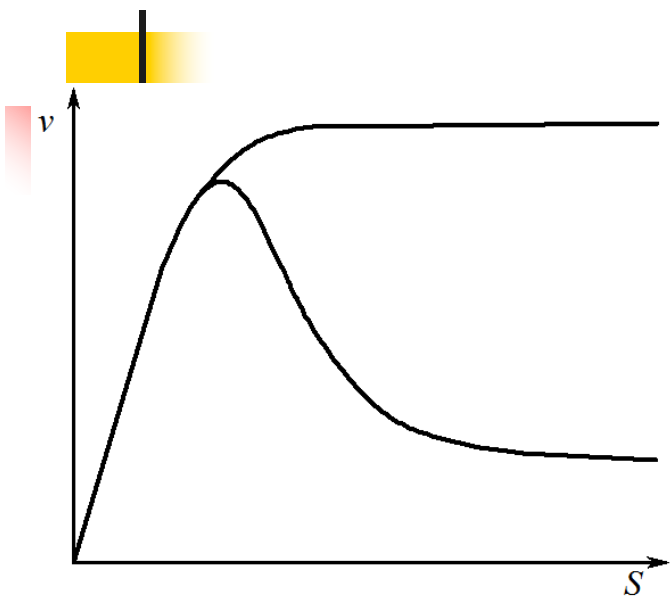


How Matter Becomes Consciousness

Synapse – “Chemical Semiconductor” in Neuronet



Protonic (H^+) mechanism of synapse conductivity fixation in memory process



$$v([S]) = \frac{V_m[S]}{K_m + [S]}$$

Kinetics of acetylcholinesterase catalysis

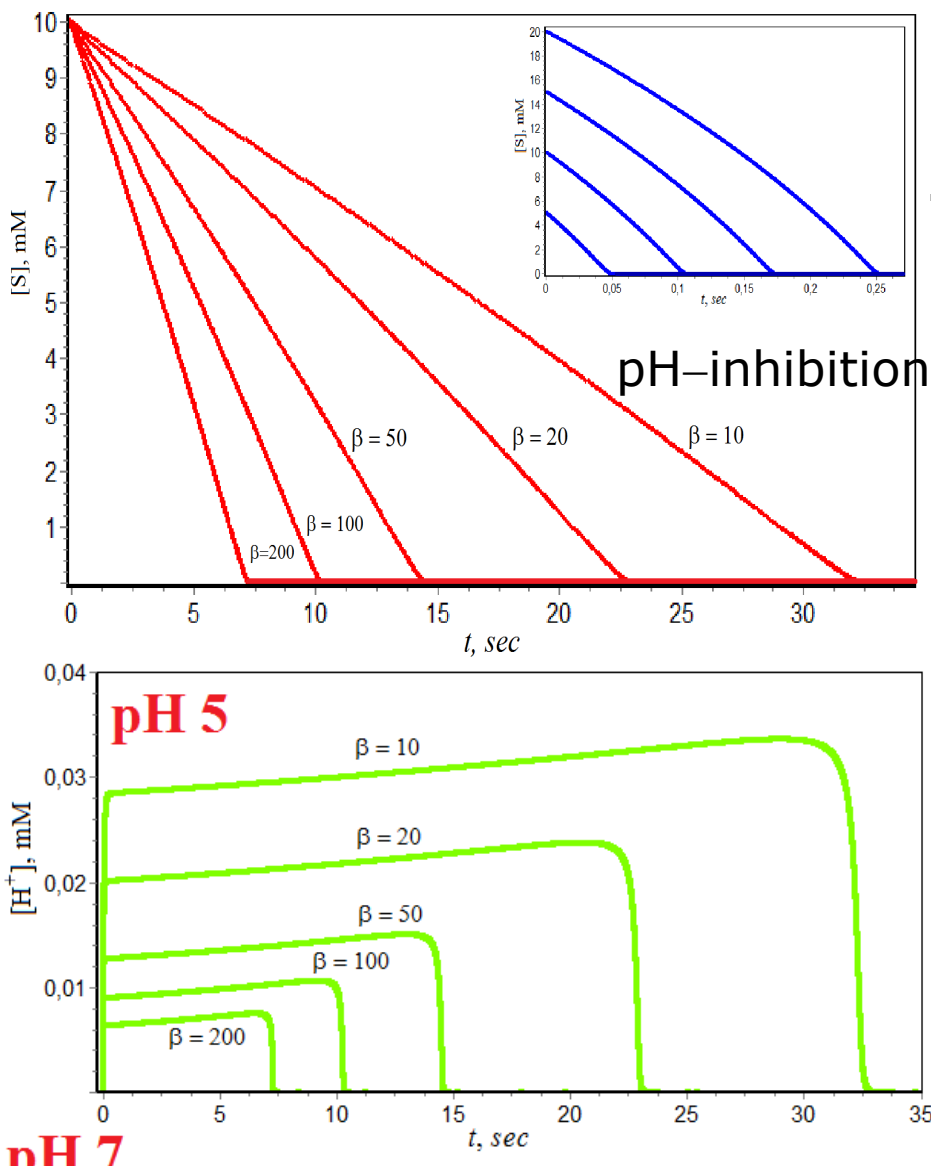
$$v([S]) = \frac{V_m[S]}{K_m + [S] + [S]^2 / K_i}$$

$$v([S]) = \frac{V_m[S]}{\left(1 + \frac{H^+}{K_a}\right) \left(K_m + [S] + [S]^2 / K_i\right)}$$

$pH\ 7,5 \rightarrow pH\ 4$

Blocking of catalytic activity

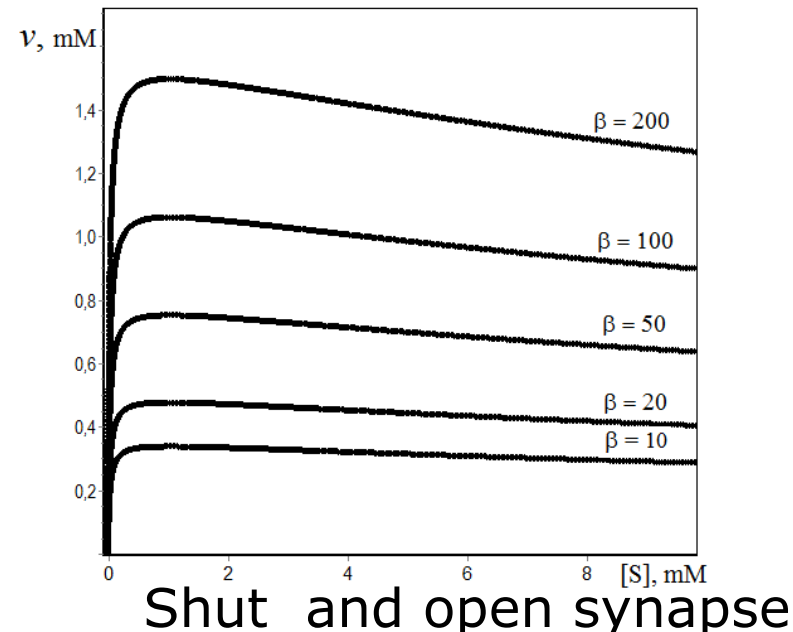
pH-jump in acetylcholinesterase memory synapse



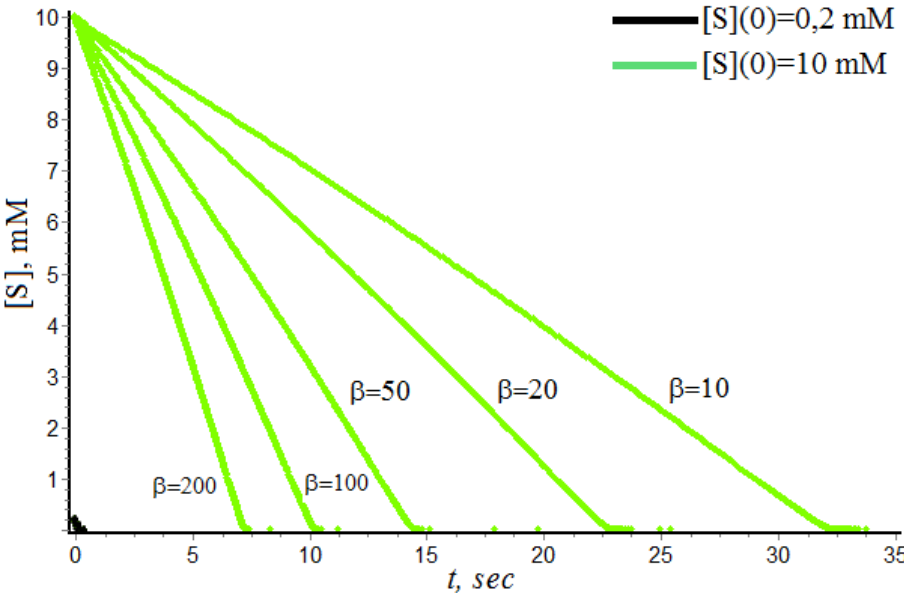
$$v([S], [H^+]) = \frac{V_m[S]}{\left(1 + \frac{[H^+]}{K_a}\right)(K_m + [S] + [S]^2/K_i)}$$

$$\frac{d[S]}{dt} = -v([S], [H^+]),$$

$$\frac{d[H^+]}{dt} = v([S], [H^+]) - \beta \cdot [H^+].$$



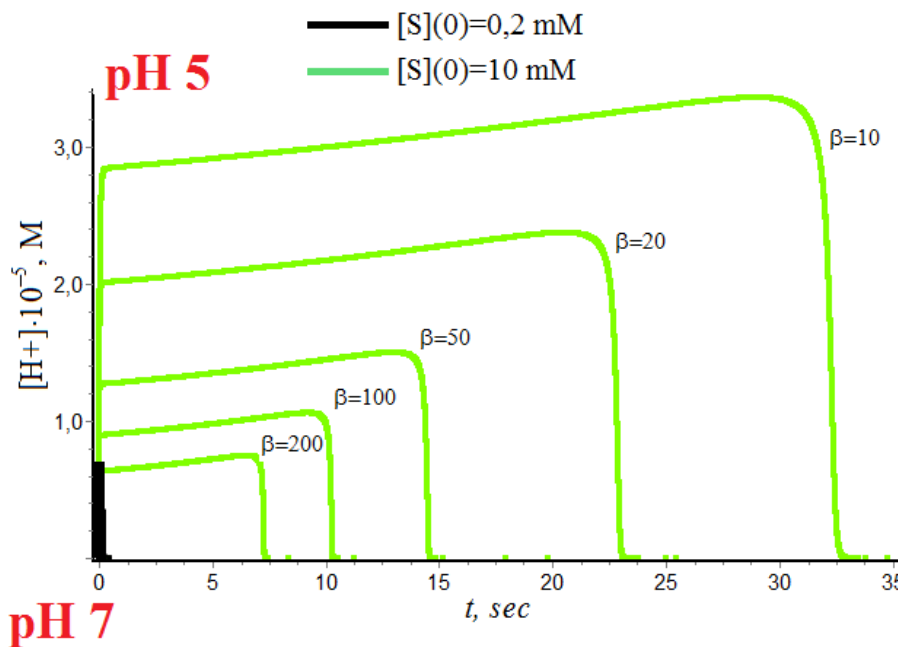
pH-jump in acetylcholinesterase memory synapse



$$v([S], [H^+]) = \frac{V_m[S]}{\left(1 + \frac{[H^+]}{K_a}\right)\left(K_m + [S] + [S]^2/K_i\right)}$$

$$\frac{d[S]}{dt} = -v([S], [H^+]),$$

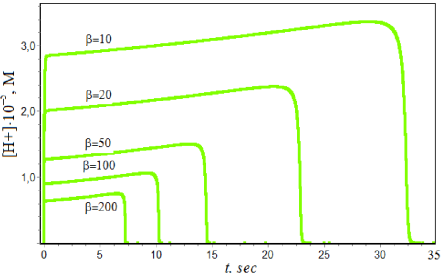
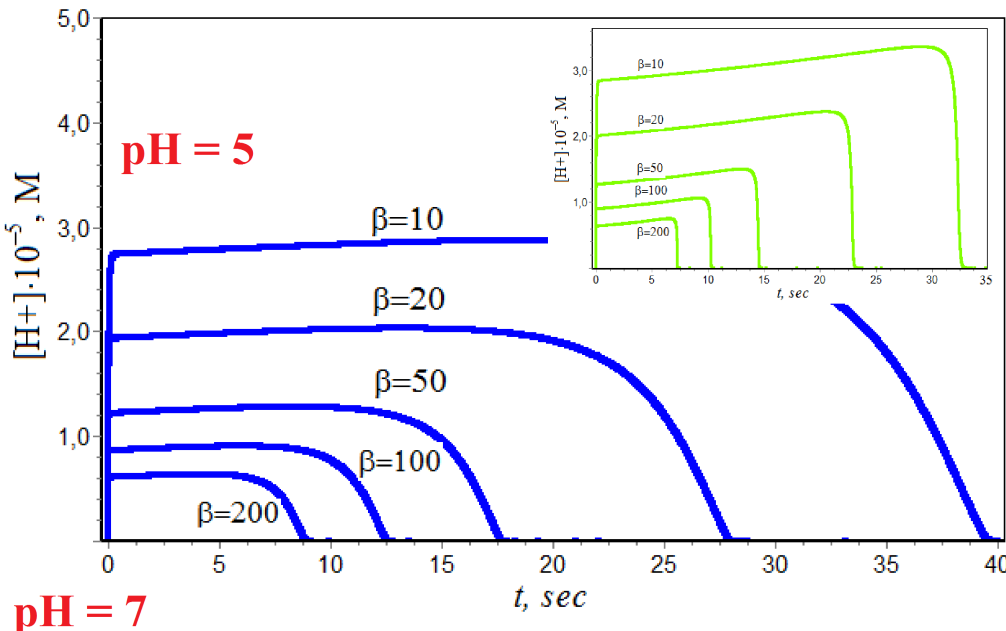
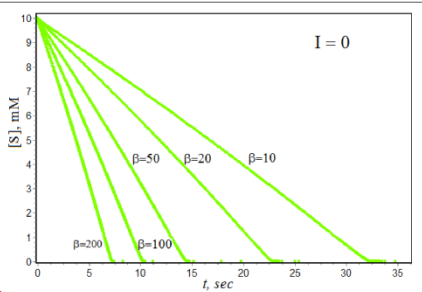
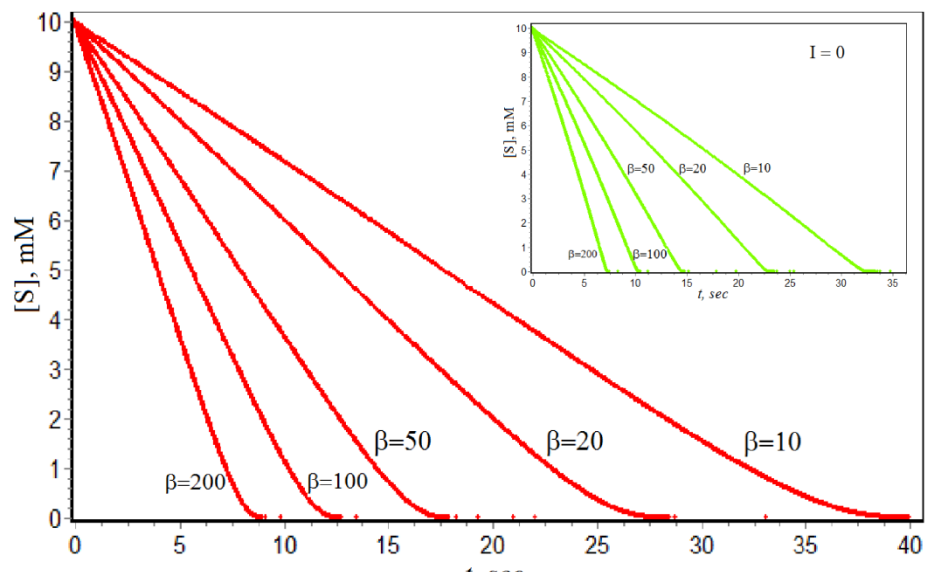
$$\frac{d[H^+]}{dt} = v([S], [H^+]) - \beta \cdot [H^+].$$



S. D. Varfolomeev, V.I. Bykov,
S.B. Tsybenova

Rivastigmine prolongs acetylcholine in synaptic cleft

$$v([S], [H^+]) = \frac{V_m[S]}{\left(1 + \frac{[H^+]}{K_a}\right) \cdot \left(K_m \left(1 + \frac{I}{K_I}\right) + [S] + [S]^2 / K_i\right)}$$



S. D. Varfolomeev, V.I. Bykov,
S.B. Tsybenova

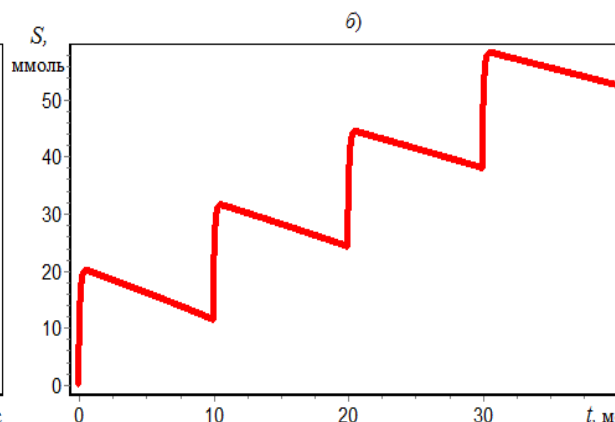
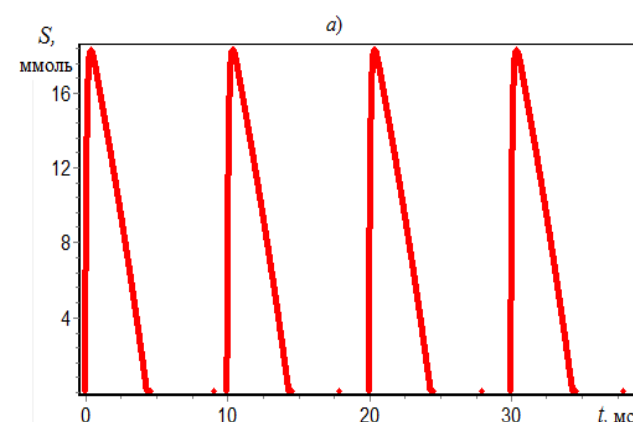
Nerve agents and antidotes



The cholinergic synapse.
Mechanisms of functioning
and control methods

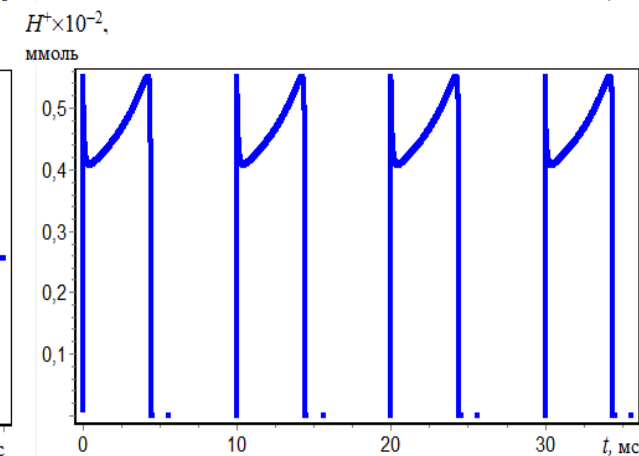
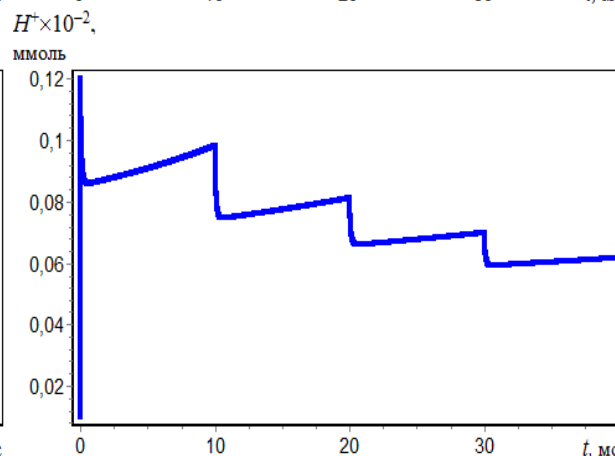
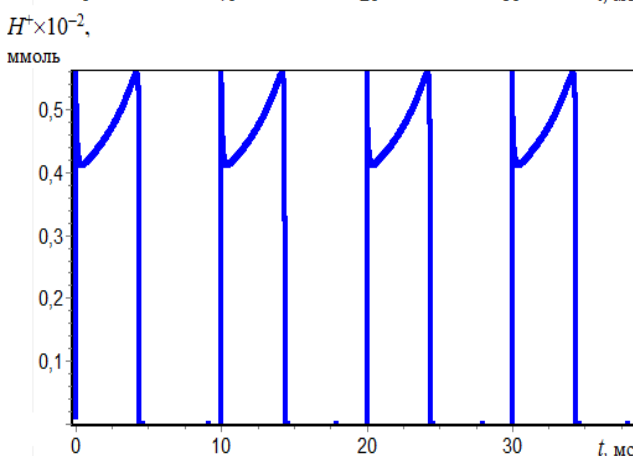
(sarin, soman, VX, pesticides)

$$E(t) = E_0 e^{-t/\tau_{in}},$$

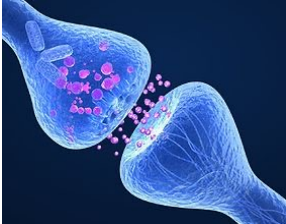


(atropine, oximes)

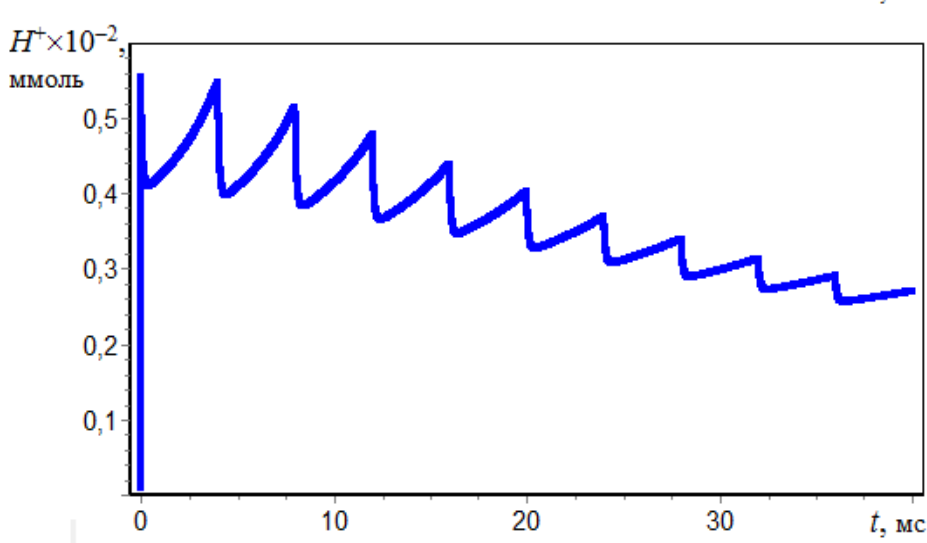
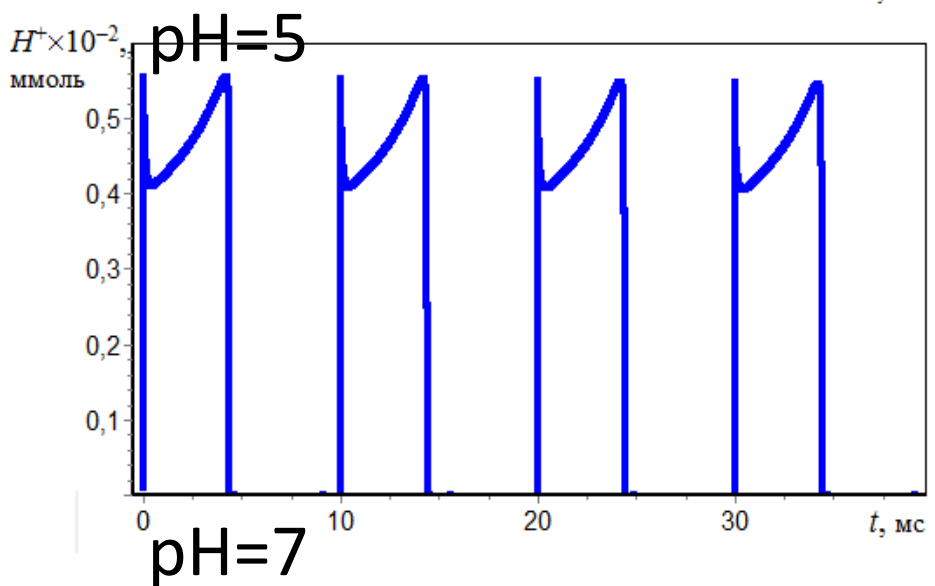
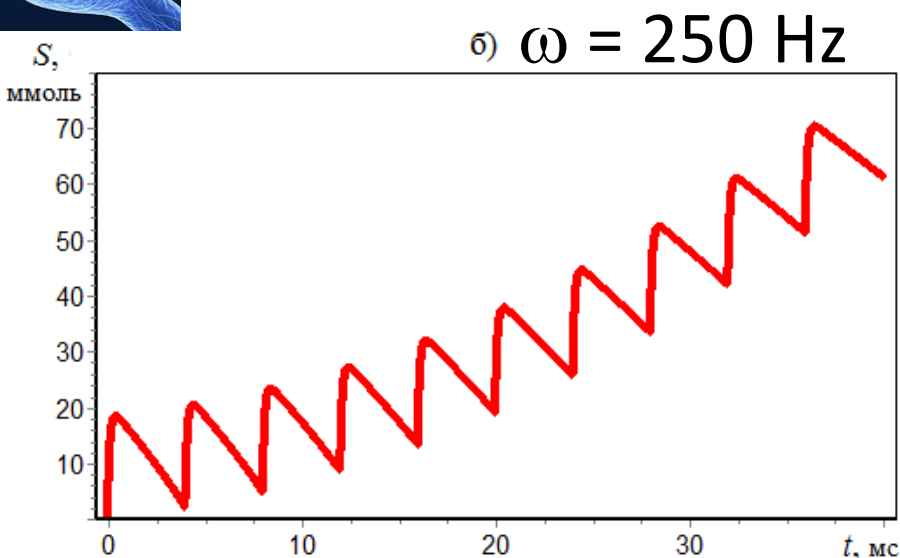
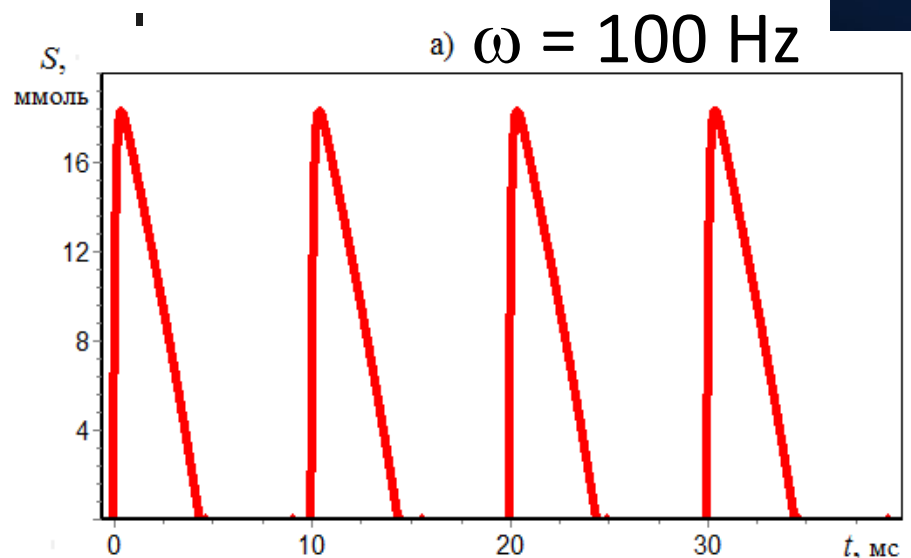
$$E(t) = E_0 (1 - e^{-t/\tau_r}),$$

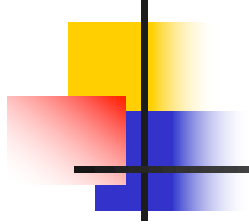


STROKE. Neuromuscular paralysis



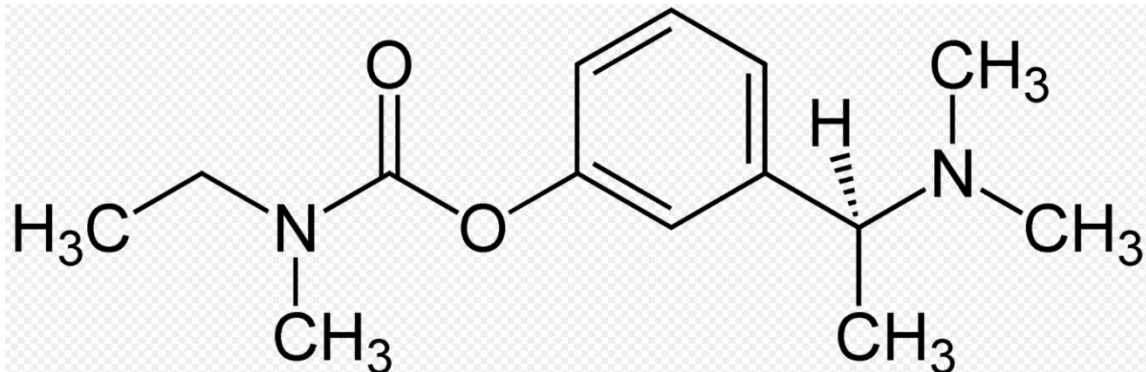
The cholinergic synapse.
Mechanisms of functioning
and control methods





Alzheimer disease

Substrates-inhibitors – drugs against Alzheimer disease



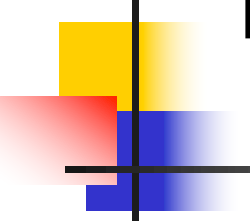
Inhibition of acetylcholine esterase

Increasing of acetylcholine level

Increasing of cognitive ability

Nature of neurological memory

Neuron-Synaps System Theory



Synaps-

“chemical semiconductor”,

shut or open state

Real volume of memory

$I=10 \exp 9$ bites

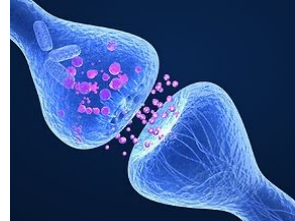
Volume of memory

$I=\log N$, N-number of possible states of system, m-number of neurons , n-number of synapses per neuron

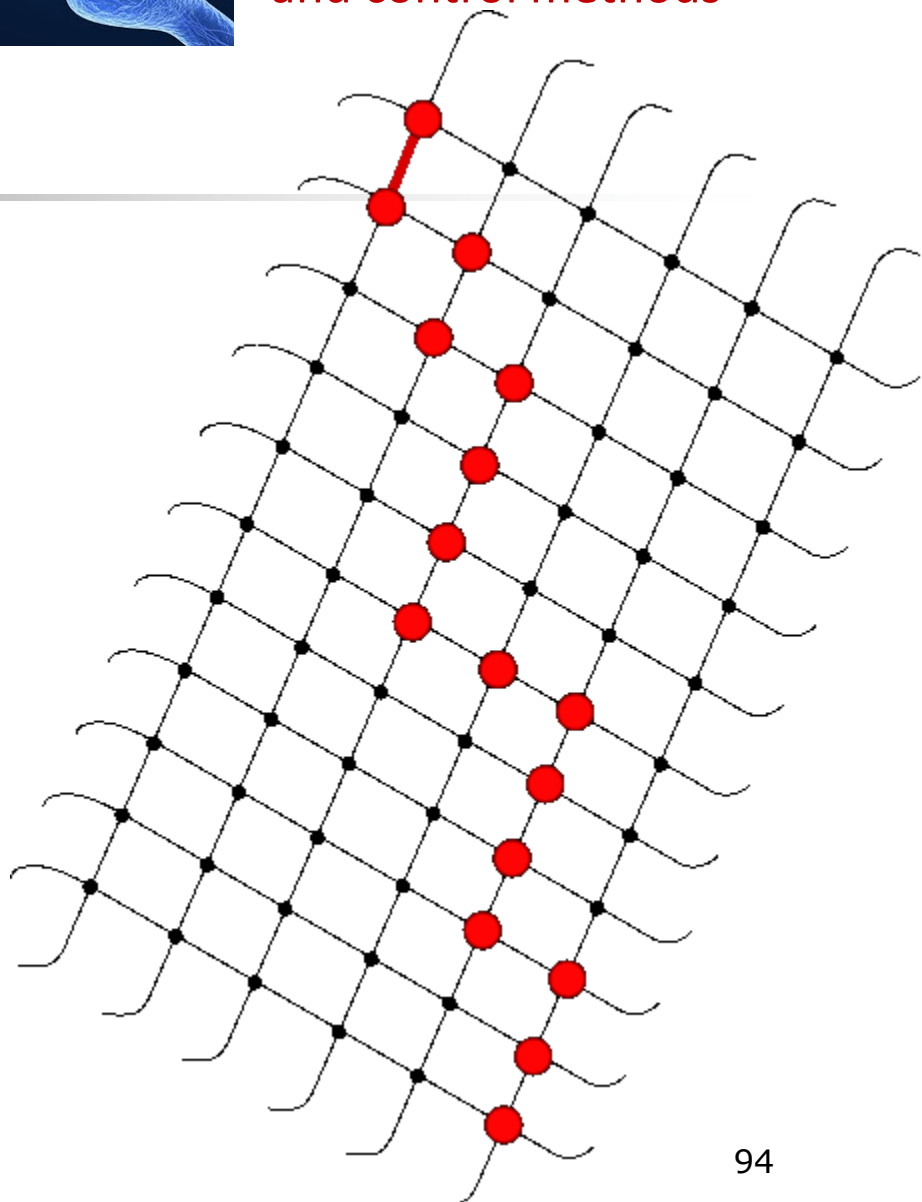
$I=\log n \exp m =10\exp 10$ bites

Memory reflex in the brain – three dimension “tree” of connected shut and open synapses ,the way of memory signal transfer,the “tree” of excited neurons

Neurological memory. Proton mechanism of information recording and storage



The cholinergic synapse.
Mechanisms of functioning
and control methods



Neurological memory

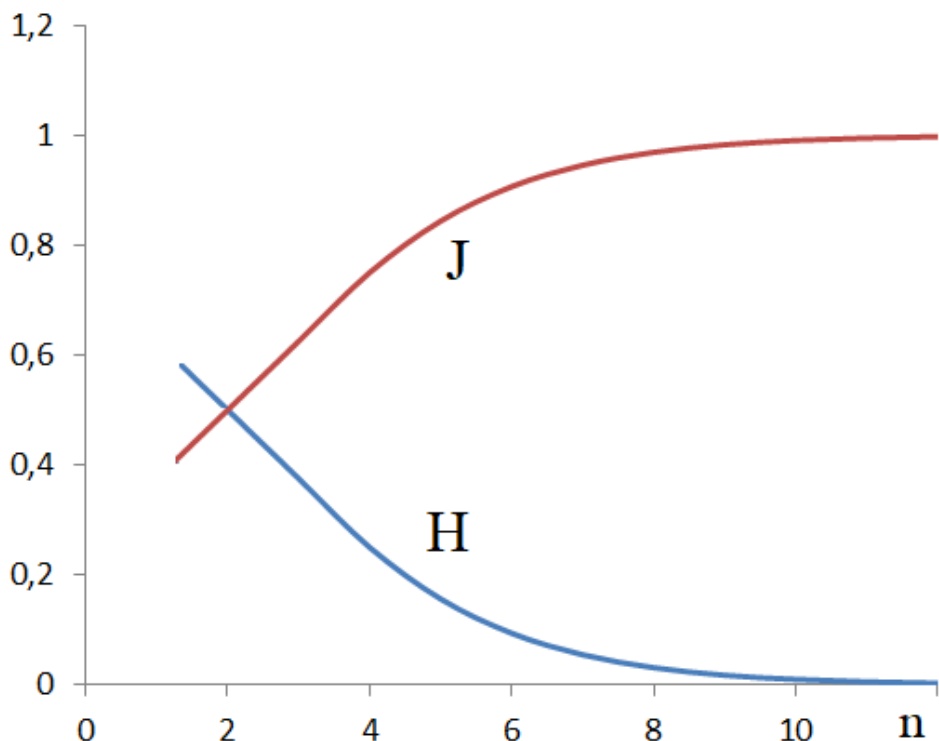
$X_1^1 X_2^0 X_3^0 X_4^1 \dots$

X_i^1 – signal conducting synapse (proton-blocking of acetylcholinesterase in the synaptic cleft)

X_j^0 – signal non-conductive synapse (active aceticholinesterase in the synaptic cleft)

Neurological memory

Volumes of information recording:
the capabilities of signal conducting synaptic
circuits of different lengths(n)

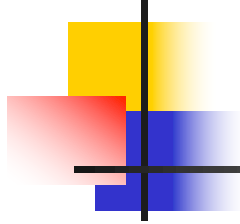


To record 1 bit of information, it is enough a signal conducting synaptic circuit with a length of 8-10 synapses



Consciousness:

sensory signals – sensory information
processing – neuromemory – learning
– cognitive functions – idea generation



Система глутаматных
синапсов-молекулярная основа
возбуждения,процессинга
информации,участник всех
нейропатологий

Глутамат–NAAG синапс

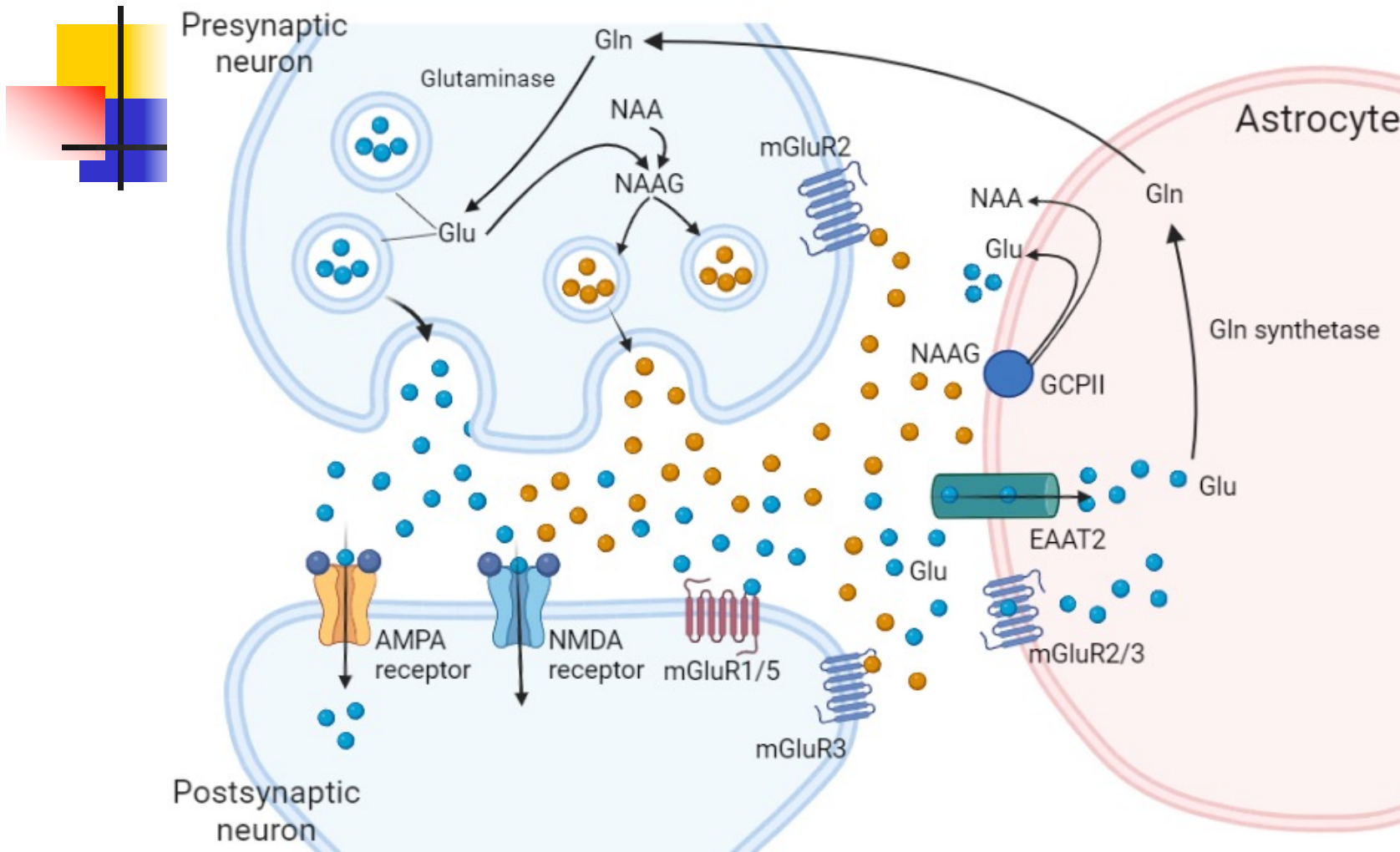


Схема функционирования глутамат-астроцитарной системы

Кинетическая модель

$$\frac{dGlu}{dt} = \left(a_1(Glu_0) \cdot e^{-\alpha_1 t} - \beta \cdot Glu + \frac{V_m NAAG}{K_m + NAAG} + \chi_1 \cdot D \right) \cdot N. \quad (1)$$

$$\frac{dNAAG}{dt} = a_2(NAAG_0) \cdot e^{-\alpha_2 t} - \delta NAAG - \frac{V_m NAAG}{K_m + NAAG} + \omega \cdot Glu. \quad (2)$$

$$\frac{dD}{dt} = \xi \frac{R_2 NAAG}{K_2 + NAAG} - \lambda D. \quad (3)$$

$$N = \varphi Glu + \chi_2 NAAG. \quad (4)$$

$$\frac{dNAA}{dt} = v + \frac{V_m NAAG}{K_m + NAAG} - \frac{V_{ma} (NAA)^3}{K_{ma} + (NAA)^4} - \rho \cdot NAA; \quad (5)$$

Glu – концентрация глутаминовой кислоты, NAAG – концентрация нейротрансмиттера NAAG, NAA - концентрация N-ацетиласпарагиновой кислоты, D – концентрация продуктов функционирования метаботропных рецепторов, N – число возбужденных (проводящих сигнал) нейронов

Двухфазный характер ответа, система амplификации возбуждения

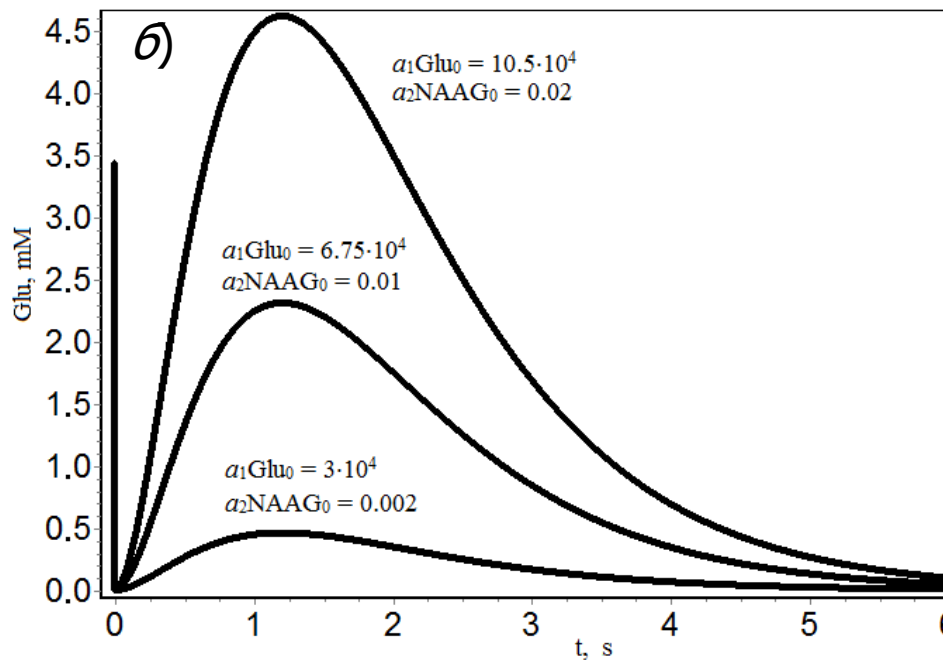
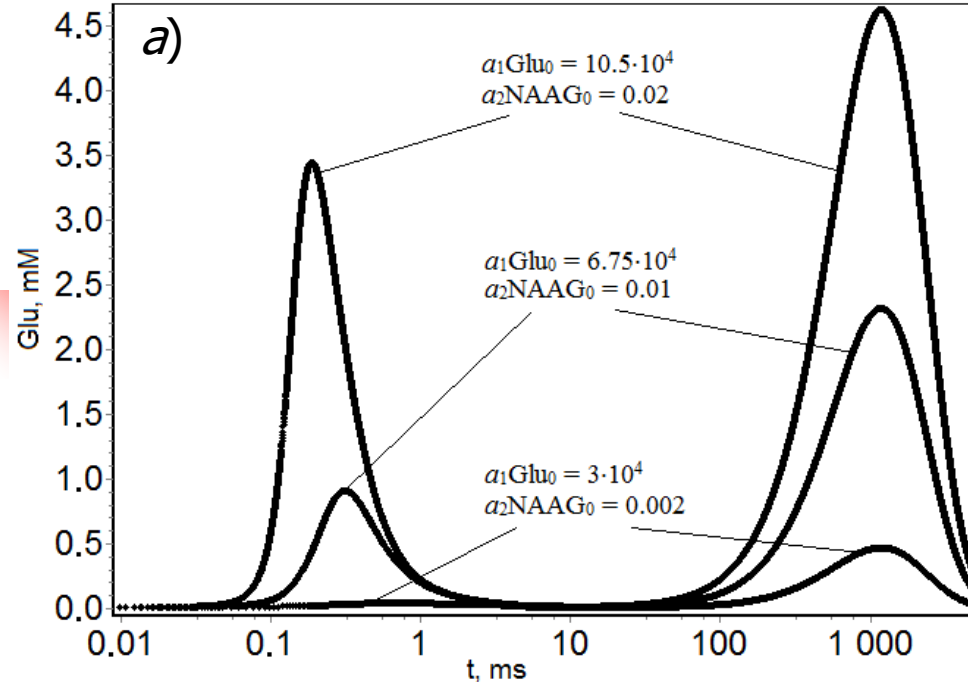
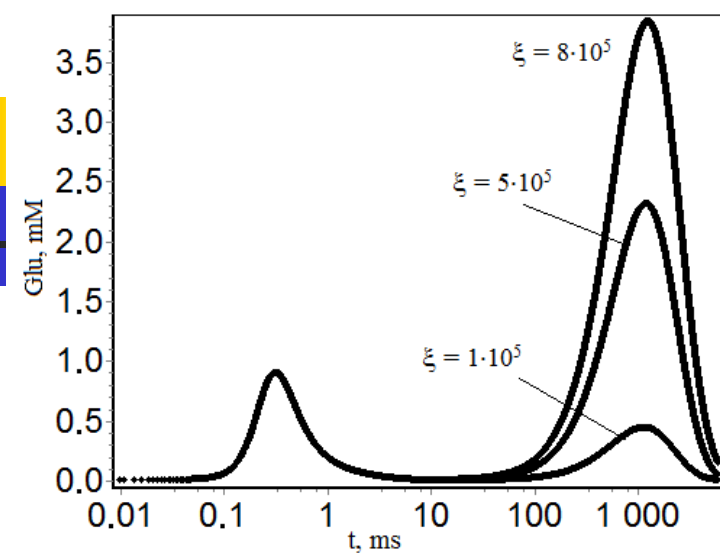


Рис.2. Двухфазный характер функционирования глутаматергической нейронально-астроцитарной системы (1)–(5).

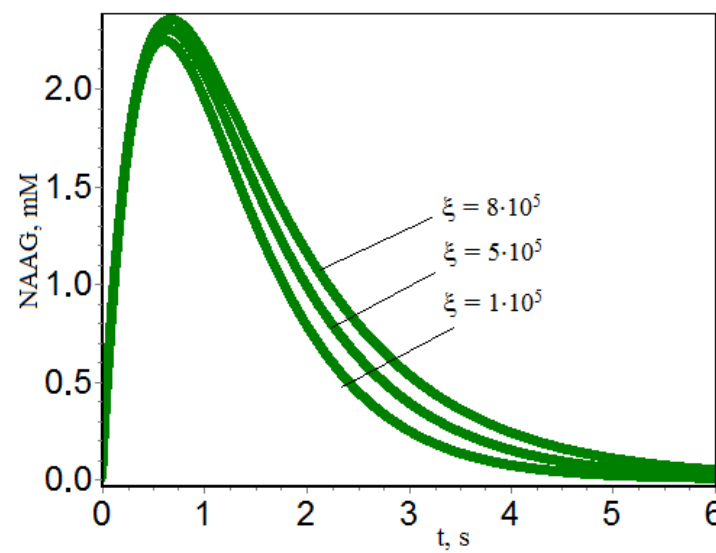
- а)* – логарифмическая шкала в миллисекундах
- б)* – арифметическая шкала в секундах

Механизмы управления когнитивностью

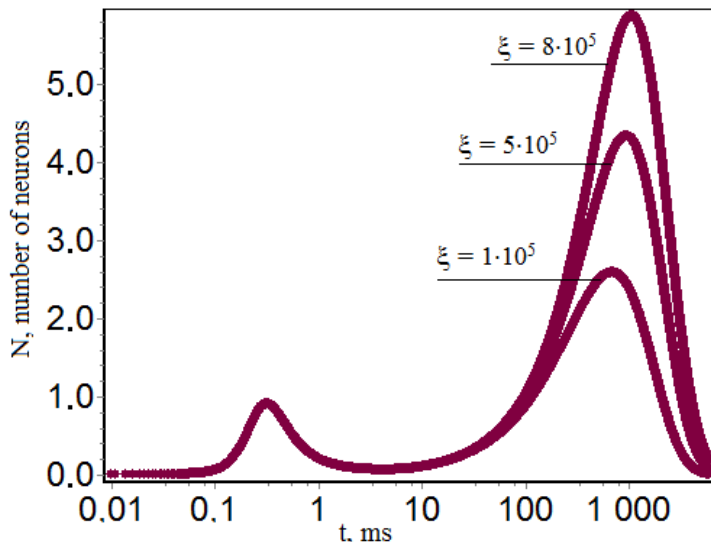
A



B



C



D

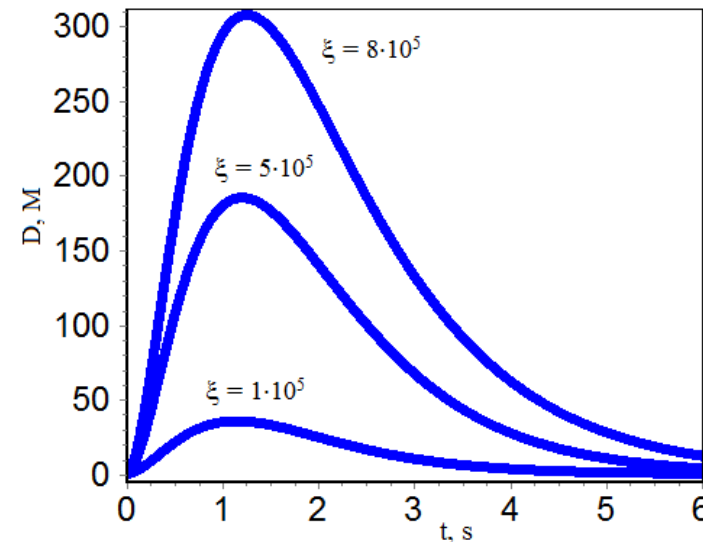


Рис. 3. Динамический ответ системы по Glu (A), NAAG (B), D (D) и числа возбужденных клеток N (C) при вариации параметра ξ , характеризующего эффективность действия метаботропного рецептора mGluR3.

Управление процессом гидролиза NAAG

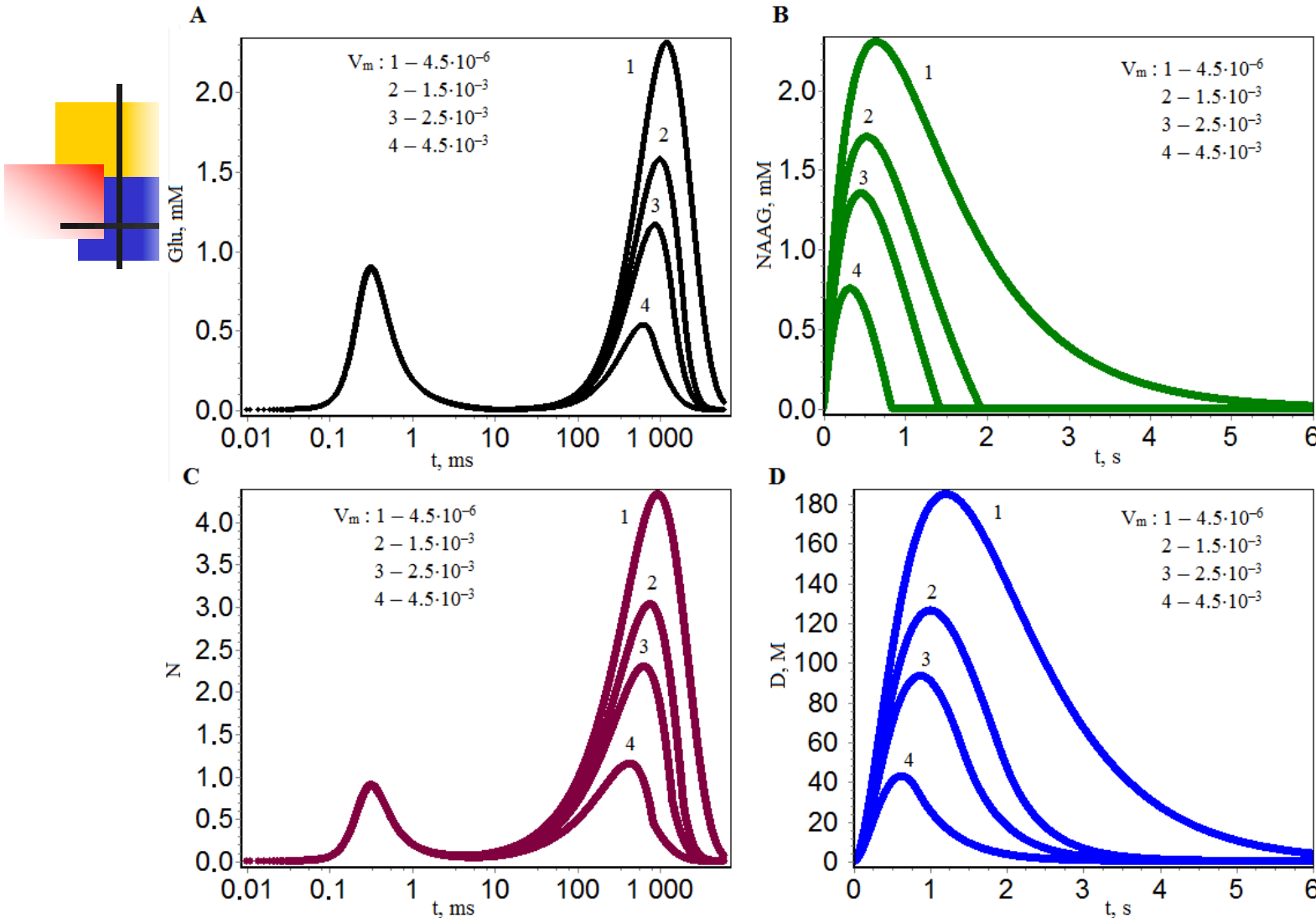
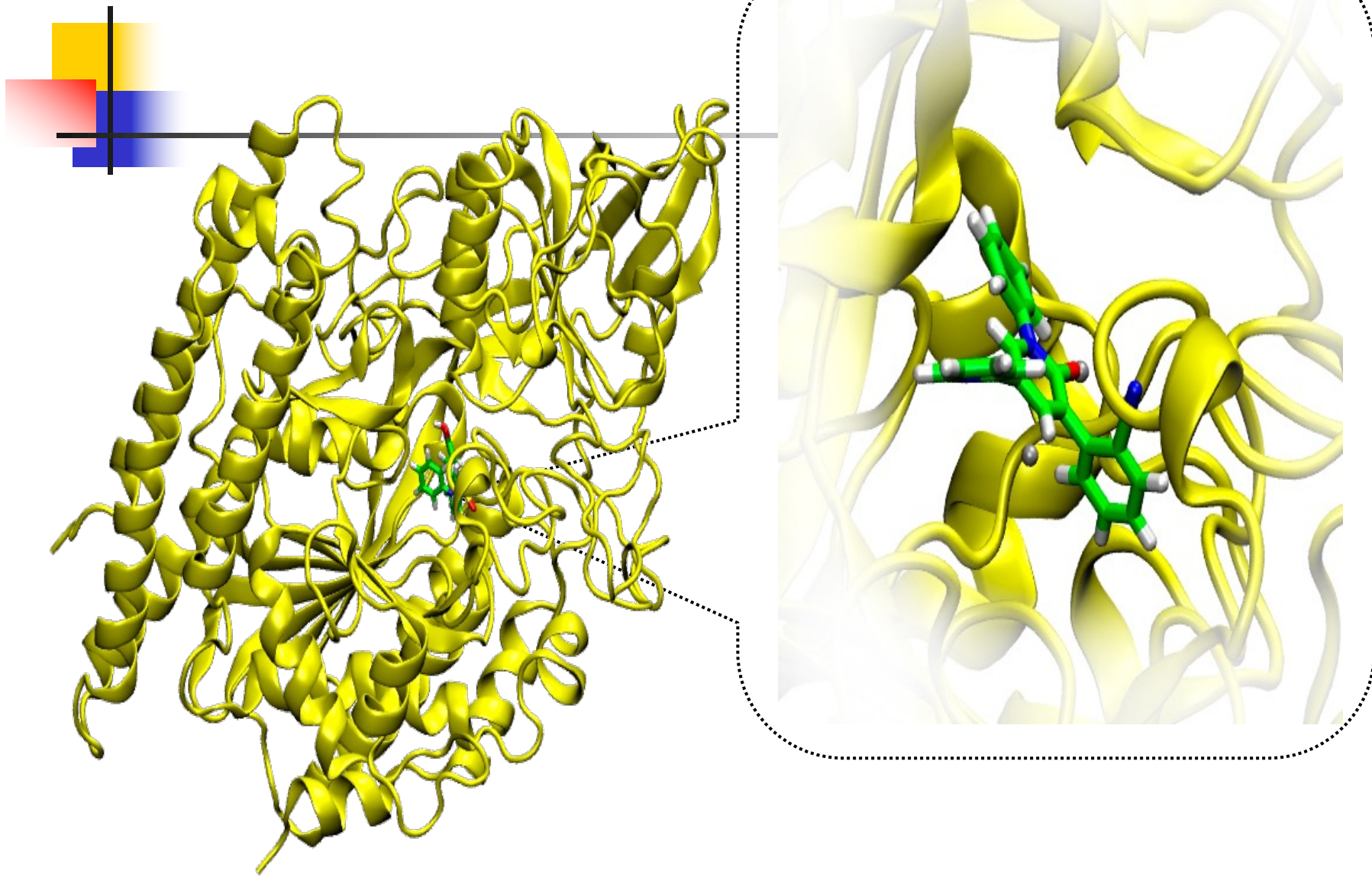
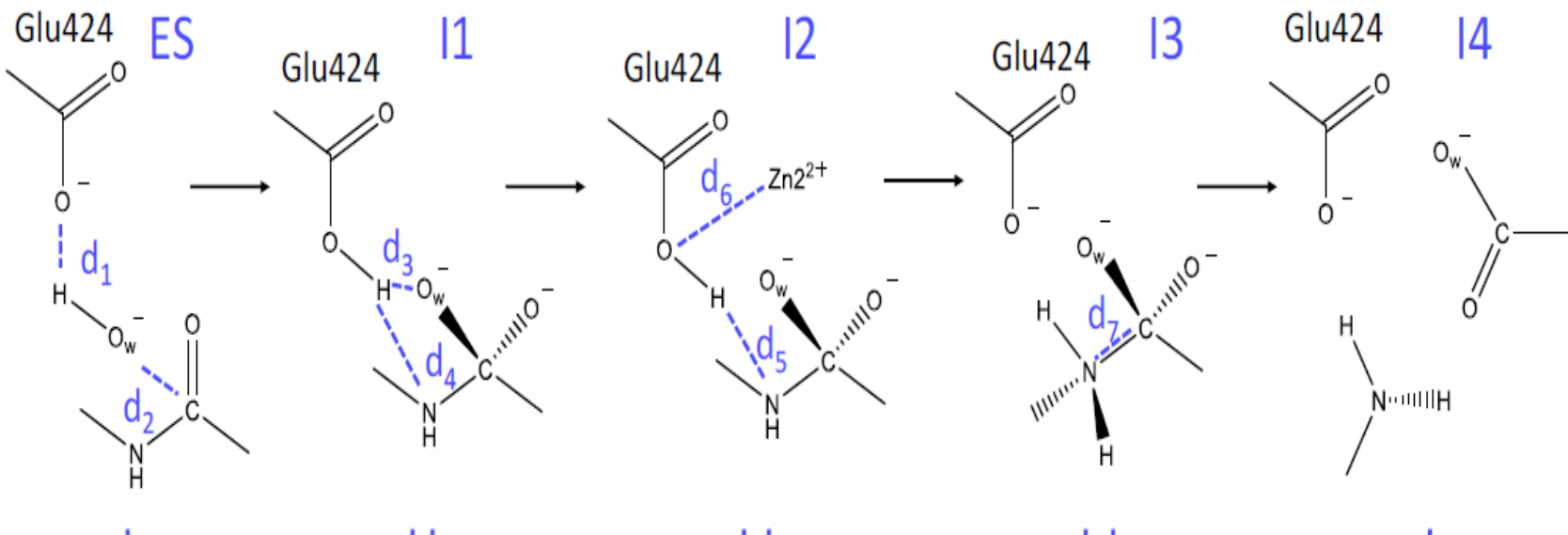
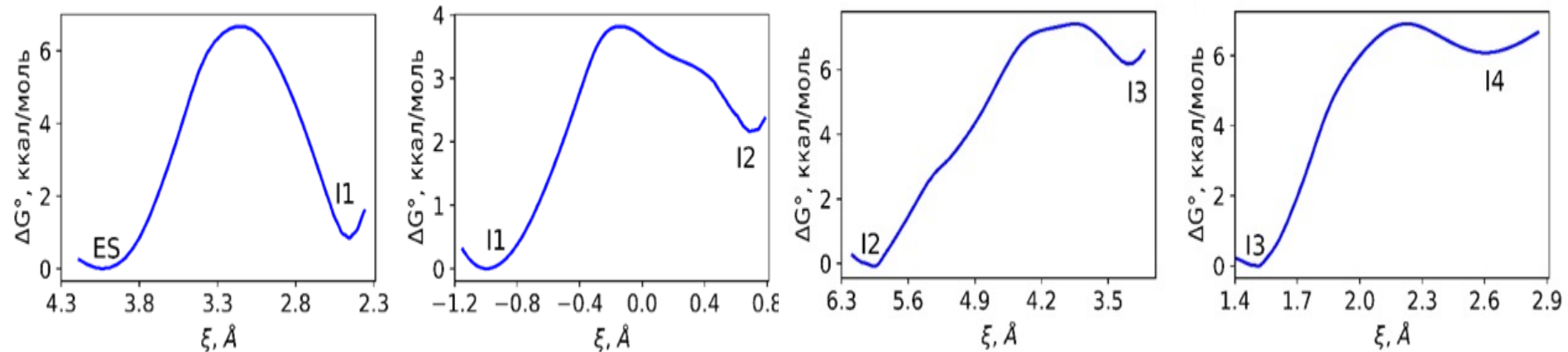


Рис.4. Влияние активности GCPII на динамические ответы глутаматергической системы. **При варьировании максимальной скорости гидролиза (V_m) NAAG под действием GCPII может быть реализовано за счет ингибиции фермента или уровня его экспрессии.**

GCPII



Механизм гидролиза NAAG

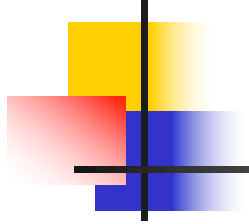


Step 1: $\xi = d_1 + d_2$

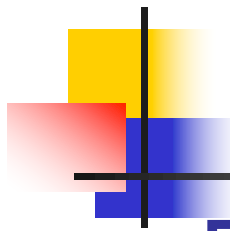
Step 2: $\xi = d_3 - d_4$

Step 3: $\xi = d_5 + d_6$

Step 4: $\xi = d_7$



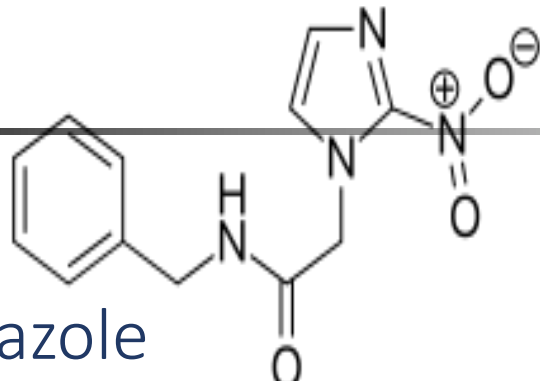
Ингибиторы глутаматкарбоксипептидазы мозга – стимуляторы когнитивных функций



Докинг и молекулярная
динамика всех применяемых в
мире лекарств как
потенциальных ингибиторов
глутаматкарбоксипептидазы
мозга человека

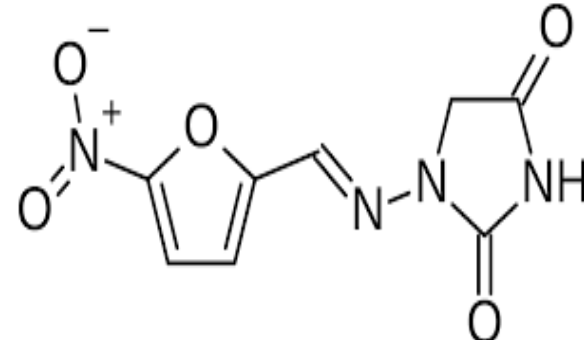
Предполагаемые ингибиторы

Лекарственные препараты одобренные FDA на 2016 год



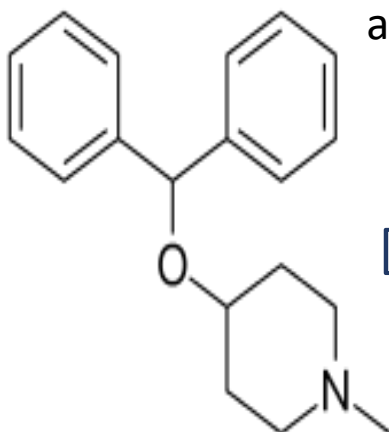
Benznidazole

Противопаразитарное лекарство, используемое при лечении болезни Шагаса. Трипаноцидный агент.



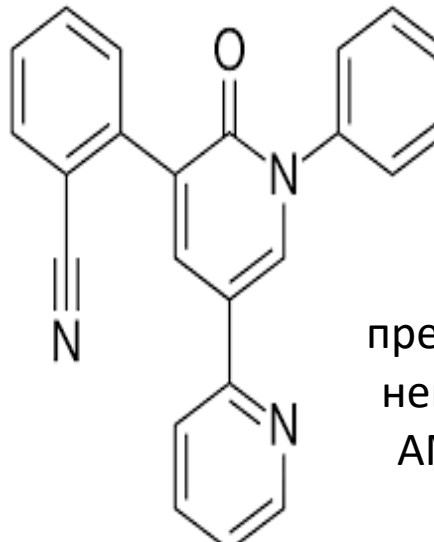
Nitrofurantoin

Противомикробное действие, производное нитрофуранов. Нарушает синтез ДНК и РНК, белков, в бактериях и клеточной мембраны.



Diphenylpyrali

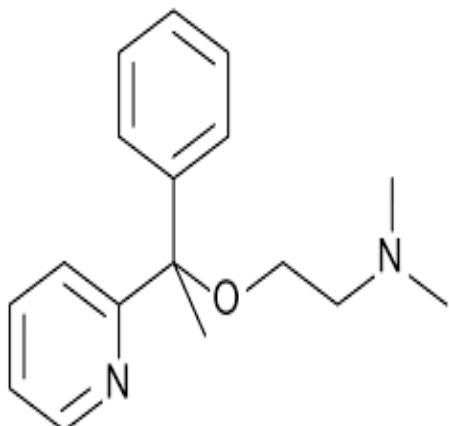
Представляет собой антигистаминный препарат первого поколения с антихолинергическими



Perampanel

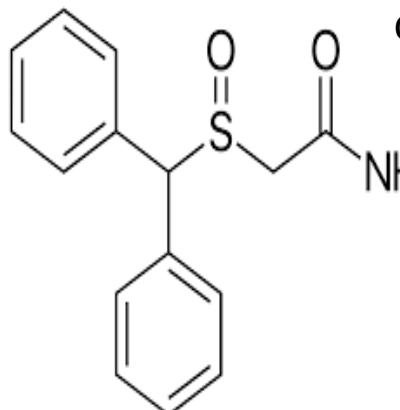
Противоэпилептический препарат, является селективным неконкурентным антагонистом AMPA-рецепторов, основного подтипа ионотропных глутаматных рецепторов.

Doxylamine



Седативный антигистаминный препарат, обладающий сильным холинолитическим действием. Блокирует H1-гистаминовые рецепторы,

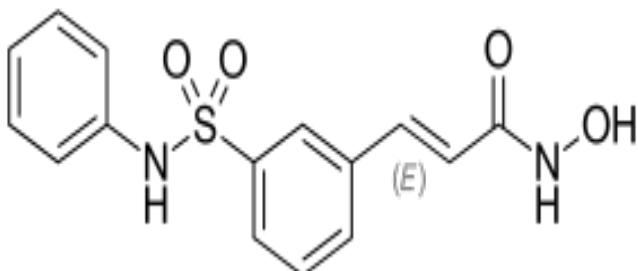
Modafinil



Аналептик, применяется для лечения сонливости, связанной с нарколепсией. Точный механизм или комплекс механизмов взаимодействия остается неясным. Вероятно, модафинил, подобно другим стимуляторам, увеличивает выброс

Belinostat

холиноблокирующее действие.

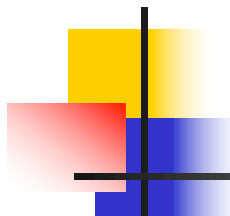


Лекарственный препарат, предназначенный для лечения периферической Т-клеточной лимфомы. Ингибитирует

Benorilate

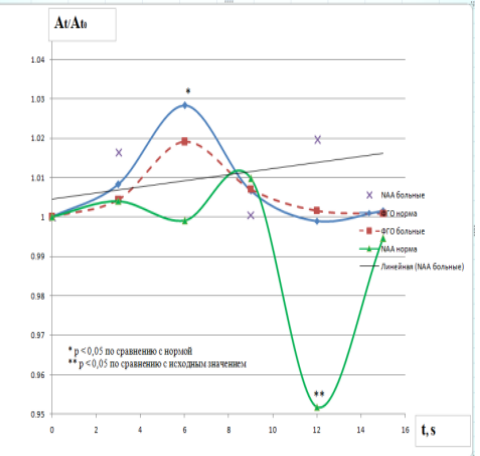
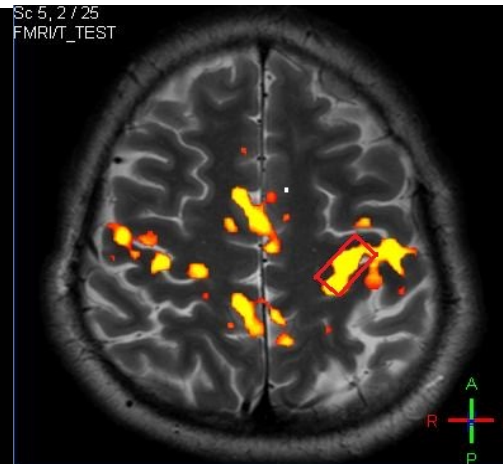
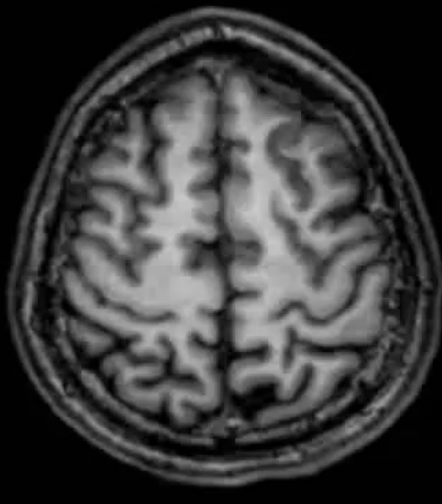


используется как противовоспалительное и жаропонижающее средство. Блокируют синтез простагландинов путем ингибирования циклооксигеназы, которая превращает арахидоновую кислоту в циклические



Энергообеспечение мозга как
компьютера –
нейроваскулярное сопряжение
– расширение
микрокапилляров зоны
возбуждения в ответ на
внешний сигнал

Functional magnet resonance tomography and spectroscopy

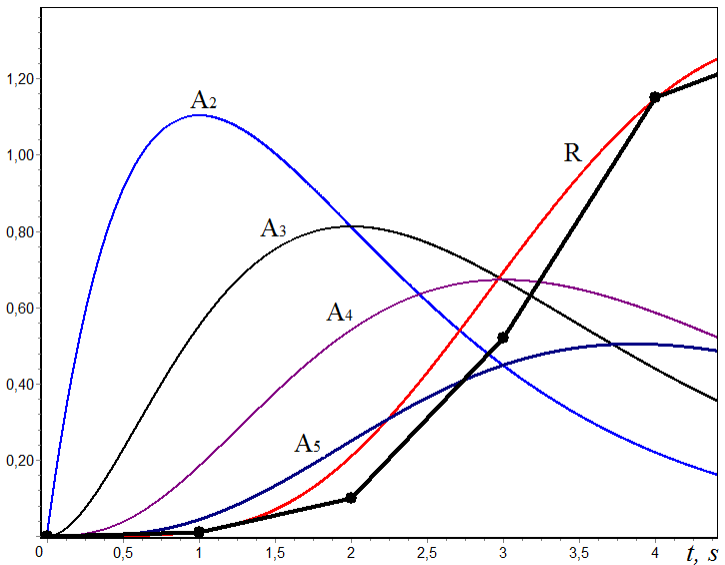
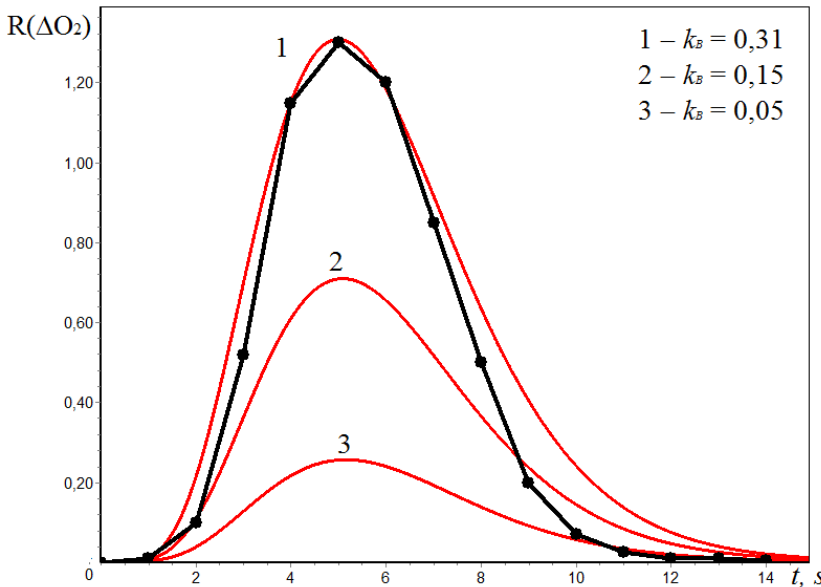


The activation zone in the premotor cortex, where metabolism was studied by ^1H NMR *in vivo*, is marked with a red rectangle

Time dependences of [NAA] in the premotor cortex in normal and schizophrenic patients and the hemodynamic response function (HFR) to the presented stimulus

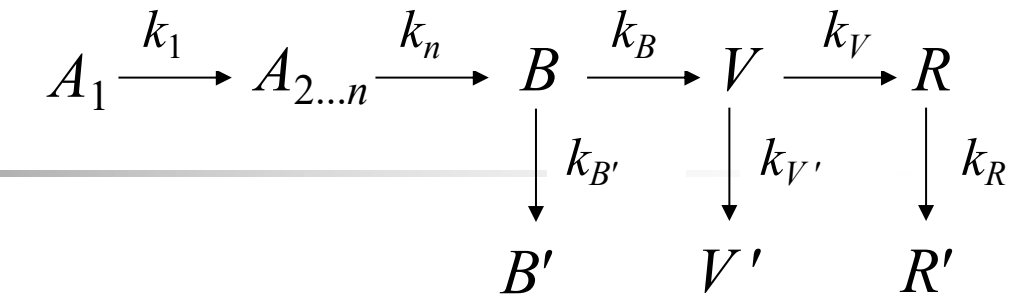
Assignment: in response to the sound signal, press the button with the index finger of the right hand.

Experimental and calculated dynamics



Dynamics of A_i

BOLD-effect



A_i –receptor chemical signal ,
 V –vasodilatator,
 R – experimentally detected ΔO_2

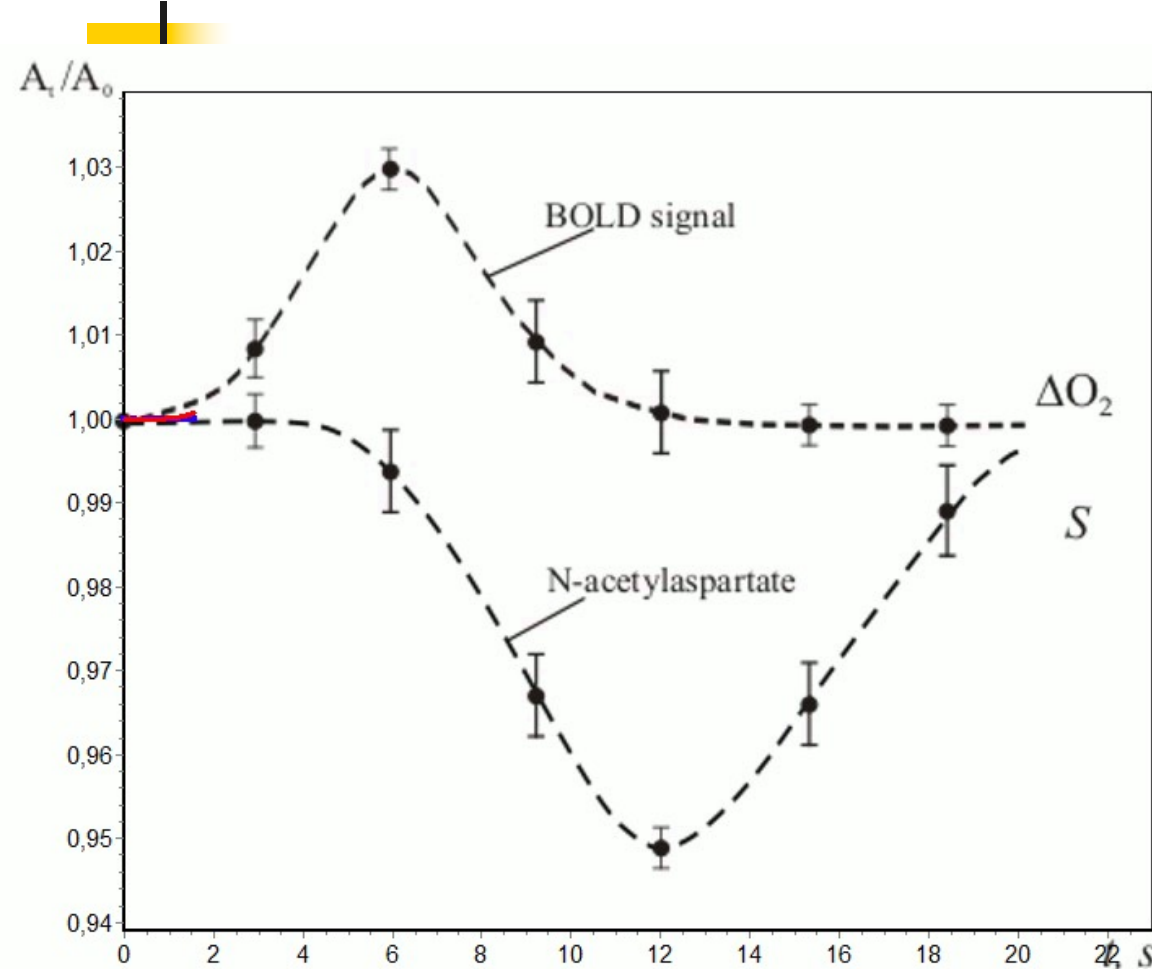
$$\frac{dA_i}{dt} = k_{i-1}A_{i-1} - k_iA_i,$$

$$\frac{dB}{dt} = k_nA_n - (k_B + k_{B'})B,$$

$$\frac{dV}{dt} = k_B B - (k_V + k_{V'})V,$$

$$\frac{dR}{dt} = k_V V - k_R R.$$

Experiment and theory



$$\Delta O_2(A/A_0) = A \cdot t^n \cdot \exp(-\xi t)$$

$O_2 + A_1 \rightarrow (A_i)_m \rightarrow A_m,$
 $S + A_m \rightarrow A_m S,$
 A_1, \dots, A_m – intermediates

Kinetic model

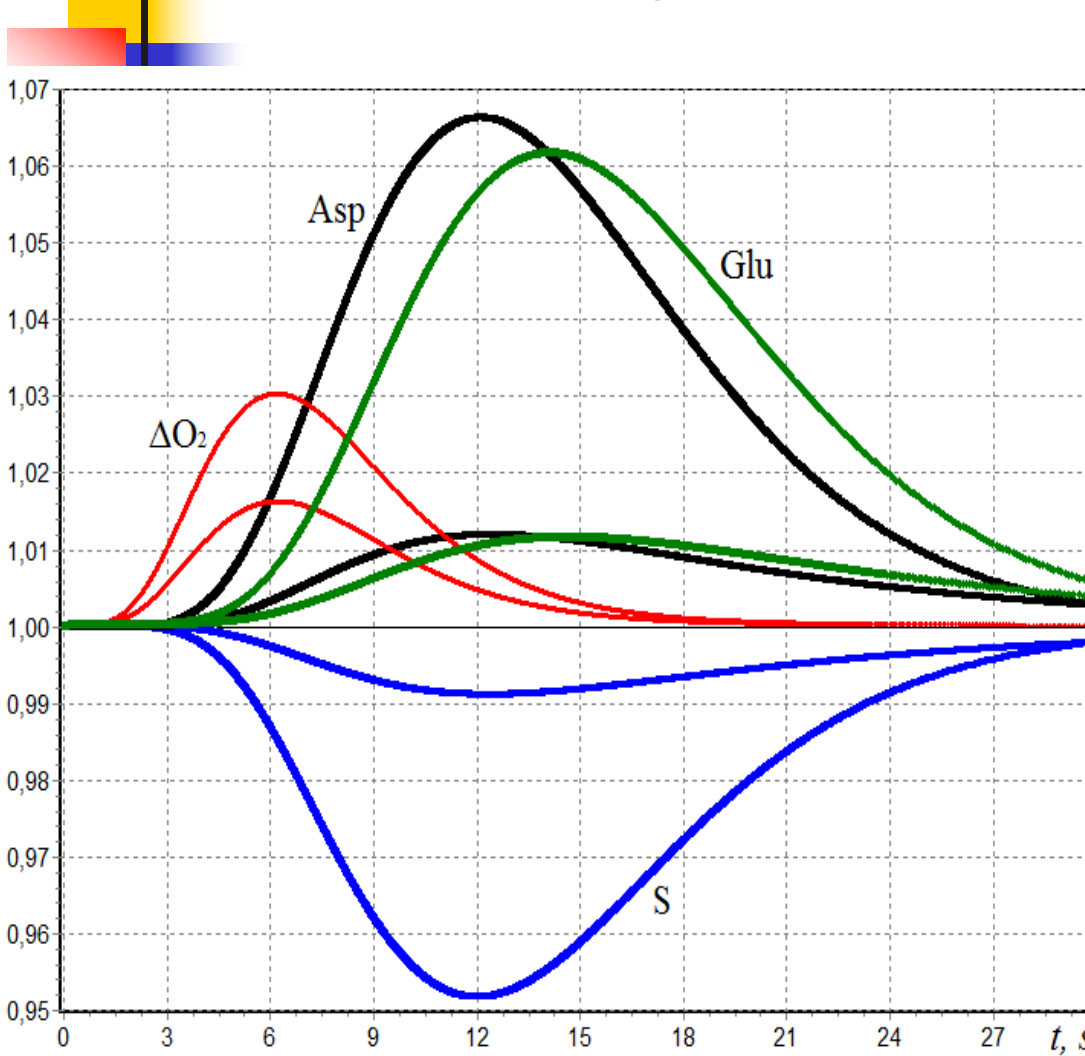
$$\frac{dA_1}{dt} = -k_1 \Delta O_2 A_1,$$

$$\frac{dA_2}{dt} = k_1 \Delta O_2 \cdot A_1 - k_2 A_2,$$

$$\frac{dA_3}{dt} = k_2 A_2 - k_3 A_3 S,$$

$$\frac{dS}{dt} = \alpha(S_0 - S) - \beta w(S) - k_3 A_3 S,$$

BOLD-signal initiates the hydrolysis of N-acetyl-aspartate (**experiment**) and injection into neuron aspartic, acetic, glutamic acids (**calculated**)



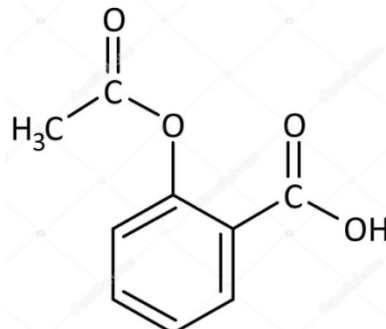
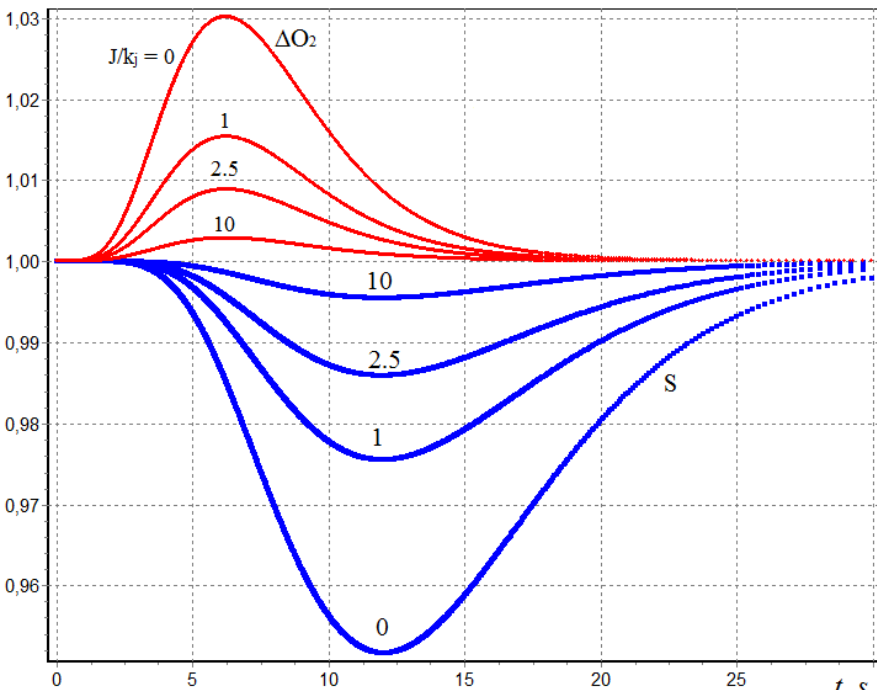
$$w(S) = f\left(\frac{S^3}{S^4}\right)$$

Inhibition by substrate-non-linear factor-provides the trigger behavior

BOLD-effect

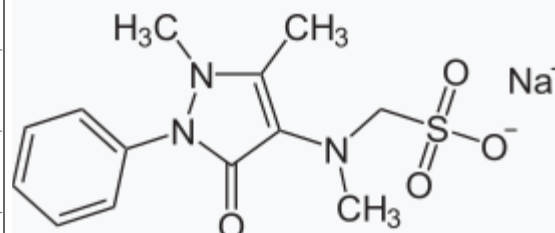
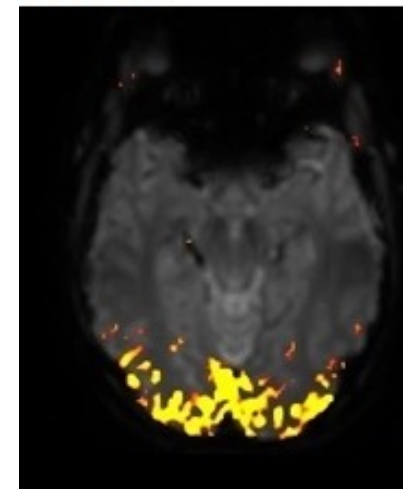
Inhibition of BOLD-effect by non-steroid anty-inflammatory drugs (aspirin, analgin, ibuprofen, voltaren and others)

$$w = \frac{w_0}{1 + J/k_i}$$



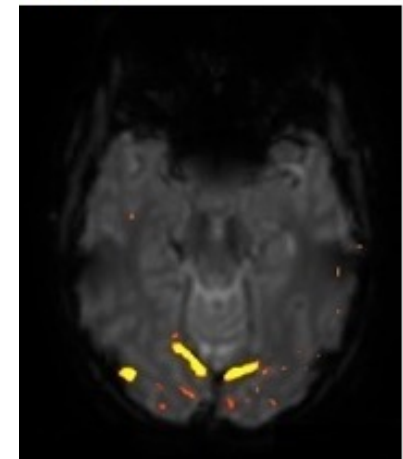
Aspirin

Before

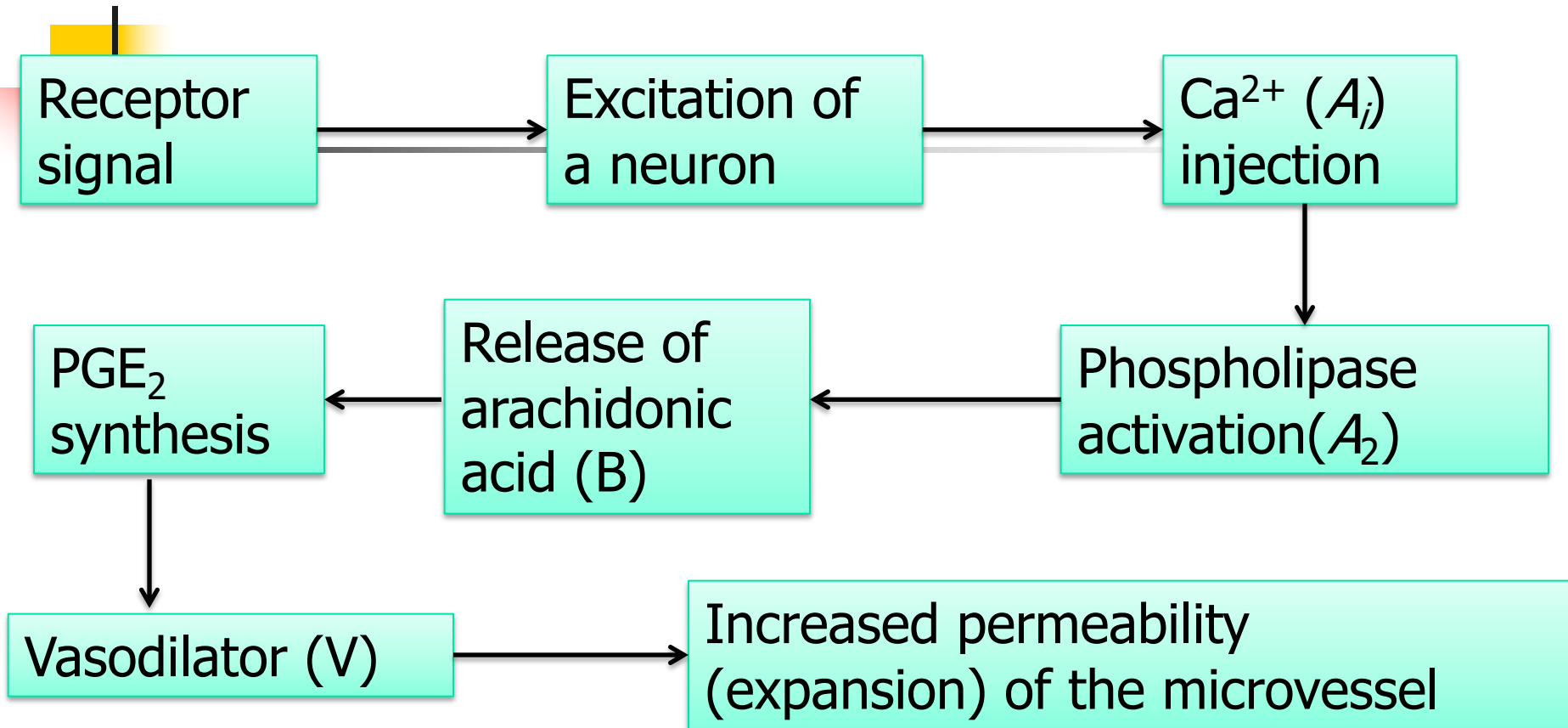


Analgin

After



BOLD-effect



Experimental confirmation - inhibition of PGH-synthetase, limiting the enzyme of prostaglandin synthesis.



Supercomputer technologies ,dynamic models/molecular basis of intelligence

Sergey Varfolomeyev

*Institute of Biochemical Physics, Russian Academy of
Sciences*
Moscow State University